

5. RUTAREA CIRCUITELOR CU RESURSE LIMITATE DE RUTARE

5.1 Introducere

În procesul de proiectare automată a circuitelor VLSI sau de implementare a sistemelor digitale prin circuite FPGA, etapa următoare celei de plasare a modulelor este *rutarea*. Rutarea este executată cu ajutorul programelor de rutare, a căror sarcină este definirea precisă a căilor pentru interconexiunile dintre pinii care sunt echivalenți din punct de vedere electric.

Rutarea necesită în jur de 30% din timpul de proiectare, iar interconexiunile necesită un procent ridicat din suprafața circuitelor [146]. Primii algoritmi de rutare automată au fost dezvoltați pentru proiectarea circuitelor imprimate. Unele idei de bază ale rutării automate rezultate de aici sunt valide în continuare, fiind adaptate pentru circuitele VLSI și circuitele FPGA.

Ca și în cazul problemei de plasare, toate formulările matematice ale rutării conduc la probleme NP-complete. Rutarea este descompusă de aceea într-o ierarhie de probleme mai simple, care se pot soluționa uneori într-un timp polinomial, sau sunt suficient de simple pentru ca metoda enumerării complete a soluțiilor să fie practică. Această descompunere se realizează însă cu costul pierderii optimalității globale.

Pentru rutare se adoptă de obicei o abordare în două etape: se execută mai întâi *rutarea globală*, urmată apoi de *rutarea detaliată*. Obiectivul rutării globale este de a se elabora un plan de rutare astfel încât fiecare conexiune să fie asignată unor regiuni particulare de rutare, în timp ce se încearcă minimizarea unei funcții obiectiv date (de obicei o estimare a lungimii totale a conexiunilor). Rutarea detaliată se aplică apoi pentru fiecare regiune de rutare, și fiecărei conexiuni i se asignează piste particulare de rutare.

5.2 Definirea problemei de rutare

Fiind dat un set de celule și porturile acestora (pinii de intrare, ieșire, ceas, alimentare și masă), un set de conexiuni (seturi de puncte care trebuie conectate împreună din punct de vedere electric), și locațiile celulelor (obținute în urma procesului de plasare), rutarea constă în determinarea căilor adecvate pentru interconexiunile dintre seturile de pini. Aceste căi adecvate minimizează funcția obiectiv dată, supusă unor restricții. Restricțiile pot fi impuse de proiectant, de procesul de implementare, de tipul circuitului sau de stilul de proiectare. Exemple de restricții sunt distanța minimă dintre conexiunile adiacente corespunzătoare semnalelor diferite, lățimea minimă a conexiunilor de rutare, numărul de straturi disponibile pentru rutare, întârzieri maxime

etc. Ca exemple de funcții obiectiv se pot aminti reducerea lungimii totale a interconexiunilor, sau evitarea problemelor datorate întârzierilor semnalelor.

Conexiunile utilizate pentru rutarea circuitelor VLSI se obțin prin depunerea uniformă a unui metal pe un suport de siliciu, și apoi eliminarea metalului nedorit pentru a se obține firele de interconectare. În cazul circuitelor VLSI, pe lângă metal se mai utilizează și polisiliciul pentru interconectare, pe un strat separat de stratul de metal. Cele două straturi sunt separate printr-un strat de oxid izolant. Anumite tehnologii VLSI permit utilizarea a trei straturi pentru rutare. Două dintre straturi conțin conductori de metal (numite de obicei metal-1 și metal-2), iar al treilea strat conține conductori de polisiliciu. Se utilizează orificii de trecere pentru conectarea conductorilor din straturi diferite.

În cazul circuitelor FPGA, conexiunile sunt predefinite, fiind formate din linii segmentate, legăturile dintre segmente fiind programabile. Majoritatea circuitelor FPGA dispun de linii de interconectare organizate în canale. Unele circuite au arhitecturi de rutare la care liniile de interconectare nu sunt segmentate, flexibilitatea fiind de aceea mult mai redusă. Rutarea acestor tipuri de circuite este dificilă. Implementările efectuate în cadrul tezei au fost realizate pentru aceste circuite FPGA cu resurse limitate de rutare.

5.3 Funcții de cost și restricții

5.3.1 Funcții de cost și restricții pentru rutarea globală

Rutarea globală este diferită pentru diferitele tipuri de circuite. În cazul *rețelelor de porți*, regiunile de rutare constau din canale orizontale și verticale. Canalele sunt regiuni dreptunghiulare cu pini amplasați pe marginile opuse ale regiunii. Capacitățile de rutare disponibile în cadrul canalelor sunt fixe. O soluție de rutare globală nu trebuie să depășească capacitățile canalelor. Dintre soluțiile posibile se alege cea care optimizează funcția de cost dată. Funcția de cost este de obicei o măsură a lungimii tuturor conexiunilor și/sau o măsură a performanței globale (întârzierile de interconectare pe căile critice). Deoarece spațiul de rutare este fix, obiectivul rutării globale este în acest caz verificarea fezabilității rutării detaliate.

Pentru circuitele cu *celule standard*, regiunile de rutare sunt canale orizontale cu pini amplasați pe marginile de sus și de jos ale canalelor. Rutarea globală constă în asignarea conexiunilor acestor canale astfel încât să se minimizeze congestia canalelor și lungimea totală a conexiunilor. Rutarea între canale este asigurată prin celule de trecere inserate în cadrul rândurilor de celule. În acest caz, canalele nu au capacități fixate în prealabil.

În cazul circuitelor cu *macro-celule*, dimensiunea și forma celulelor este variată. Aceasta conduce la regiuni de rutare neregulate. Aceste regiuni pot fi descompuse în canale orizontale și verticale, și uneori blocuri de comutare (regiuni dreptunghiulare cu pini pe toate cele patru margini). Identificarea acestor regiuni este un prim pas esențial pentru rutarea globală. Nici în acest caz, regiunile de rutare nu au capacități fixate.

Atât pentru circuitele cu celule standard, cât și pentru cele cu macro-celule, obiectivul rutării globale este minimizarea spațiului de rutare necesar și a lungimii totale a conexiunilor, asigurând în același timp succesul rutării detaliate ulterioare. Funcția de cost este de aceea o măsură a spațiului total de rutare. Restricțiile pot fi o limită a numărului maxim de piste pe canal și/sau restricții asupra performanțelor.

O problemă importantă care apare în toate cazurile este identificarea seturilor de rute cele mai scurte pentru conectarea pinilor conexiunilor individuale. Pentru conexiuni cu doi pini, problema este simplă și se reduce la găsirea căii celei mai scurte

care conectează cei doi pini. Pentru conexiuni cu pini multipli, problema constă în găsirea celui mai scurt arbore Steiner care acoperă toți pinii unei conexiuni. Problemele arborelui Steiner sunt în general NP-complete [146]. Există însă algoritmi euristici care permit obținerea unor rezultate apropiate de cele optime într-un timp rezonabil.

5.3.2 Funcții de cost și restricții pentru rutarea detaliată

Obiectivul principal al unui algoritm de rutare detaliată este obținerea rutării complet automate, fără intervenție manuală sau cu o intervenție minimă. Pentru implementarea unui circuit într-un spațiu minim, este esențială reducerea spațiului ocupat de interconexiuni. Lungimea conexiunilor individuale trebuie de asemenea redusă pentru a se satisface criteriile de performanță. Deci, obiectivul celor mai multe programe de rutare este realizarea rutării complete utilizând conexiuni de lungime cât mai redusă.

Modificările direcției căilor de rutare determină necesitatea utilizării orificiilor de trecere. Dacă se utilizează rutarea cu două straturi, toate segmentele orizontale sunt asignate unui strat, iar cele verticale celui alt strat. Legătura între segmentele care aparțin aceleiași conexiuni este realizată prin orificii de trecere. Eficiența procesului de fabricație scade odată cu creșterea numărului orificiilor de trecere. Întârzierile datorate impedanței acestor orificii reduc de asemenea viteza. De aceea, reducerea numărului orificiilor de trecere este importantă.

Performanțele sunt afectate datorită întârzierilor de semnal. Întârzierile introduse de porțile logice s-au redus considerabil, astfel încât întârzierile datorate interconexiunilor nu mai pot fi ignorate. De fapt, uneori întârzierile datorate interconexiunilor sunt dominante. Obiectivul programului de rutare este deci nu numai de a reduce lungimea totală a conexiunilor, dar și păstrarea întârzierii maxime a fiecărei conexiuni sub o anumită valoare limită.

În sfârșit, programele de rutare trebuie să accepte circuite de dimensiuni foarte mari. De aceea, este esențial ca algoritmi utilizați să fie eficienți din punct de vedere al timpului de execuție și dimensiunea memoriei utilizate să fie cât mai redusă.

Algoritmii de rutare detaliată trebuie să țină cont de un set dat de restricții. Principalele tipuri de restricții sunt: a) restricții de plasare, b) numărul straturilor de rutare, și c) restricții geometrice.

a) Restricții de plasare. Numeroase programe de rutare se bazează pe o plasare fixă. Celulele sunt deci în locații predefinite și nu se pot muta. Această metodă are ca rezultat soluții imperfecte și poate determina ca unele conexiuni să nu poată fi rutate. Aceste restricții se aplică plăcilor imprimate, rețelelor de porți și, într-o anumită măsură, celulelor standard.

În cazul rețelelor de porți, toate celulele au aceeași dimensiune. Celulele sunt plasate în locații fixe aranjate în rânduri, între celule fiind disponibile spații orizontale și verticale pentru rutare. Spațiul de rutare este deci fix în acest caz. Ca și în cazul rețelelor de porți, la circuitele cu celule standard există rânduri de celule cu înălțime fixă. Dimensiunea suprafeței de plasare nu este predeterminată. Problema este de a efectua toate conexiunile între celule utilizând lățimea minimă a spațiilor orizontale dintre rânduri, spații numite *canale*.

b) Numărul straturilor de rutare. Rutarea cu un singur strat este cea mai economică. În acest caz sunt necesari algoritmi de rutare în plan. Complexitatea acestor algoritmi este însă ridicată, și în general nu pot asigura rutarea completă.

În cele mai multe aplicații, rutarea se realizează în două straturi. Metoda utilizată de obicei este rutarea H-V, în care un strat conține numai interconexiuni pe direcția orizontală, iar celălalt strat conține numai interconexiuni pe direcția verticală.

Utilizând acest concept, se garantează că toate conexiunile unui circuit pot fi realizate cu condiția ca spațiul de rutare să fie suficient de mare și ca numărul orificiilor de trecere să nu fie limitat. Dezavantajul rutării H-V este că numărul orificiilor de trecere este mare. Eliminarea orificiilor redundante se realizează în cele mai multe aplicații de un post-procesor. Acesta asignează stratului orizontal segmentele de conexiuni verticale care nu sunt intersectate de segmente orizontale ale altor conexiuni, și stratului vertical segmentele de conexiuni orizontale care nu sunt intersectate de segmente verticale ale altor conexiuni.

Tehnologiile avansate utilizează un număr mai mare de straturi. Datorită costurilor de producție și considerațiilor de eficiență, în cazul tehnologiilor MOS standard se preferă rutarea cu două straturi, cu un strat de metal și unul de polisiliciu.

c) *Restricții geometrice.* În timpul rutării, trebuie respectate anumite distanțe, ca lățimea minimă și spațierea căilor de rutare, care sunt impuse de procesul tehnologic. Programele de rutare automată trebuie să ia în considerare toate restricțiile geometrice, astfel nefiind necesară verificarea regulilor de proiectare. De obicei, aceasta se asigură prin utilizarea unei grile echidistante. Interconexiunile sunt reprezentate prin linii și sunt restrânse la pozițiile liniilor grilei. De aceea, lățimea interconexiunilor și separarea dintre acestea sunt constante.

5.4 Sinteza metodelor de rutare

Metodele utilizate sunt diferite pentru rutarea globală și pentru rutarea detaliată. De asemenea, metodele de rutare globală și detaliată diferă pentru diversele tipuri de circuite: rețele de porți, celule standard, macro-celule, circuite FPGA. Problema de rutare a fost intens studiată în literatură [2], [3], [4], [5], [15], [19], [20], [21], [22], [27], [28], [34], [48], [49], [53], [54], [55], [60], [71], [81], [82], [93], [110], [112], [115], [123], [126], [140], [151], [159], [161], [166], [172], [188], [189].

5.4.1 Prezentarea sintetică a metodelor de rutare globală

În cazul *rutării globale*, metodele raportate în literatură se pot împărți în patru categorii principale:

- 1) Metode secvențiale;
- 2) Metode de căutare aleatoare, ca de exemplu călirea simulată;
- 3) Metoda programării liniare;
- 4) Metoda descompunerii ierarhice.

O etapă importantă de pregătire a rutării globale este *determinarea regiunilor de rutare*. Au fost descrise diferite metode pentru rezolvarea acestei probleme. Cai și Otten [34] au descris un algoritm pentru conversia joncțiunilor de tip + în joncțiuni de tip T în cazul circuitelor cu macro-celule. Cai și Wong [35] au elaborat un algoritm pentru definirea regiunilor de rutare ca și canale dreptunghiulare și blocuri de comutare, astfel încât numărul blocurilor de comutare să fie minimizat. Aceeași autori au prezentat în [36] un algoritm pentru descompunerea regiunilor de rutare în canale dreptunghiulare, minimizând în același timp numărul de canale în formă de L.

O altă problemă importantă întâlnită în timpul rutării globale, ca și la rutarea detaliată, este cea a construirii unui *arbore Steiner* pentru fiecare conexiune. Există numeroase lucrări asupra acestui subiect, fiind descrise metode euristice pentru găsirea unui arbore Steiner apropiat de cel optim, într-un timp rezonabil [3] [45] [60] [84] [91] [99] [100] [148].

Sarrafzadeh și Wong [148] au descris o strategie ierarhică de jos în sus pentru construirea unui arbore Steiner. La fiecare nivel al ierarhiei, este enumerată o colecție de arbori Steiner parțiali utilizând un algoritm pentru determinarea arborelui de acoperire minim. La fiecare nivel superior al ierarhiei, arborii nivelului precedent sunt uniți, eliminând muchiile duplicate și evitând crearea ciclurilor. Arborele corespunzător nivelului din vârful ierarhiei este arborele Steiner dorit pentru conexiunea curentă.

O altă metodă elaborată de Cong *et al.* [60] utilizează o modificare a algoritmilor pentru construirea arborelui de acoperire minim și a arborelui Steiner în scopul construirii unui arbore de rutare cu lungime limitată și întârziere de interconectare limitată. Kahng și Robins [99] utilizează o euristică iterativă pentru determinarea unor puncte Steiner optime. Aceste puncte sunt determinate și adăugate unul câte unul, într-un mod *greedy*, până când nu se mai poate obține o reducere a lungimii totale a arborelui. Rezultatele experimentale au arătat că arborele Steiner construit astfel are un cost care este mărginit la $\frac{4}{3}$ din costul arborelui Steiner optim.

Chiang *et al.* [54] au propus utilizarea *arborilor Steiner ponderați* pentru rutarea globală. Suprafața de rutare este divizată în regiuni, fiecare având o pondere dată de numărul de terminale din regiune, densitatea acesteia și capacitatea marginilor regiunii. Ponderile regiunilor se modifică în mod dinamic. În fiecare pas al rutării se construiește în plan un arbore Steiner ponderat. Metoda de rutare propusă minimizează simultan lungimea conexiunilor și densitatea regiunilor.

Aceeași autori au descris în [53] o metodă de rutare globală bazată pe *arbori Steiner min-max*, care au muchiile de pondere maximă minimizezate. Conexiunile sunt ordonate mai întâi pe baza criteriilor de lungime, multiplicitate și importanță. Pentru fiecare conexiune se construiește apoi un arbore Steiner min-max.

Metoda de călire simulată a fost utilizată și pentru rutarea globală, mai întâi de Vecchi și Kirkpatrick, iar apoi de Sechen și Sangiovanni-Vincentelli [151], în cadrul pachetului de programe TimberWolf. Acest pachet este destinat pentru plasarea și rutarea globală a circuitelor cu celule standard. După o fază de plasare inițială, se execută rutarea globală, iar apoi se încearcă îmbunătățirea plasării prin interschimbarea aleatoare a unor celule vecine. După fiecare interschimbare, se rerutează conexiunile afectate de interschimbare.

Pentru rutarea circuitelor VLSI au fost utilizate metode de *programare liniară*. Aceste metode au însă două limitări importante. În primul rând, dimensiunea problemelor este importantă; acestea pot conține mii (sau chiar sute de mii) de restricții și variabile. În al doilea rând, pentru soluționarea acestor probleme se utilizează de obicei o metodă simplex, care necesită pentru soluționarea problemei de optimizare un număr de iterații egal cu numărul de restricții. Din acest motiv, timpul de execuție devine excesiv de lung. Vannelli [172] a descris o modificare a metodei punctului interior a lui Karmakar pentru rezolvarea problemei de rutare globală formulată ca o problemă de programare liniară. Spre deosebire de abordările bazate pe metoda simplex, la care dimensiunea problemei rămâne aceeași pentru toate iterațiile, metoda propusă permite reducerea semnificativă a dimensiunii problemei pe măsura evoluției algoritmului.

În scopul reducerii complexității problemei de rutare globală, au fost propuse *metode ierarhice*, care efectuează o descompunere ierarhică a problemei în mai multe subprobleme, acestea fiind soluționate individual. Soluțiile parțiale sunt combinate apoi pentru a produce o soluție a problemei globale originale. În literatură au fost descrise numeroase formulări ierarhice ale problemei de rutare globală. Metodele propuse independent de Marek-Sadowska și Lauther sunt similare, soluțiile generate fiind superioare celorlalte metode ierarhice raportate [146]. Metoda propusă de Marek-Sadowska și Lauther este utilizată de programele PROUD [170] și BEAR.

Viteza circuitelor este influențată în mare măsură de întârzierile datorate interconexiunilor. Aceasta a determinat apariția unor sisteme de proiectare în care accentul se pune pe *maximizarea performanțelor*, în special pe reducerea întârzierilor de inter-

conectare. Pentru a se evita întârzierile mari pe căile critice, au existat încercări pentru a controla etapa de rutare globală de cerințele de timp ale circuitelor. Minimizarea lungimii totale de interconectare nu va conduce neapărat la întârzieri minime de interconectare. Numărul schimbărilor de direcție ale interconexiunilor, ca și alte caracteristici electrice ale acestora sunt la fel de importante ca și lungimea conexiunilor.

Jackson, Kuh și Marek-Sadowska au raportat o metodă ierarhică pentru rutarea controlată de restricțiile de timp [60]. O altă metodă de rutare globală controlată de cerințele de reducere a întârzierilor a fost raportată de Prasitjutrakul și Kubitz, în care rutarea globală este integrată cu un analizor de timp [146]. Procesul de rutare este controlat de întârzierile de interconectare.

Cong *et al.* [60] au raportat o metodă de rutare globală cu minimizarea simultană a lungimii totale de interconectare și a întârzierii maxime de interconectare. Această metodă este bazată arbori de rutare cu rază limitată, pentru construcția acestora utilizându-se euristici bazate pe algoritmul lui Prim pentru arbori de acoperire minimi. Aceeași autori au elaborat o metodă care minimizează simultan lungimea totală de interconectare (indicată de costul arborelui) și întârzierea maximă (indicată de raza arborelui).

Shragowitz și Keal au formulat rutarea globală cu ajutorul unui model de *rețea de flux* [146]. Soluția este obținută în două etape. În prima etapă, este soluționată problema fără a ține cont de restricții. În a doua etapă, se aplică o procedură iterativă în care, la fiecare iterație, este rerutată conexiunea pentru care rezultă o reducere maximă a fluxului.

În metoda propusă de Clow, se utilizează un algoritm de căutare a liniilor pentru rutarea circuitelor cu celule generale, evitându-se astfel utilizarea unei grile [146]. Algoritmul este o generalizare a algoritmului de căutare A^* des utilizat în inteligența artificială. Se determină o cale între o sursă s și o destinație d prin adăugarea câte unui segment de linie la un moment dat, începând de la sursa s , până când se ajunge la destinația d . Pentru aceasta se construiește un graf cu sursa s și destinația d , adăugând câte o muchie, până când se stabilește o cale minimă de la s la d . Muchiile corespund segmentelor de linie, iar vârfurile corespund punctelor de intersecție ale liniilor. Fiecărei muchii i se asignează un cost egal cu lungimea segmentului de linie corespunzător. Căutarea căii celei mai scurte de la sursă la destinație se execută utilizând algoritmul A^* .

În mod tradițional, rutarea globală a fost utilizată pentru elaborarea unui plan de rutare care va fi executat de rutarea detaliată. O altă utilizare a rutării globale este pentru *verificarea soluțiilor obținute în urma plasării*. În timpul plasării, rutarea globală este utilizată pentru controlul procedurii de plasare în sensul producerii unei plasări rutabile. Una din lucrările elaborate în acest sens se datorează lui Shragowitz *et al.*, în care se descrie un algoritm constructiv de plasare controlat de rutarea globală [146]. Circuitul se consideră împărțit în felii, iar soluția plasării este construită pentru câte o felie la un moment dat, până când toate celulele sunt plasate. De fiecare dată când este plasat un grup de celule, se execută rutarea globală pentru conectarea celulelor plasate recent cu cele plasate anterior și pentru a rezerva resursele de rutare necesare. În cadrul pachetului de programe TimberWolf [151], este de asemenea combinată plasarea cu rutarea globală.

Pentru rezolvarea problemei de rutare globală au fost utilizate și *metode netradiționale*: rețele neuronale artificiale, algoritmi paraleli, evoluția simulată. Shih *et al.* [154] au utilizat o rețea neuronală artificială cu două straturi. Un strat este utilizat pentru minimizarea lungimii conexiunilor și pentru obținerea unei distribuții uniforme a conexiunilor în cadrul canalelor de rutare. Al doilea strat este utilizat pentru a impune restricțiile privind capacitățile canalelor.

Rutarea este în general un proces mare consumator de timp. Majoritatea soluțiilor propuse permit o implementare paralelă. Rose [140] a descris un algoritm de rutarea globală pentru celule standard, *LocusRoute*, și implementarea paralelă a acestui

algoritm. În implementarea paralelă raportată, Rose a descris două strategii pentru paralelizarea procesului de rutare. Prima strategie constă în rutarea mai multor conexiuni în paralel. În a doua strategie, se evaluează în paralel mai mulți arbori de rutare pentru fiecare conexiune. A fost raportată o creștere de viteză semnificativă cu ambele strategii.

5.4.2 Prezentarea sintetică a metodelor de rutare detaliată

Rutarea detaliată poate fi împărțită în *rutare detaliată generală* și *rutare detaliată cu restricții*. Rutarea detaliată cu restricții poate fi împărțită la rândul ei în rutare prin *canale* și rutare prin *blocuri de conexiune*.

Una din metodele cele mai utilizate de *rutare detaliată generală* este *rutarea labirint*, algoritmul cel mai cunoscut fiind cel elaborat de Lee. Acest algoritm garantează găsirea căii între două puncte, dacă o asemenea cale există. În plus, calea găsită va fi cea mai scurtă. Dezavantajul acestui algoritm este necesarul ridicat de memorie și timp de execuție. Pentru eliminarea acestor dezavantaje au fost propuse diferite tehnici. Hadlock a sugerat o nouă tehnică de etichetare a celulelor bazată pe numere de deturnare [146]. Creșterea de viteză obținută este semnificativă. Soukup a sugerat adăugarea unei căutări în adâncime. Algoritmul obținut este de 10-50 de ori mai rapid decât algoritmul Lee, dar nu se garantează găsirea căii celei mai scurte.

O altă metodă de rutare detaliată generală este rutarea prin *căutarea liniilor*. Prin această metodă se elimină necesarul ridicat de memorie al algoritmului Lee, deoarece spațiul de rutare nu este memorat ca o matrice, ci este reprezentat prin segmente de linii. Spre deosebire de algoritmul Lee, în acest caz se efectuează căutarea în adâncime. Principalii algoritmi au fost propuși de Mikami și Tabuchi, respectiv Hadlock.

În literatură au fost descrise diferite arhitecturi hardware specializate pentru rezolvarea problemelor de proiectare fizică. Au fost raportate tablouri de procesoare dedicate pentru implementarea algoritmilor de rutare prin căutarea căii celei mai scurte. Iosupovici a propus un tablou bidimensional de procesoare SIMD pentru implementarea algoritmilor de rutare bazată pe reprezentarea suprafeței de rutare sub forma unei grile. Au fost propuse de asemenea tablouri de procesoare mai generale care pot fi programate pentru implementarea rutării, ca și pentru alte probleme de proiectare fizică [146].

Pentru *rutarea prin canale*, Deutch a propus un algoritm pentru evitarea buclilor în graful constrângerilor verticale și pentru reducerea densității canalului. Aceasta se realizează prin divizarea segmentelor orizontale ale unei conexiuni, cu efectul minimizării numărului de piste orizontale. Divizarea orizontală a unei conexiuni poate fi realizată numai în pozițiile terminalelor. Algoritmul Deutch divizează fiecare conexiune multipin în segmente orizontale individuale.

O euristică de tip *greedy* pentru rutarea prin canale a fost propusă de Rivest și Fiduccia. Acest algoritm rutează canalul coloană cu coloană începând din stânga. În fiecare coloană algoritmul aplică o secvență de euristici inteligente pentru maximizarea numărului de piste disponibile în următoarea coloană. Nu se utilizează constrângeri orizontale sau verticale, deciziile fiind luate local, la nivelul coloanei. Rutarea este terminată întotdeauna, uneori fiind necesare coloane adiționale la sfârșitul canalului.

Un algoritm de rutare prin canale bazat pe *sortare* a fost propus de Chaudry și Robinson [47]. Această metodă presupune că interconexiunile pot fi rutate nu numai orizontal și vertical, ci și la 45° și 135°. Algoritmul utilizează sortarea bubble. Într-un pas al acestei metode de sortare se interschimbă o pereche de numere o singură dată, în cazul în care acestea nu sunt în ordinea corectă.

Pentru rutarea prin canale cu straturi multiple au fost propuse diferite tehnici. Asemenea tehnici au fost propuse de Braun *et al.* [24], și acestea au fost implementate într-un program de rutare numit Chameleon. Acest program constă din două etape, un

program de partiționare și unul de rutare detaliată. Rolul programului de partiționare este de a diviza problema în subprobleme pentru două și trei straturi astfel încât suprafața globală a canalului să fie minimizată.

O altă abordare a problemei de rutare prin canale cu trei straturi, bazată pe ideea transformării unei soluții cu două straturi într-una cu trei straturi a fost descrisă de Cong *et al.* [61]. Această transformare constă din mai multe etape care pot fi formulate ca probleme de planificare, rutare labirint, respectiv problema căii celei mai scurte. Deoarece aceste probleme au o complexitate polinomială, rutarea cu trei straturi poate fi rezolvată într-un mod optim. Cele mai multe din aceste tehnici pot fi extinse și pentru patru straturi.

O euristică pentru rutarea prin canale care asignează interconexiunile pistă cu pistă într-un mod *greedy* a fost propusă de Ho *et al.* [92]. Structura de date și strategia utilizată sunt simple și pot fi generalizate pentru obținerea unei clase de euristici pentru rutarea prin canale. Acest algoritm are posibilitatea de revenire prin care cresc șansele de efectuare a rutării complete cu un număr minim de piste.

5.5 Rutarea globală

Rutarea globală este etapa pregătitoare pentru rutarea detaliată. De obicei, rutarea globală este executată în scopul elaborării unui plan de rutare pentru rutarea detaliată. Rutarea globală este formulată în mod diferit pentru diferitele tipuri de circuite: rețele de porți, celule standard, macro-celule. În această secțiune se prezintă unele metode de rutare globală pentru aceste tipuri de circuite. Rutarea circuitelor FPGA este prezentată în secțiunea 5.7.

În secțiunea 5.5.1 se prezintă definiția și ordonarea canalelor de rutare. Este prezentată de asemenea reprezentarea regiunilor de rutare. În secțiunea 5.5.2 se prezintă metode de rutare secvențială: rutarea globală prin metoda parcurgerii labirintului, rutarea globală prin arbori Steiner ponderați, rutarea globală orientată pe performanțe. În secțiunea 5.5.3 se prezintă rutarea globală prin metoda călirii simulate. În secțiunea 5.5.4 se prezintă rutarea globală prin metoda programării întregi.

5.5.1 Regiuni de rutare

Definiția regiunilor de rutare constă în partiționarea spațiului de rutare într-un set de regiuni dreptunghiulare care nu se intersectează, numite *canale*. Pot exista două tipuri de canale: orizontale și verticale. În cele mai multe cazuri, canalele orizontale și verticale pot veni în contact prin intersecții în formă de T.

Definiția și ordonarea canalelor este o parte esențială a procesului de proiectare fizică, reprezentând legătura între plasare, rutarea globală și rutarea detaliată.

5.5.1.1 Conversia joncțiunilor canalelor

În cazul circuitelor formate din macro-celule, pot apărea trei tipuri de joncțiuni ale canalelor: de tip L, de tip T și de tip +. Joncțiunile de tip L apar la colțurile suprafeței de rutare. Pentru asemenea joncțiuni, ordonarea nu are un impact asupra rutării detaliată. Pentru joncțiunile de tip T, canalul care reprezintă baza literei T trebuie rutat înaintea canalului care reprezintă linia transversală a literei T. Joncțiunile de tip + sunt mai complexe și necesită utilizarea programelor de rutare pentru blocuri de comutare (switchbox). Pe de altă parte, în cazul joncțiunilor de tip L și T se pot utiliza programe de rutare detaliată pentru canale, care sunt unele din cele mai intens inves-

tigate metode de rutare. De aceea, este avantajoasă transformarea tuturor joncțiunilor de tip + în joncțiuni de tip T.

Există două moduri de conversie a unei joncțiuni + într-o joncțiune T (Figura 5.1):

- conversie orizontală, când se divizează canalul vertical, și
- conversie verticală, când se divizează canalul orizontal.

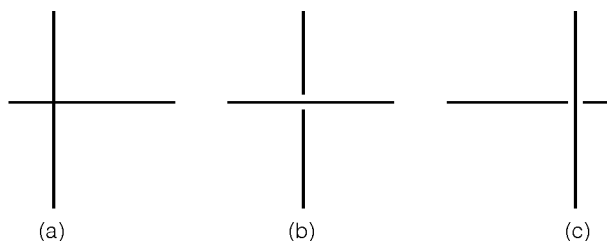


Figura 5.1. Conversia joncțiunilor. (a) Joncțiune +. (b) Conversie orizontală. (c) Conversie verticală.

Conversia joncțiunilor + în joncțiuni T trebuie efectuată cu atenție, pentru a nu crea cicluri în graful corespunzător al restricțiilor de ordonare [146]. Acest lucru este ilustrat în Figura 5.2.

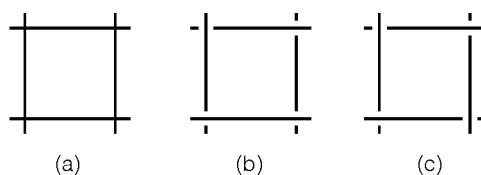


Figura 5.2. Conversia intersecțiilor. (a) O configurație de canale. (b) O conversie fără cicluri. (c) O conversie care introduce cicluri.

După conversia tuturor joncțiunilor de tip + în canale de tip T, restricțiile de ordonare ale canalelor sunt puse în evidență printr-un graf direcționat numit *graful restricțiilor de ordonare* (Figura 5.3).

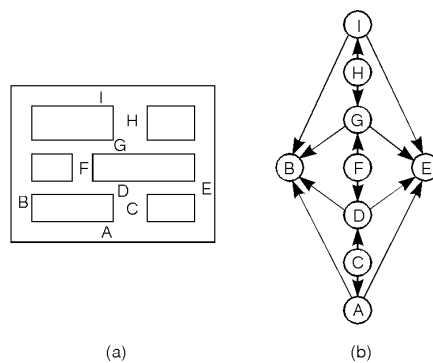


Figura 5.3. Graful restricțiilor de ordonare. (a) Structura canalelor. (c) Graful restricțiilor de ordonare.

Pentru a minimiza efectele negative pe care le pot avea conversiile canalelor asupra rutabilității pe ansamblu, se utilizează următoarele două criterii [34]:

1. *Criteriul izolării căilor critice.* Obiectivul acestui criteriu este de a proteja căile critice ale grafurilor de poziție ale canalelor de canalele învecinate. Un graf de poziție al canalelor verticale (orizontale) este un graf bipartit reprezentând adiacențele verticale (orizontale) între blocuri și canalele de rutare. Graful de poziție al canalelor verticale (orizontale) are câte un vârf pentru fiecare bloc și fiecare canal orizontal (vertical). Există o muchie de la vârful b la vârful c dacă și numai dacă marginea de jos (din dreapta) a blocului b se învecinează cu canalul c . În graful de poziție al canalelor orizontale (verticale) fiecărui vârf corespunzător unui bloc i se asignează o pondere pozitivă indicând lățimea (înălțimea) blocului corespunzător. Fiecărui vârf corespunzător unui canal i se asignează o pondere pozitivă indicând lățimea canalului respectiv. Lungimea căii critice din graful de poziție al canalelor verticale (orizontale) este egală cu înălțimea (lățimea) zonei de rutare a circuitului.

Criteriul căii critice încercă executarea conversiei în direcția căii critice, în scopul reducerii lungimii canalelor învecinate perpendiculare pe direcția căii critice, divizând astfel aceste canale (Figura 5.4). Un asemenea criteriu va determina de asemenea reducerea lățimii canalelor de-a lungul căii critice.

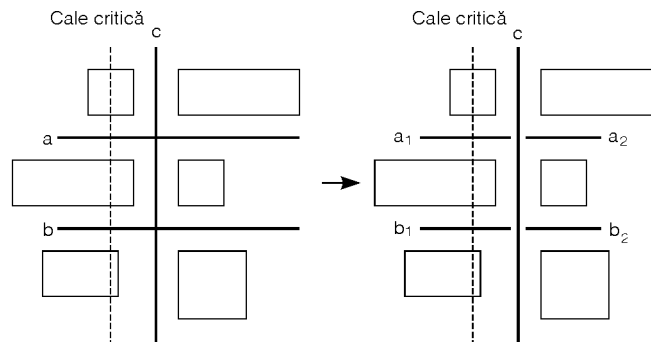


Figura 5.4. Ilustrarea criteriului căilor critice.

2. *Criteriul fluxului major.* Conversia canalelor este executată după rutarea globală. Astfel, numărul de interconexiuni din fiecare canal este cunoscut înaintea începerii procesului de conversie. În scopul minimizării numărului de schimbări ale direcției interconexiunilor de-a lungul canalelor, se divizează canalul mai îngust (Figura 5.5).

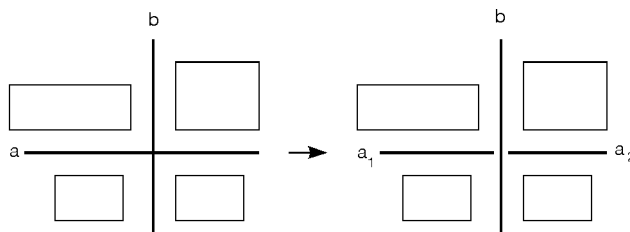


Figura 5.5. Ilustrarea criteriului fluxului major. Numărul de conexiuni ale canalului b este presupus mai mare decât cel al canalului a .

Pentru fiecare joncțiune de tip $+$, se utilizează cele două criterii pentru a se calcula valoarea unei funcții de câștig. Această funcție recompensează conversiile joncțiunilor care favorizează criteriul de izolare a căii critice și cel al fluxului maxim. Ast-

fel, pentru fiecare joncțiune de tip + adiacentă cu un segment de canal care se află pe o anumită cale critică se adaugă un premiu pentru conversia în direcția căii respective. De asemenea, pentru fiecare joncțiune de tip + se adaugă un premiu pentru conversia în direcția canalului cu fluxul maxim al interconexiunilor. Structura optimă a canalelor este cea cu suma cea mai mare a premiilor de conversie a joncțiunilor.

Cai și Otten [34] au descris un algoritm pentru conversia joncțiunilor de tip + în canale de tip T.

5.5.1.2 Ordonarea canalelor

După asignarea tuturor conexiunilor unor canale individuale, etapa finală a rutării constă în asignarea conexiunilor unor piste individuale din cadrul fiecărui canal, deci executarea rutării detaliate. Canalele sunt rutate de obicei unul câte unul, într-o ordine specifică. Ordonarea canalelor este un pas intermediar important executat înaintea rutării detaliate și după rutarea globală. Acest pas este necesar pentru a specifica ordinea în care trebuie rutate canalele de către programul de rutare detaliată.

Ordinea în care trebuie rutate canalele este impusă de faptul că poziția pinilor trebuie fixată înaintea rutării detaliate a canalului respectiv. Astfel, dintre cele două canale ale unei joncțiuni de tip T canalul care reprezintă baza literei T trebuie rutat înaintea canalului care reprezintă linia transversală a literei T, din următoarele două motive [146]:

1. Pentru rutarea canalului care reprezintă linia transversală, sunt necesare informații despre pinii din joncțiunea T, deci despre conexiunile care trec prin joncțiune. Aceasta necesită rutarea prealabilă a canalului care reprezintă baza literei T.
2. Atunci când se rutează canalul care reprezintă baza literei T, este posibil să se constate că trebuie mutate blocuri de la stânga (din partea de sus) și/sau de la dreapta (din partea de jos) a aceluși canal în scopul asigurării unui spațiu pentru piste suplimentare. Aceasta va schimba pozițiile pinilor din cadrul canalului canalul care reprezintă linia transversală a literei T. Acesta este un alt motiv pentru rutarea în ordinea indicată.

Pentru ordonarea canalelor, se construiește un graf al restricțiilor de ordonare, după cum urmează. Fiecare canal este reprezentat printr-un vârf. În cadrul grafului există un arc (i, j) dacă și numai dacă canalele i și j se întâlnesc într-o joncțiune T în care i este canalul care reprezintă baza literei T, iar j este canalul care reprezintă linia transversală (Figura 5.3).

5.5.1.3 Reprezentarea regiunilor de rutare

După definirea regiunilor de rutare, se construiește un *graf de rutare*. Există trei metode generale pentru construirea acestui graf.

1. Utilizarea unui graf de conectivitate al canalelor $G = (V, E)$, unde fiecare canal este reprezentat printr-un vârf. Fiecare muchie modelează adiacența dintre canalele corespunzătoare (Figura 5.6). Vârfurilor li se pot asigna ponderi pentru a indica numărul de conexiuni care trec prin canal și/sau numărul de piste disponibile în acel canal. De notat că graful de conectivitate al canalului este graful restricțiilor de ordonare în care se elimină direcțiile arcelor.
2. Utilizarea unui graf al gâtuirilor $G = (V, E)$, unde se modelează prin vârfuri numai blocurile de interconectare. Există o muchie $(u, v) \in E$ dacă și numai dacă blocurile de interconectare corespunzătoare se află pe părțile opuse ale aceluiași canal orizontal sau vertical. Gâtuirile sunt reprezentate de canalele de rutare.

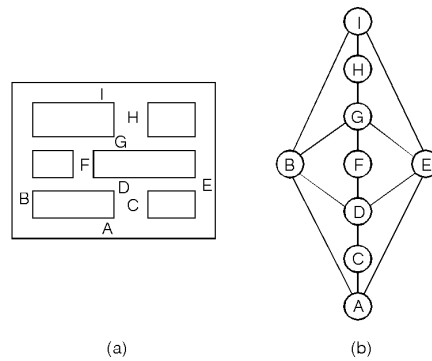


Figura 5.6. Graf de conectivitate al canalelor. (a) O amplasare pentru macro-celule. (b) Graful corespunzător de conectivitate.

Conceptul blocurilor de interconectare și a regiunilor de gătire este ilustrat în Figura 5.7(a), unde blocurile de interconectare sunt hașurate. Graful corespunzător este prezentat în Figura 5.7(b). Muchiile din acest graf modelează canalele orizontale și verticale.

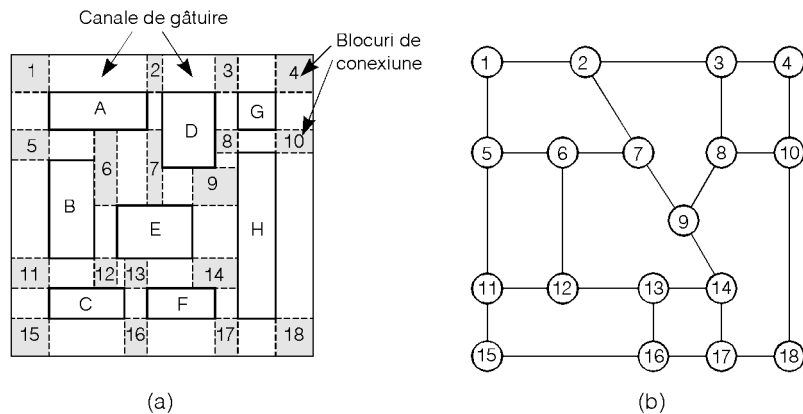


Figura 5.7. Graf al gătuirilor. (a) O amplasare pentru macro-celule. (b) Graful corespunzător de gătire.

- Utilizarea unui graf de caroiaj $G = (V, E)$, unde vârfurile modelează celulele globale, iar muchiile modelează adiacențele dintre aceste celule (Figura 5.8). Pentru rutarea cu două straturi, fiecărui vârf i se asignează două cifre indicând numărul de piste orizontale și verticale disponibile.

5.5.2 Rutarea globală secvențială

Rutarea globală secvențială este metoda cea mai des utilizată. După ce au fost identificate canalele de rutare și a fost construit graful de rutare corespunzător, rutarea globală se continuă astfel. Pentru fiecare conexiune, se marchează vârfurile grafului de conectivitate al canalelor în care conexiunea respectivă are pini. Deci, rutarea conexiunii se reduce la identificarea unui arbore (de preferință al celui mai scurt) care acoperă vârfurile marcate.

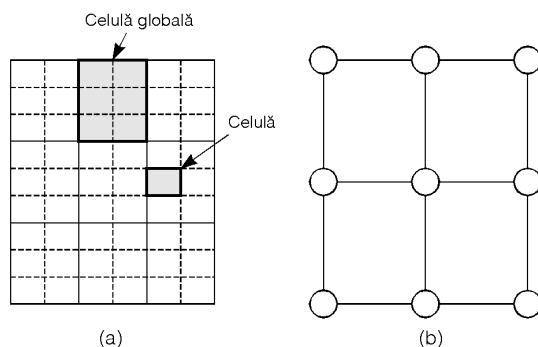


Figura 5.8. Graf de caroiaj. (a) Un caroiaj bidimensional. (b) Graful de caroiaj corespunzător unde fiecare celulă globală este modelată printr-un vârf.

Dacă conexiunea are pini doar în două vârfuri ale grafului, problema se reduce la determinarea căii celei mai scurte între vârfurile marcate. Dacă graful este un graf de caroiaj, se poate utiliza algoritmul lui Lee, care va fi prezentat în secțiunea 5.6. Pentru toate cele trei modele de grafuri, se poate utiliza algoritmul lui Dijkstra pentru determinarea căii celei mai scurte. Acest algoritm este prezentat în Figura 5.9.

```

Algorithm Dijkstra ( $s, G$ );
    /*  $s$ : un vârf sursă; */
    /*  $G$ : un graf ponderat; */
    /*  $D_i$ : distanța cea mai scurtă estimată de la  $s$  la nodul  $i$ ; */
    /*  $d_{ij}$ : pondere a muchiei  $(i, j)$  sau distanța între nodurile  $i$  și  $j$ ; */
    /*  $M$ : set de noduri marcate permanent. */

begin
1. /* Inițializare */
    $M \leftarrow s$ ;
    $D_s \leftarrow 0$ ;
   forall ( $j \in V(G)$ ) do  $D_j \leftarrow d_{sj}$  endfor;
2. /* Determinarea nodului următor cel mai apropiat */
   Se caută un nod  $i \notin M$  astfel încât  $D_i = \min_{j \notin M} D_j$ ;
    $M \leftarrow M \cup i$ ;
   if ( $M$  conține toate nodurile) then STOP; endif;
3. /* Actualizare */
   forall ( $j \notin M$ ) do  $D_j \leftarrow \min_i (D_j, D_i + d_{ij})$  endfor;
   goto 2;
end.

```

Figura 5.9. Algoritmul Dijkstra pentru determinarea căii celei mai scurte.

În general, conexiunile au mai mult de doi pini. Determinarea căii celei mai scurte care acoperă trei sau mai multe noduri constituie problema arborelui Steiner. Această problemă este de importanță deosebită pentru rutarea secvențială și este prezentată în secțiunea următoare.

5.5.2.1 Problema arborelui Steiner

Fie M un set de vârfuri marcate. Un arbore care conectează toate vârfurile din M ca și alte vârfuri din G care nu sunt în M este numit un *arbore Steiner*. Un *arbore Steiner minim* este un arbore Steiner cu o lungime minimă.

Problema arborelui Steiner este NP-completă. De aceea, în locul determinării unui arbore Steiner minim, se utilizează euristici pentru identificarea cât mai rapidă a unui arbore de lungime rezonabilă, și nu neapărat de lungime minimă. În literatură au fost publicate diferite metode euristice pentru determinarea arborelui Steiner [3] [45] [60] [84] [91] [99] [100] [148].

Cele mai multe euristici utilizează o variantă modificată a algoritmului Dijkstra pentru determinarea căii celei mai scurte sau o variație a algoritmului Lee pentru rutarea de tip labirint. De obicei, o asemenea euristică este de tip greedy și se execută astfel. Se selectează mai întâi unul din vârfurile marcate. Se identifică apoi calea cea mai scurtă la oricare din vârfurile marcate rămase. Apoi este selectat unul din vârfurile marcate rămase și este identificată calea cea mai scurtă de la acest vârf la oricare din vârfurile arborelui parțial. Acest proces continuă până când se procesează toate vârfurile marcate. O descriere formală a acestei euristici este prezentată în Figura 5.10.

```

Algorithm Arbore_Steiner;
begin
   $M \leftarrow$  set de noduri marcate /* noduri în care conexiunea are pini */;
   $s \leftarrow$  un nod selectat din  $M$ ;
  Se aplică algoritmul Dijkstra pentru a determina  $\pi_{s,e}$ , calea cea mai scurtă
    de la  $s$  la un anumit nod  $e$  din  $M$ ;
   $M \leftarrow M - \{e\}$ ;
   $V \leftarrow \{s, e\}$ ; /* noduri ale arborelui Steiner */
  while ( $M \neq \emptyset$ ) do
     $e \leftarrow next(M)$ ; /* se alege un alt nod din  $M$  */
    Se aplică algoritmul Dijkstra pentru a determina  $\pi_{e,x}$ , calea cea mai scurtă
      de la  $e$  la un anumit nod  $x$  din  $V$ ;
     $V(\pi_{e,x}) \leftarrow$  noduri acoperite de  $\pi_{e,x}$ ;
     $V \leftarrow V \cup V(\pi_{e,x})$ ;
    /* se elimină nodurile marcate acoperite de calea  $\pi_{e,x}$  */
     $M \leftarrow M - M \cap V(\pi_{e,x})$ ;
  endwhile
end.

```

Figura 5.10. Exemplu de euristică pentru determinarea arborelui Steiner.

O altă euristică pentru determinarea unui arbore Steiner sub-optimal se bazează pe o variație a unui algoritm pentru determinarea arborelui de acoperire minim al lui Kruskal. Fie M setul de noduri (vârfuri) în care conexiunea are pini. Se determină mai întâi căile cele mai scurte între toate perechile de noduri din M . Există $\binom{n}{2}$ asemenea căi, unde n este egal cu numărul de noduri din M . Aceste căi sunt sortate în ordinea crescătoare a lungimii lor, și sunt procesate una câte una. Calea cea mai scurtă identifică prima ramură a arborelui Steiner. Fiecare din căile următoare identifică o altă ramură a arborelui. Algoritmul se termină atunci când toate nodurile au fost acoperite și conectate. Este probabil ca acest lucru să se întâmple înaintea procesării tuturor căilor. O descriere formală a acestei euristici este prezentată în Figura 5.11.

În cazul în care graful este un graf de caroiaj, se poate utiliza algoritmul Lee modificat pentru conexiuni multipin în scopul rutării conexiunilor între celulele globale. Acest algoritm va fi descris în secțiunea următoare.

```

Algorithm Aproximare_Steiner;
begin
   $M \leftarrow$  set de noduri marcate /* noduri în care conexiunea are pini */;
  Se determină căile cele mai scurte între toate perechile de noduri din  $M$ ;
   $P \leftarrow$  secvența căilor sortate în ordinea crescătoare a lungimii lor;
   $V \leftarrow \emptyset$ ;
   $E \leftarrow \emptyset$ ;
  while ( $V \neq M$ ) do
     $cale \leftarrow next(P)$ ; /* se preia următoarea cale cea mai scurtă */
    /* și se elimină din  $P$  */
    forall  $(i, j) \in E(cale)$  do
      if ( $(i, j)$  nu crează un ciclu în graful  $G(V, E)$ ) then
         $V \leftarrow V \cup \{i, j\}$ ;
         $E \leftarrow E \cup \{(i, j)\}$ ;
      endif
    endfor
  endwhile
end.

```

Figura 5.11. Euristică de aproximare a arborelui Steiner utilizând o variație a algoritmului pentru arborele de acoperire minim.

5.5.2.2 Rutarea globală prin metoda parcurgerii labirintului

Primul pas al rutării globale este modelarea regiunilor de rutare. Zonele orizontale și verticale de rutare sunt definite prin extinderea muchiilor orizontale și verticale ale celulelor plasate până la marginea suprafeței. Regiunile de rutare ale acestui model reprezintă intersecțiile dintre zonele orizontale și verticale de rutare. În acest caz, nu se garantează ca regiunile de rutare să fie canale.

După identificarea canalelor (regiunilor) de rutare, etapa următoare este asignarea de conexiuni acestor regiuni. Pentru aceasta, canalele sunt modelate printr-un *graf de conectivitate al canalelor*. Pentru rutarea cu două straturi, fiecărui nod i se asignează două ponderi reprezentând capacitatea orizontală (lățimea) și capacitatea verticală (lungimea) canalului corespunzător (Figura 5.12).

Metoda secvențială este cea mai simplă și cea mai des utilizată metodă pentru rutarea globală. Această metodă constă în selectarea câte unei conexiuni la un moment dat și determinarea unui arbore Steiner optimal (sau sub-optimal) care acoperă toți pinii conexiunii. Există două posibilități în acest caz: (1) metoda dependentă de ordine și (2) metoda independentă de ordine.

În cazul rutării globale *independente de ordine*, fiecare conexiune este rutată independent de toate celelalte conexiuni. Se identifică apoi zonele congestionate și conexiunile afectate sunt rerutate, penalizând căile care trec prin aceste zone. Această metodă nu necesită ordonarea conexiunilor și reduce în mod considerabil complexitatea spațiului de căutare, deoarece singurele obstacole sunt celulele. Totuși, poate fi necesar un număr mare de iterații pentru găsirea unei soluții fezabile a problemei de rutare globală.

În cazul rutării globale *dependente de ordine*, mai întâi se ordonează conexiunile conform anumitor criterii. Apoi conexiunile sunt rutate în ordinea rezultată, actualizând spațiul de rutare disponibil după fiecare conexiune. Căutarea este mai complexă, deoarece numărul de obstacole este mai mare (celule și conexiuni deja rutate). Ambele metode sunt oarecum similare prin faptul că ele încearcă identificarea unui arbore Steiner pentru o conexiune la un moment dat. În continuare se va descrie metoda dependentă de ordine.

Fiecare margine a unui bloc este atașată unui canal unic. Deci, fiecare pin este asociat în mod unic cu un canal. Astfel, nodurile grafului de conectivitate al canalelor în care o conexiune are pini sunt determinate în mod neambiguu. Rutarea globală a unei conexiuni se reduce deci la determinarea unui arbore care acoperă toate nodurile în care conexiunea are pini.

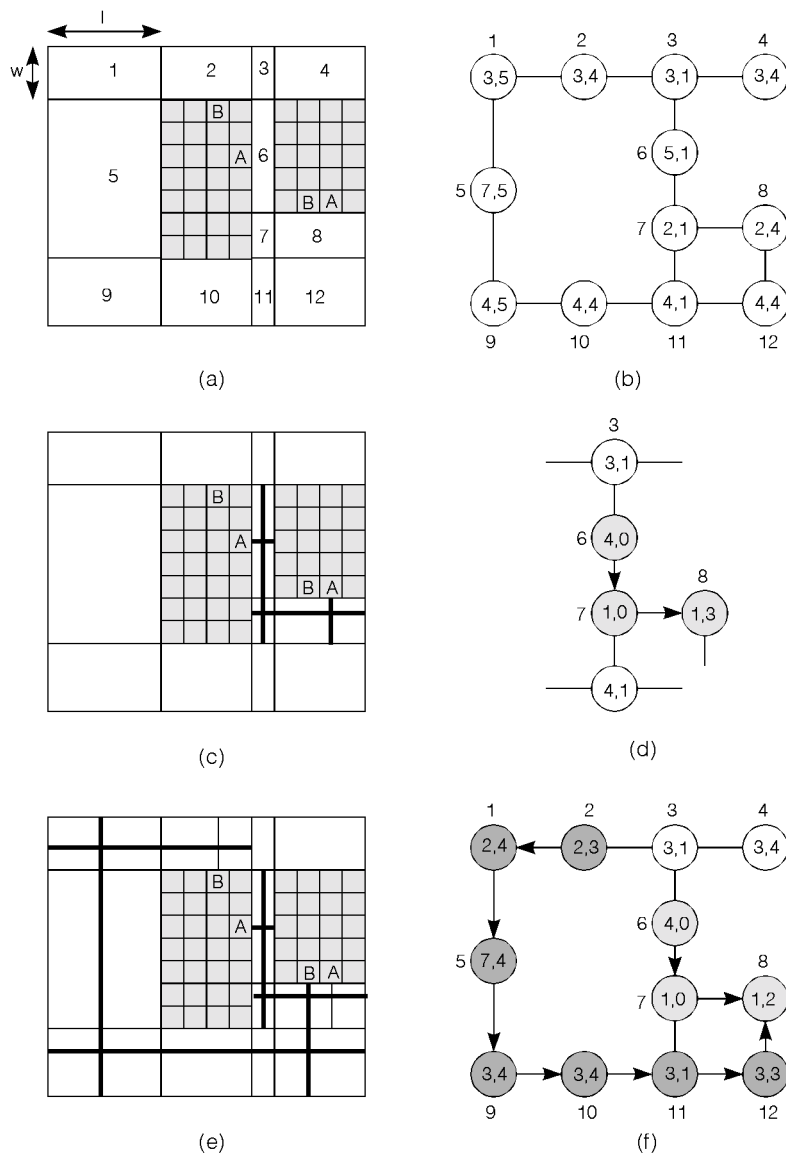


Figura 5.12. Rutarea globală. (a) Modelul canalului. (b) Graful de conectivitate al canalelor. (c) Rutarea globală A-A'. (d) Graful canalelor cu A-A' rutat. (e) Rutarea globală B-B'. (f) Graful canalelor cu A-A' și B-B' rutate.

Se consideră cazul simplu în care conexiunea are pini numai în două noduri. În acest caz, asignarea unei conexiuni canalelor este realizată prin căutarea unei căi în graful canalelor. Este căutată o cale între canalul care conține nodul sursă la cel care conține nodul destinație. Procedura de căutare este similară cu cea utilizată în algoritmul Lee. Pentru simplitate se presupune că lungimea tuturor muchiilor în graful de conectivitate al canalelor este o unitate. Pornind de la un nod etichetat cu k , nodurile adiacente sunt etichetate cu $k + 1$. Procedura de etichetare continuă până când se ajunge la nodul destinație. Calea cea mai scurtă în graful de conectivitate al canalelor este indicată printr-o secvență de noduri cu etichete descrescătoare. După ce este găsită această cale, conexiunea este asignată canalelor, și pentru toate nodurile (canalele)

din care ponderile capacităților w și l sunt micșorate conform cu lățimea și lungimea conexiunii care trebuie rutată.

Figura 5.12(a) indică o plasare a celulelor, fiind necesară rutarea a două conexiuni, $A - A'$ și $B - B'$. Figura 5.12(b) prezintă graful corespunzător al canalelor. Pinul A este adiacent cu canalul numărul 6, iar pinul A' cu canalul 8. Calea cea mai scurtă din graf de la nodul 6 la nodul 8 (6-7-8) este indicată în Figura 5.12(d).

Se observă că ponderile nodurilor în această parte a grafului din Figura 5.12(d) sunt actualizate. Lățimea și lungimea canalului sunt reduse cu o valoare egală cu spațiul utilizat de segmentul de interconectare. În cazul în care calea trece doar vertical (orizontal), este redusă numai ponderea corespunzătoare lungimii (lățimii) sale. Aceasta înseamnă că o întreagă linie și o întreagă coloană a fiecărui canal (6, 7 și 8) sunt asigurate acestei conexiuni, după cum se indică în Figura 5.12(c).

Următorul pas este asignarea unor canale pentru conexiunea $B - B'$. Pinul B este adiacent cu canalul 2, iar pinul B' este adiacent cu canalul 8. Se consideră două căi posibile care interconectează nodul 2 cu nodul 8. Prima este calea 2-3-6-7-8, iar a doua este 2-1-5-9-10-11-12-8. Canalele 6 și 7 au o lățime de o unitate și au fost asigurate conexiunii $A - A'$, deci capacitățile lor orizontale au devenit zero. Calea cea mai scurtă disponibilă este deci 2-1-5-9-10-11-12-8. Ponderile actualizate din graf sunt indicate în Figura 5.12(f).

O altă aplicație a tehnicii prezentate anterior este de a determina separarea necesară între celule în scopul asigurării rutabilității circuitului de către programul de rutare detaliată. Rutarea globală este utilizată deci numai pentru a determina separarea necesară între celule. Atunci când se execută rutarea detaliată pentru întregul circuit, nu este necesară urmărirea exactă a canalelor asignate conexiunilor de programul de rutare globală.

Modificarea metodei anterioare pentru determinarea separării între celule constă în considerarea unei separări inițiale egale cu zero, ceea ce va reprezenta ponderea inițială a nodurilor. În continuare, de fiecare dată când se găsește o cale, ponderile nodurilor (canalelor) corespunzătoare sunt incrementate. La sfârșitul acestei proceduri, plasarea relativă a celulelor va fi menținută, dar separarea minimă între celule va fi cea dată de ponderile orizontale și verticale ale nodurilor grafului de conectivitate al canalelor.

5.5.2.3 Rutarea globală utilizând arbori Steiner ponderați

Fie un set de conexiuni cu terminale multiple $\eta = \{N_1, \dots, N_n\}$ pentru care trebuie executată rutarea globală. Presupunem că suprafața de rutare este divizată în regiuni dreptunghiulare (Figura 5.13). Fiecare conexiune N cu k terminale este specificată printr-un k -tuplu (R_1, \dots, R_k) , unde R_i , $1 \leq i \leq k$, sunt regiunile conținând terminalele conexiunii N . Regiunile R_i nu sunt neapărat distincte, deoarece o conexiune poate avea mai multe terminale într-o regiune. Pentru rutarea globală, pentru fiecare conexiune trebuie specificată o secvență de regiuni prin care va trece conexiunea respectivă.

Considerând o soluție a rutării globale, fie $d(i, j)$ numărul de conexiuni care intersectează marginea a două regiuni adiacente R_i și R_j , iar $c(i, j)$ capacitatea marginii regiunilor R_i și R_j (numărul maxim de conexiuni care pot intersecta această margine). O soluție a rutării globale este specificată printr-un set η de conexiuni cu terminale multiple, o funcție de capacitate C și o colecție de regiuni. O conexiune cu k terminale are *multiplicitatea* k . Multiplicitatea setului η este egală cu numărul maxim de terminale pe conexiune, dintre toate conexiunile setului η . Problema de rutare globală pentru o anumită pereche (η, C) constă în determinarea unei secvențe de regiuni astfel încât $d(i, j) \leq c(i, j)$ pentru fiecare două regiuni adiacente R_i și R_j . De notat că deși

obiectivul principal este satisfacerea restricțiilor de capacitate, există un număr de obiective secundare importante, ca de exemplu minimizarea lungimii conexiunilor.

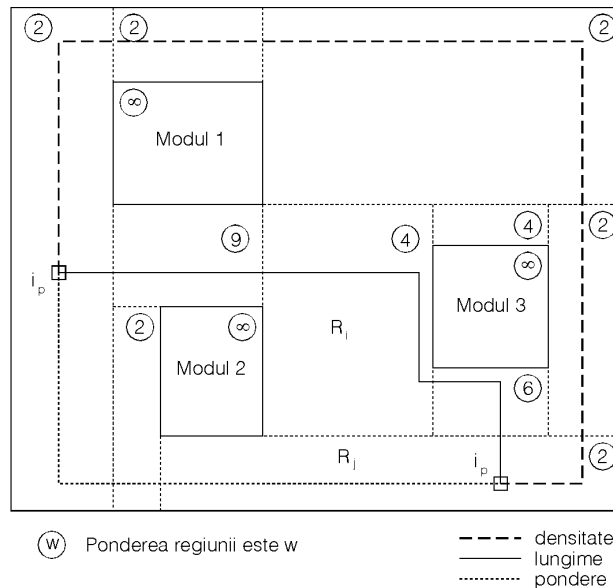


Figura 5.13. Trei tipuri de arbori Steiner.

Considerăm că regiunilor din Figura 5.13 li se asociază ponderi, ponderea unei regiuni depinzând de suprafața acesteia, numărul de conexiuni care trec prin regiune, și numărul de terminale pe care le conține. Ponderea regiunilor corespunzătoare modulelor este setată la ∞ , pentru a indica faptul că nici o conexiune nu poate trece prin acestea. Există diferite tipuri de arbori Steiner care se pot defini pentru o anumită conexiune. În Figura 5.13, considerând conexiunea între terminalele notate cu p , sunt definiți trei arbori Steiner: pentru densitate, lungime și pondere. Considerăm arborele Steiner pentru pondere, numit *arbore Steiner ponderat*. Un *arbore Steiner cu pondere minimă* este un arbore Steiner cu ponderea totală minimă, unde o muchie a arborelui cu lungimea ℓ_j din regiunea R_j cu ponderea w_j are ponderea totală $\ell_j w_j$.

Pentru conexiunea între terminalele notate cu p din Figura 5.13, arborele Steiner cu lungimea minimă nu este adecvat, deoarece trece prin regiuni critice, care conțin module. După modificarea traseului, calea de rutare poate trece în continuare prin regiuni critice, de exemplu cea cu ponderea 9. De asemenea, prin această modificare se poate viola optimalitatea lungimii. În aceste cazuri, un arbore Steiner cu pondere minimă reprezintă o conexiune eficientă, fiind posibilă minimizarea simultană a lungimii conexiunilor și a densității regiunilor. O asemenea soluție a fost propusă de Chiang *et al.* [54], care au descris și o metodă de construire a unui arbore Steiner ponderat. În continuare se va descrie această metodă.

Se consideră o divizare a planului într-o colecție de regiuni $R = \{R_1, \dots, R_m\}$. Regiunii R_i îi este asignată o pondere pozitivă w_i . Se consideră o cale P care conectează două puncte p_a și p_b , trecând prin diferite regiuni. Se notează cu ℓ_j lungimea căii P în regiunea R_i , deci $\ell_j = |P \cap R_i|$. Ponderea căii P este $W(P) = \sum \ell_j w_j$.

Fiind dat un set de puncte P din R , problema este de a obține un arbore Steiner cu pondere minimă care interconectează punctele din P . Se consideră numai căi rectiliniare. Aceasta este problema *arborelui Steiner rectilinear ponderat* (*weighted rectilinear Steiner tree – WRST*). Problema *WRST* este NP-completă, deoarece o clasă restrânsă a acestei probleme, și anume cea în care $w_i = 1$ pentru fiecare i , este problema

tradițională a arborelui Steiner rectiliniar cu lungime minimă, care este NP-completă [146].

Se arată mai întâi modul în care se poate găsi o cale cu pondere minimă între două puncte p_a și p_b din R . Pentru aceasta se construiește un graf G , numit *graful de căutare* al R . Acest graf se obține prin extinderea marginilor fiecărei regiuni până când ele ajung la marginea exterioară sau la un obstacol (o regiune cu pondere infinită). Noua configurație este notată cu D . Intersecțiile segmentelor de linie din D definesc vârfurile grafului G , iar liniile care le interconectează definesc muchiile grafului.

Fiind dat un set de puncte Q , se poate obține un graf de căutare G_Q în (R, Q) după cum urmează. Se începe cu D , căruia i se adaugă setul de puncte Q . Se extind apoi segmentele de linii orizontale și verticale de la fiecare punct din Q până când fiecare segment ajunge la un obstacol sau la margine. Noua configurație este notată D_Q . Intersecțiile segmentelor de linie din D_Q definesc vârfurile grafului G_Q , iar segmentele de linie care le interconectează definesc muchiile grafului G_Q .

Pentru găsirea unei căi de pondere minimă între două puncte p_a și p_b se poate utiliza următoarea Lemă [54].

Lema 5.1. Există o cale de pondere minimă între două puncte p_a și p_b , care este o cale în graful $G_{\{p_a, p_b\}}$.

P fiind un set de puncte, graful G_P are e muchii. Pentru găsirea unei căi de pondere minimă între două puncte p_a și p_b din P , este suficient să se determine o cale cu pondere minimă în graful G , într-un timp $O(e \log e)$.

Un *arbore de acoperire minim* (ponderat) (*minimum spanning tree – MST*) T_P al unui set de puncte P este un arbore de pondere minimă care interconectează toate punctele. Se poate construi un *MST* al setului P prin determinarea unui *MST* pentru punctele grafului G_P , deoarece G_P conține toate căile minime între aceste puncte.

Relația dintre ponderea unui arbore de acoperire minim și ponderea unui arbore Steiner optim este dată de următoarea Lemă [54].

Lema 5.2. Raportul dintre ponderea unui arbore de acoperire minim și ponderea unui arbore Steiner optim satisface următoarea inegalitate:

$$\frac{W_{MST}}{W_{WRST}^*} \leq 2 \left(1 - \frac{1}{l} \right) \quad (5.1)$$

unde l este numărul minim de frunze din $WRST$.

Lema 5.2 sugerează faptul că orice algoritm care pornește de la un *MST* și îl modifică, fără a crește ponderea acestuia, asigură obținerea limitei ponderii definite în lema. Au fost propuși diferiți algoritmi care utilizează această procedură. Chiang *et al.* [54] au propus un algoritm mai eficient, care va fi descris în continuare.

Pentru construirea unui *WRST* se pornește de la un *MST* ponderat T_P al setului de puncte P . Pe baza Lemei 5.1, T_P este un subgraf al grafului de căutare G_P . Dacă ponderea *WRST* rezultat este mai mică decât ponderea *MST* original, limita definită de Lema 5.2 este respectată.

Muchiile e_1, \dots, e_{t-1} , $t = |P|$, ale T_P vor fi procesate una câte una. Ordinea de procesare a muchiilor influențează rezultatul final. Muchiile sunt procesate în ordine crescătoare a ponderilor, deci ponderea muchiei e_1 este cea mai mică. Se consideră procesarea unei muchii e_j din T_P . Se presupune că punctele de pe muchiile e_1, \dots, e_{j-1} au fost interconectate, deci s-a obținut o colecție de arbori Steiner ponderați. Reuni-

unea acestor interconectări se notează cu L_{j-1} , ponderea acestei reuniuni respectând inegalitatea:

$$W(L_{j-1}) \leq \sum_{i=1}^{j-1} W(e_i) \quad (5.2)$$

În general, există mai multe căi cu pondere minimă care conectează două puncte. Fie $CALE_1(e_j), \dots, CALE_q(e_j)$ un subset al acestora, unde q este un parametru de proiectare. Fiecare din căile $CALE_i(e_j)$ este unită cu L_{j-1} în felul următor. Fie h_1 și h_2 capetele muchiei e_j . Dacă h_1 și h_2 sunt conectate deja în L_{j-1} , procesarea muchiei e_j se oprește și se continuă cu procesarea muchiei e_{j+1} . În caz contrar, se începe de la h_1 și se conectează h_1 cu h_2 utilizând $CALE_i(e_j)$. Există două cazuri:

- *Cazul 1:* $CALE_i(e_j)$ intersectează numai h_1 și h_2 . În acest caz nu sunt necesare alte operații.
- *Cazul 2:* $CALE_i(e_j)$ intersectează L_{j-1} , începând cu h_1 , în punctele $h_1 = z_1, z_2, \dots, z_{f-1}$, $h_2 = z_f$, unde $f > 2$. Se testează subcalea din $CALE_i(e_j)$ de la z_ν la $z_{\nu+1}$, pentru fiecare ν , $1 \leq \nu \leq f-1$, în această ordine, începând cu $\nu = 1$. Dacă subcalea de la z_ν la $z_{\nu+1}$ crează un ciclu, se elimină întreaga subcale. În caz contrar, ea rămâne neschimbată.

Se repetă procesul începând de la h_2 . Cele două rezultate sunt comparate și este selectat rezultatul cel mai bun. L_j este deci actualizat pentru fiecare din cele q căi. Procedura descrisă mai sus este numită *MERGE* ($L_{j-1}, CALE_i(e_j)$). Rezultatul L_j este o colecție de arbori (fără cicluri). Diferența dintre ponderile L_j și L_{j-1} este mai mică sau egală cu ponderea muchiei e_j , deci $W(L_j) - W(L_{j-1}) \leq W(e_j)$. Astfel, L_{j-1} este un arbore Steiner rectiliniar ponderat cu ponderea totală mai mică sau egală cu ponderea lui T_P .

O descriere formală a algoritmului este prezentată în Figura 5.14.

```

Procedure WRST (R, P);
begin
     $T_P \leftarrow$  un arbore de acoperire minim al setului P;
    for (j = 1 to t - 1) do           /* t este numărul de terminale */
        for (i = 1 to q) do           /* q este numărul de căi */
             $L_i =$  MERGE ( $L_{j-1}, CALE_i(e_i)$ );
        endfor;
    endfor;
    return ( $\min_i L_i$ );
end

```

Figura 5.14. Algoritmul pentru construirea arborelui Steiner rectiliniar ponderat.

În continuare se descrie algoritmul de rutare globală care utilizează arbori Steiner ponderați. Primul pas al algoritmului constă în asignarea unui număr distinct, numit *număr de ordine*, fiecărei conexiuni. În general, numărul de ordine al unei conexiuni depinde de prioritatea, ponderea și multiplicitatea conexiunii. De exemplu, conexiunilor de alimentare li se poate asigna prioritatea 1, celor de ceas li se poate asigna prioritatea 2, iar conexiunilor critice li se poate asigna prioritatea 3. Ponderea unei conexiuni este proporțională cu ponderea arborelui de acoperire minim (ponderat) al acesteia. Multiplicitatea conexiunii este proporțională cu numărul de terminale.

În algoritmul descris, ordonarea conexiunilor este realizată numai pe baza ponderii. Fie W_i ponderea MST pentru conexiunea N_i și o funcție de ordonare Π pe setul de ponderi W_i . Conexiunile sunt ordonate conform funcției Π , deci conexiunea

cu ponderea minimă este rutată prima. Motivul acestei ordonări este că în primele etape ale rutării se dorește evitarea regiunilor cu densitate mare, fiind acceptabile conexiunile mai lungi produse ca rezultat. Însă, în etapele finale ale algoritmului trebuie construiți arbori de lungime minimă, pentru a se evita saturarea capacității regiunilor.

Înainte de începerea rutării, ponderea unei regiuni depinde numai de capacitatea acesteia și de numărul de terminale pe care le conține. Ponderea unei regiuni s-a ales egală cu numărul de terminale din regiune împărțit cu suma capacităților marginilor regiunii. Pe măsura rutării conexiunilor, capacitatea unor regiuni crește, și deci ponderea acestora va crește de asemenea.

Al doilea pas al algoritmului este obținerea, pentru fiecare conexiune, a unui arbore Steiner ponderat, a cărei pondere totală este minimizată. Fie N_i conexiunea curentă care se procesează. Considerăm perechea (R, W_i) , unde R este setul de regiuni și W_i este ponderea regiunilor înainte procesării conexiunii N_i . Ponderea unei regiuni crește pe măsură ce prin această regiune trec mai multe conexiuni. Un arbore Steiner ponderat pentru (R, W_i) impune o rutare globală care minimizează simultan densitatea conexiunilor în cadrul regiunilor și lungimea conexiunii curente.

Pentru a controla importanța ponderii și a lungimii pe parcursul algoritmului, se introduc constantele λ^j . La iterația j , se obține un *WRST* pentru conexiunea N_i care minimizează valoarea $\sum_i \lambda_i^j w_i^j \ell_i^j$, unde w_i^j este ponderea regiunii R_i prin care trece N_i , iar ℓ_i^j este lungimea conexiunii N_i în R_i . Valoarea λ_i^j este selectată astfel încât $\lambda_i^j w_i^j$ scade pe măsură ce j crește, devenind apropiată de 1, astfel încât în ultimele iterații ale algoritmului să crească rolul lungimii conexiunii relativ la cel al ponderii. Valoarea utilizată este $\lambda_i^j = (1/j + 1/w_i^j)$, iar numărul total de iterații (valoarea maximă pentru j) este 20.

La iterația j al algoritmului, dacă ponderea totală a rutării conexiunii N_i este mai mică decât ponderea totală a rutării conexiunii N_i de la iterația $j - 1$, rutarea este acceptată; în caz contrar, ea este respinsă. O descriere formală a algoritmului este prezentată în Figura 5.15.

```

Algorithm Rutare_WRST (R,  $\eta$ , s);
    /* R este setul regiunilor de rutare          */
    /*  $\eta$  este setul conexiunilor                */
    /* s este numărul de conexiuni din setul  $\eta$    */

begin
    W  $\leftarrow$  funcția ponderilor inițiale ale R ;
    for (i = 1) to s do
        W(Ni) =  $\infty$ ;          /* se inițializează ponderile conexiunilor */
    endfor;
    for (j = 1) to 20 do
        Ni = conexiunea curentă; /* conform funcției de ordonare  $\Pi$  */
        temp = WRST (R, Ni);
        if (temp)  $\leq$  W(Ni) then
            Ni = temp;          /* se acceptă rutarea lui Ni */
            actualizare W;
        endif;
    endfor;
end.

```

Figura 5.15. Algoritmul de rutare globală pe baza arborilor Steiner ponderați.

Timpul de procesare pentru fiecare conexiune este $O(t^2 + e \log e)$, unde t este numărul de terminale ale conexiunii, iar e este numărul de muchii din graful de căutare. Algoritmii de rutare globală descriși sunt mult mai rapid decât alții algoritmi care utilizează metoda călirii simulate (de exemplu, TimberWolf) sau algoritmi care utilizează rețele de flux [54].

5.5.2.4 Rutarea globală orientată pe performanțe

Odată cu progresele înregistrate în tehnologia de fabricație a circuitelor VLSI, întârzierile datorate interconexiunilor au devenit semnificative pentru viteza circuitelor. De aceea, interconexiunile din cadrul unui circuit integrat și dintre circuite au un rol major în determinarea performanțelor sistemelor digitale. Aceasta a determinat apariția unor sisteme de proiectare în care accentul se pune pe maximizarea performanțelor. Deși majoritatea cercetărilor în acest domeniu au ca temă problema de plasare, există unele lucrări și în domeniul rutării globale.

Jackson, Kuh și Marek-Sadowska au raportat o metodă ierarhică pentru rutarea controlată de restricțiile de timp [60]. O altă metodă de rutare globală controlată de cerințele de reducere a întârzierilor a fost raportată de Prasitjutrakul și Kubitz, în care rutarea globală este integrată cu un analizor de timp [146]. Rutarea globală elaborată de acești autori pentru circuite cu macro-celule se bazează pe algoritmul euristic de căutare A^* . Metodele amintite nu sunt însă suficient de flexibile pentru a considera simultan întârzierile de interconectare și costurile de rutare.

Cong *et al.* [60] au descris un algoritm de rutare globală orientat pe performanțe pentru celule standard și macro-celule. Această metodă este bazată pe arbori de rutare cu rază limitată, pentru construcția acestora utilizându-se euristici bazate pe algoritmul lui Prim pentru arbori de acoperire minimi. Metoda permite proiectantului un control al importanței relative a costului rutării și a întârzierilor de interconectare. Aceiași autori au elaborat o metodă care minimizează simultan lungimea totală de interconectare (indicată de costul arborelui) și întârzierea maximă (indicată de raza arborelui).

Fiind dat un *graf de rutare* $G = (V, E)$, care este un graf ponderat conectat, o conexiune N este un subset al nodurilor acestui graf. O soluție de rutare a unei conexiuni N este un arbore din G , numit *arbore de rutare*, care conectează toate terminalele/nodurile din N .

Un arbore de rutare poate fi considerat ca un arbore *RC* distribuit. Pentru aproximarea întârzierilor de interconectare au fost utilizate diferite modele, ca de exemplu întârzierea Elmore sau limitele superioare și inferioare ale întârzierilor într-un arbore *RC*. Deși aceste modele sunt utile pentru simulare și verificarea întârzierilor, ele implică sume de termeni cuadratici, care sunt dificil de calculat și optimizat în procesul de proiectare fizică. De aceea, pentru o aproximare mai simplă a întârzierilor de interconectare se utilizează de obicei un model *RC* liniar, în care întârzierea de interconectare dintre un terminal sursă și unul destinație este proporțională cu lungimea interconexiunii dintre cele două terminale.

Costul unei căi din graful de rutare G este suma ponderilor muchiilor din acea cale. *Calea cea mai scurtă* în G dintre două terminale $x, y \in N$, $cale_{min_G}(x, y)$, este o cale care conectează x și y , cu un cost minim. Într-un arbore de rutare T , calea cea mai scurtă dintre x și y , $cale_{min_T}(x, y)$, este singura cale dintre terminalele x și y . În cazul geometric, costul căii celei mai scurte este distanța geometrică, notată cu $dist(x, y)$. Pentru un graf ponderat, acest cost este notat cu $dist_G(x, y)$.

Raza R a unei conexiuni este costul căii celei mai scurte din graful G de la o sursă la destinația cea mai îndepărtată, deci $\max_{x \in N} dist_G(s, x)$. *Raza* unui arbore de rutare T , notată cu $r(T)$, este costul căii celei mai scurte din T de la sursa s la destinația cea mai îndepărtată. Pentru oricare arbore de rutare, $r(T) \geq R$.

Dacă se utilizează modelul de întârziere RC liniar, întârzierile de interconectare se minimizează prin minimizarea razei arborelui de rutare, care măsoară întârzierea maximă de interconectare între sursă și oricare destinație. Pentru aceasta se poate utiliza *arborele căii celei mai scurte* (*Shortest Path Tree - SPT*) al unei conexiuni, obținut prin uniunea căilor celor mai scurte de la o sursă la toate destinațiile, determinate prin algoritmul lui Dijkstra. Deși *SPT* are raza cea mai mică posibilă $r(SPT)$ dintre toți arborii de rutare, costul *SPT* poate fi foarte ridicat. Pentru a se lua în considerare atât întârzierile de interconectare, cât și costul rutării, problema de rutare globală controlată de restricții de timp poate fi formulată după cum urmează.

Problema arborelui de rutare minim cu rază limitată: Fiind dat un parametru $\varepsilon \geq 0$ și o conexiune cu raza R , să se determine un arbore de rutare T cu cost minim și cu raza $r(T) \leq (1 + \varepsilon) \cdot R$.

Parametrul ε controlează importanța relativă a razei și a costului arborelui. Dacă $\varepsilon = 0$, se minimizează raza arborelui de rutare și deci se obține arborele căii celei mai scurte pentru conexiunea respectivă. Pe de altă parte, dacă $\varepsilon = \infty$, se minimizează costul total al arborelui și se obține un arbore de acoperire minim.

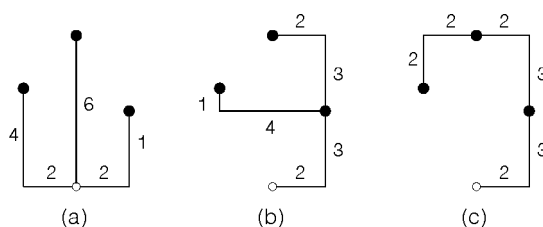


Figura 5.16. Un exemplu în planul Manhattan al modului în care creșterea valorii ε determină scăderea costului arborelui, dar creșterea razei $r(T)$: (a) $\varepsilon = 0$, $\text{cost}(T) = 17$, $r(T) = 6$; (b) $\varepsilon = 1$, $\text{cost}(T) = 15$, $r(T) = 10$; (c) $\varepsilon = \infty$, $\text{cost}(T) = 14$, $r(T) = 14$.

În Figura 5.16 se prezintă un exemplu în care se obțin trei arbori de acoperire distincți pentru valori diferite ale parametrului ε . Figura 5.16(a) arată arborele de acoperire cu raza minimă corespunzător cazului $\varepsilon = 0$, cu lungimea căii maxime $r(T) = 6$ și costul $\text{cost}(T) = 17$. Figura 5.16(b) arată o soluție corespunzătoare cazului $\varepsilon = 1$, cu $r(T) = 10$ și $\text{cost}(T) = 15$. Figura 5.16(c) arată arborele de acoperire minim corespunzător cazului $\varepsilon = \infty$, cu $r(T) = 14$ și $\text{cost}(T) = 14$.

Pentru circuite cu celule standard sau macro-celule, distanțele dintre noduri reprezintă distanțe geometrice, graful de rutare fiind $G = (V, E)$ cu $V = N$. În acest caz, numeroase metode de rutare globală sunt bazate pe construirea unui arbore de acoperire pentru fiecare conexiune. Astfel, problema arborelui de rutare minim cu rază limitată devine problema *arborelui de acoperire minim cu rază limitată* (*bounded radius minimum spanning tree - BRMST*). Cong *et al.* [60] au descris un algoritm euristic pentru construirea unui arbore de acoperire cu rază limitată, pe baza algoritmului clasic al lui Prim pentru construirea unui arbore de acoperire minim. Acest algoritm este descris în continuare.

Algoritmul construiește un arbore $T = (V', E')$ care conține inițial numai sursa s . La fiecare pas, se alege $x \in V'$ și $y \in N - V'$ astfel încât $\text{dist}(x, y)$ este minimă. Dacă adăugarea muchiei (x, y) nu violează restricția razei, deci $\text{dist}_T(s, x) + \text{dist}(x, y) \leq (1 + \varepsilon) \cdot R$, se include această muchie în T . În caz contrar, se parcurge calea inversă de la x la s pentru a găsi primul terminal x' astfel încât muchia (x', y) să fie corespunzătoare, deci $\text{dist}_T(s, x') + \text{dist}(x', y) \leq R$, și se adaugă (x', y) la arborele T . În cazul cel mai defavorabil, parcurgerea inversă se va termina cu $x' = s$.

Acest algoritm este numit algoritmul Prim limitat (*PRIML*) și este descris în Figura 5.17. Algoritmul are avantajul că raza arborelui rezultat nu este mai mare decât raza arborelui de acoperire minim, ori de câte ori acesta din urmă este unic [60].

```

Algorithm PRIML ( $N, s, R, \epsilon$ );
begin
   $T = (V', E') = (\{s\}, \emptyset)$ ;
  while ( $|V'| < |N|$ ) do
    Se selectează două terminale  $x \in V'$  și  $y \in N - V'$  care minimizează  $dist(x, y)$ ;
    if ( $dist_T(s, x) + dist(x, y) \leq (1 + \epsilon) \cdot R$ ) then
       $x' = x$ 
    else
      Se caută primul terminal  $x'$  pe calea din  $T$  de la  $x$  la  $s$  astfel încât
       $dist_T(s, x') + dist(x', y) \leq R$ ;
    endif
     $V' = V' \cup \{x'\}$ ;
     $E' = E' \cup \{(x', y)\}$ 
  endwhile
end.

```

Figura 5.17. Algoritmul *PRIML* pentru construirea unui arbore de acoperire cu rază limitată, T , pentru setul de terminale N , cu sursa $s \in N$ și raza R , utilizând parametrul ϵ .

Construcția arborelui cu rază limitată poate fi aplicată și altor metode de generare a arborilor de acoperire, diferite de algoritmul lui Prim. Pot exista diferite variante, în funcție de modul de selecție a perechii de terminale x și y . Anumite variante asigură o creștere a performanțelor față de algoritmul *PRIML*, de exemplu:

- *H1* – Se determină x și y ca și în cazul algoritmului *PRIML*, și se selectează terminalul x' pe calea din T de la x la s care produce o muchie corespunzătoare de lungime minimă (x', y) ; se adaugă (x', y) la T .
- *H2* – Se caută un terminal $y \in N - V'$ care minimizează $dist(x, y)$ pentru orice $x \in V'$, și se selectează terminalul $x' \in V'$ care produce o muchie corespunzătoare de lungime minimă (x', y) ; se adaugă (x', y) la T .
- *H3* – Se caută o pereche de terminale $x \in V'$ și $y \in N - V'$ care produce o muchie corespunzătoare de lungime minimă (x, y) ; se adaugă (x, y) la T .

Complexitatea algoritmului *PRIML*, ca și a variantelor *H1* și *H2*, este $O(n^2)$, iar a variantei *H3* este de $O(n^3)$. În cazurile cele mai defavorabile, acești algoritmi pot avea însă un raport de performanță mai redus decât cazul optim, raport pentru care nu se poate stabili o limită sub forma unei constante. Cong *et al.* [60] au elaborat de asemenea un algoritm de rutare orientat pe performanțe pentru care o asemenea limită poate fi definită. Acest algoritm se bazează pe o combinație a construirii unui arbore de acoperire minim și a unui arbore cu cale minimă.

Ideea principală a algoritmului este de a se construi un subgraf Q care acoperă N , având atât un cost total redus, cât și o rază redusă. Atunci arborele căii celei mai scurte al subgrafului Q va avea de asemenea un cost redus și o rază redusă, și va corespunde unei soluții eficiente de rutare. Algoritmul poate fi descris astfel:

- Se determină arborele căii celei mai scurte *SPT_G* (*shortest path tree*) al grafului de rutare G , și se determină arborele de acoperire minim *MST_G* al grafului G . Se inițializează graful Q ca fiind egal cu *MST_G*.
- Fie L secvența de vârfuri corespunzătoare unei traversări în adâncime a arborelui *MST_G*, unde fiecare muchie a *MST_G* este traversată de două ori. Costul total al muchiilor pentru această traversare este dublul costului arborelui *MST_G*.

- Se traversează L , actualizând de fiecare dată costul total S al muchiilor traversate. La fiecare nod L_i , se testează dacă S este mai mare decât $\varepsilon \cdot \text{dist}_G(s, L_i)$. Dacă da, se resetează S la 0 și se adaugă $\text{cale_min}_G(s, L_i)$ la Q . Se continuă traversarea L , repetând acest proces.
- Arborele de rutare final este SPT_Q , arborele căii minime al grafului Q .

O descriere formală a algoritmului este prezentată în Figura 5.18.

```

Algorithm  $BRMST(G, s, R, \varepsilon)$ ;
begin
  Se determină arborele de acoperire minim  $MST_G$  și arborele căii celei mai scurte  $SPT_G$ ;
   $Q = MST_G$ ;
   $L =$  traversare în adâncime a arborelui  $MST_G$ ;
   $S = 0$ ;
  for ( $i = 1$ ) to  $|L| - 1$  do
     $S = S + \text{cost}(L_i, L_{i+1})$ ;
    if ( $S \geq \varepsilon \cdot \text{dist}_G(s, L_{i+1})$ ) then
       $Q = Q \cup \text{cale\_min}_G(s, L_{i+1})$ ;
       $S = 0$ ;
    endif;
  endfor;
   $T =$  arborele căii celei mai scurte al grafului  $Q$ ;
end.

```

Figura 5.18. Algoritmul $BRMST$ pentru construirea unui arbore de acoperire cu rază limitată, T , pentru $G = (V, E)$, cu sursa $s \in V$ și raza R , utilizând parametrul ε .

În [60] se arată că pentru orice ε fixat algoritmul generează un arbore de rutare cu raza și costul total limitate simultan de un factor constant față de cazul optim, pe baza următoarelor două teoreme.

Teorema 5.1. Pentru orice graf ponderat G și orice parametru ε , arborele de rutare T construit de algoritmul $BRMST$ are o rază $r(T) \leq (1 + \varepsilon) \cdot R$.

Teorema 5.2. Pentru orice graf ponderat G și orice parametru ε , arborele de rutare T construit de algoritmul $BRMST$ are un cost $\text{cost}(T) \leq (1 + (2/\varepsilon)) \cdot \text{cost}(MST_G)$.

Metoda descrisă în algoritmul $BRMST$ se poate generaliza pentru formularea problemei de rutare prin arbori Steiner, obținându-se o limită a lungimii conexiunilor mai mare de $2 \cdot (1 + (2/\varepsilon))$ ori decât costul arborelui Steiner optim, menținându-se de asemenea limita de $(1 + \varepsilon) \cdot R$ pentru rază.

În planul Manhattan, limita pentru lungimea conexiunilor se poate îmbunătăți la $(3/2) \cdot (1 + (1/\varepsilon))$ față de cea optimă, iar în planul euclidian această limită se poate îmbunătăți suplimentar la $(2/\sqrt{3}) \cdot (1 + (1/\varepsilon))$ față de cazul optim.

5.5.3 Rutarea globală prin metoda călirii simulate

Prima aplicare a metodei de călire simulată pentru rutarea globală a fost raportată de Vecchi și Kirkpatrick, autorii formulând problema ca o programare liniară întreagă, unde capacitățile fiecărei muchii sunt egale cu unu [146]. Sunt considerate numai conexiuni cu două terminale. Funcția de cost utilizată este suma pătratelor încărcărilor tuturor regiunilor de rutare.

În această secțiune, se va descrie rutarea globală utilizată în pachetul de programe TimberWolf, elaborat de Sechen și Sangiovanni-Vincentelli [151]. Acest pachet este destinat plasării și rutării globale a circuitelor cu celule standard, cu două straturi metalice.

După faza de plasare inițială, programul TimberWolf continuă cu rutarea globală. Rutarea globală este soluționată în două etape. Obiectivul primei etape este asignarea unor conexiuni canalelor de rutare orizontale astfel încât să se minimizeze densitățile canalelor. La sfârșitul acestei etape, sunt identificate toate conexiunile care pot fi asignate unui canal adiacent. Scopul etapei a doua este de a încerca reducerea densității canalelor prin modificarea asignării canalelor pentru conexiunile identificate anterior.

După rutarea globală, TimberWolf execută rafinarea plasării prin interschimbarea aleatoare a celulelor învecinate. După fiecare interschimbare, se execută ambele etape ale rutării globale pentru rerutarea conexiunilor afectate de interschimbare. Metoda călirii simulate este utilizată numai în a doua etapă a rutării globale, ca și în faza de rafinare a plasării.

A. Prima etapă

În această etapă se utilizează o metodă secvențială independentă de ordine. Conexiunile sunt luate în considerare una câte una și sunt rutate.

Se descrie mai întâi terminologia utilizată în cadrul algoritmului.

Un *grup de pini* reprezintă pinii unei celule date care sunt conectați intern. Pinii aceluiași grup sunt echivalenți. Coordonata x a unui grup de pini P este egală cu media coordonatelor x ale pinilor constituenți, deci:

$$x(P) = \frac{1}{|P|} \times \sum_{i \in P} x(i) \quad (5.1)$$

Acest concept este ilustrat în Figura 5.19.

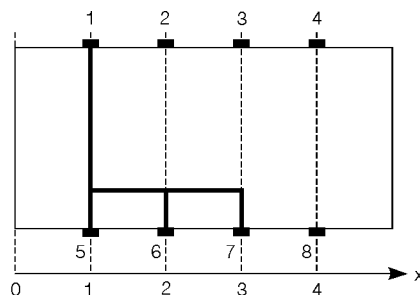


Figura 5.19. Ilustrarea conceptului grupului de pini: $P = \{1, 5, 6, 7\}$ și $x(P) = \frac{1+1+2+3}{4} = \frac{7}{4}$.

O porțiune a unei conexiuni între două grupuri de pini, de exemplu P_1 și P_2 , se numește un *segment de conexiune*. Dacă P_1 și P_2 aparțin la două celule diferite plasate pe același rând și ambele au pini pe marginile de sus și de jos ale celulelor, atunci segmentul de conexiune dintre cele două grupuri este numit un *segment comutabil*. Deci, un segment comutabil poate fi asignat canalului de rutare aflat deasupra sau dedesubtul rândului de celule. Decizia de asignare a fiecărui segment de conexiune unui anumit canal este bazată pe funcția de cost.

Funcția de cost utilizată este egală cu suma densităților totale ale canalelor, deci

$$D = \sum_{\forall c} d(c) \quad (5.2)$$

unde $d(c)$ este densitatea canalului c , care este egală cu numărul conexiunilor asigurate canalului.

Algoritmul de rutare globală din prima etapă este compus din patru pași distincți care sunt execuțai pentru fiecare conexiune.

1. *Inițializare.* Se identifică toate grupurile de pini ale conexiunii, și se determină coordonatele x ale acestora. Grupurile de pini sunt sortate apoi după coordonatele x ale acestora, în ordine crescătoare.
2. *Construirea unui graf al grupurilor de pini.* Nodurile acestui graf modelează grupurile de pini, iar muchiile modelează conexiunile posibile (segmentele de conexiune) între grupurile de pini corespunzătoare.
3. *Construirea unui arbore de acoperire minim.* În acest pas, se utilizează algoritmul Kruskal pentru construirea unui arbore de acoperire minim al grafului grupurilor de pini.
4. *Identificarea segmentelor de conexiune.* În acest pas, sunt selectai pini individuali din cadrul grupurilor de pini pentru a forma segmentele de conexiune. Dacă segmentul de conexiune este comutabil, sunt selectate două perechi de pini, o pereche pentru rândul de sus, iar cealaltă pentru rândul de jos.

B. Etapa a doua

În această etapă, se utilizează tehnica de căutare a călirii simulate pentru rafinarea soluției rutării globale determinate prin algoritmul secvențial din prima etapă. Sunt luate în considerare pentru rerutare numai segmente de conexiuni comutabile. Algoritmul metodei de călire simulată a fost descris în Capitolul 3. În această secțiune se va descrie funcția de cost utilizată și modul în care se generează soluțiile.

Obiectivul acestei etape este minimizarea densităților totale ale canalelor, conform ecuației (5.2). Funcția *generate* utilizată pentru obținerea unor noi soluții se execută astfel. Se selectează mai întâi un segment de conexiune comutabil, în mod aleator. Apoi, se comută asignarea canalului pentru segmentul selectat, de la canalul său curent la canalul opus. Dacă prin această comutare se reduce valoarea funcției de cost, comutarea este acceptată. Dacă noua soluție are același cost ca și cea precedentă, segmentul comutabil este asignat canalului cu densitatea cea mai mică. Scopul acestei decizii este de a se facilita rutarea detaliată.

5.5.4 Rutarea globală prin metoda programării întregi

Rutarea globală este formulată ca o problemă de programare întregă 0-1. Suprafața de rutare este modelată ca un graf de caroiaj, unde fiecare nod reprezintă o celulă de caroiaj (super-celulă) [146]. Se presupune că marginea dintre două celule de caroiaj adiacente l și k are o capacitate de $c_{l,k}$ piste. Aceasta corespunde unei ponderi pozitive $c_{l,k}$ a muchiei de legătură dintre nodurile l și k din graful de caroiaj. Pentru fiecare conexiune i , trebuie identificate modurile diferite de rutare ale conexiunii. Se presupune că pentru fiecare conexiune i există n_i arbori posibili de rutare $t_1^i, t_2^i, \dots, t_{n_i}^i$.

Fiecărui arbore t_j^i îi asociem o variabilă $x_{i,j}$, cu semnificația următoare:

$$x_{i,j} = \begin{cases} 1 & \text{dacă conexiunea } i \text{ este rutată conform arborelui } t_j^i \\ 0 & \text{în caz contrar} \end{cases} \quad (5.3)$$

Fiecărei conexiuni i îi asociem o ecuație pentru a impune ca un singur arbore să fie selectat pentru acea conexiune:

$$\sum_{j=1}^{n_i} x_{i,j} = 1 \quad (5.4)$$

Astfel, pentru un graf de caroiaj cu M muchii și T arbori, arborii de rutare ai tuturor conexiunilor se pot reprezenta printr-o matrice 0-1 $A_{M \times T} = [a_{i,p}]$, unde

$$a_{i,p} = \begin{cases} 1 & \text{dacă muchia } i \text{ aparține arborelui } t_j^i \text{ și lui } p, \text{ conform ecuației (5.6)} \\ 0 & \text{în caz contrar;} \end{cases} \quad (5.5)$$

$$p = \sum_{m=1}^{l-1} n_m + k, \quad (5.6)$$

și

$$T = \sum_{i=1}^N n_i \quad (5.7)$$

M fiind numărul de conexiuni.

Este necesar un al doilea set de ecuații pentru a se asigura că pentru fiecare muchie i , $1 \leq i \leq M$, nu se depășește capacitatea, deci

$$\sum_{k=1}^N \sum_{l=1}^{n_k} a_{i,p} \times x_{l,k} \leq c_i \quad (5.8)$$

În sfârșit, dacă fiecărui arbore t_j^i i se asociază un cost $g_{i,j}$, o funcție obiectiv posibilă care trebuie minimizată este

$$F = \sum_{i=1}^N \sum_{j=1}^{n_i} g_{i,j} \times x_{i,j} \quad (5.9)$$

Astfel, o formulare posibilă a rutării globale ca o problemă de programare întregă este:

$$\begin{cases} \min \sum_{i=1}^N \sum_{j=1}^{n_i} g_{i,j} x_{i,j} & \text{cu condițiile:} \\ \sum_{j=1}^{n_i} x_{i,j} = 1 & 1 \leq i \leq N \\ \sum_{k=1}^N \sum_{l=1}^{n_k} a_{i,p} x_{l,k} \leq c_i & 1 \leq i \leq M, p \text{ definit în (5.6)} \\ x_{k,j} = 0,1 & 1 \leq k \leq N, \text{ și } 1 \leq j \leq n_k \end{cases} \quad (5.10)$$

Formularea rutării globale ca o problemă de programare întregă este elegantă și elimină necesitatea ordonării conexiunilor. Metoda programării întregi poate găsi o asignare optimă globală a conexiunilor la regiunile de rutare. Această metodă are însă mai multe dezavantaje:

1. Este necesară identificarea mai multor arbori Steiner pentru fiecare conexiune, ceea ce poate necesita un timp ridicat. De asemenea, este dificilă enumerarea unui anumit număr de arbori Steiner pentru fiecare conexiune.
2. Arborii trebuie selectați astfel încât să se garanteze fezabilitatea problemei.
3. Există un număr mare de coeficienți $a_{i,j}$, ceea ce conduce la un număr mare de restricții.
4. Poate rezulta un sistem cu un număr foarte mare de ecuații.

Pentru rezolvarea unora din problemele amintite, metoda programării întregi a fost combinată cu diferite metode ierarhice. În cazul acestora, problema de rutare

globală este descompusă într-o ierarhie de subprobleme care sunt soluționate individual. Atunci când metoda programării întregi se combină cu o metodă de descompunere ierarhică, se pot obține timpi de execuție acceptabili și soluții de calitate superioară celor obținute prin alte metode.

5.6 Rutarea detaliată

Rutarea detaliată este etapa următoare rutării globale. În această etapă se asignează fiecărei conexiuni piste particulare din cadrul regiunilor de rutare. Rutarea detaliată se poate împărți în rutare detaliată *generală* și rutare detaliată *restricționată*. În cazul rutării generale se impun un număr foarte redus de restricții asupra problemei de rutare, și este rutată o singură conexiune la un moment dat. Pe de altă parte, rutarea restricționată necesită anumite constrângeri asupra problemei de rutare, ca de exemplu zone rectangulare libere cu toți pinii aflați la periferie. Rutarea detaliată restricționată se poate împărți la rândul ei în rutare prin *canale* și rutare prin *blocuri de comutare*.

În secțiunea 5.6.1 se prezintă rutarea detaliată generală: metoda rutării prin labirint și metoda căutării liniilor. În secțiunea 5.6.2 se prezintă rutarea prin canale. Este descris algoritmul marginii din stânga și algoritmi elaborați de Yoshimura și Kuh. Se prezintă de asemenea alte metode de rutare prin canale.

5.6.1 Rutarea detaliată generală

5.6.1.1 Rutarea labirint

O clasă de metode de rutare cu scop general care utilizează un model de grilă este reprezentată de rutarea labirint. Suprafața de rutare este împărțită în celule printr-o rețea de grile. Toate porturile și conexiunile sunt aliniate pe această grilă. Conectarea a două puncte se realizează prin determinarea unei secvențe de celule adiacente de la un punct la celălalt. Se conectează o singură pereche de puncte la un moment dat.

Unul din cei mai utilizați algoritmi pentru găsirea unei căi între două puncte pe o grilă cu obstacole este algoritmul introdus de Lee. O caracteristică a acestui algoritm este că dacă există o cale între două puncte, aceasta va fi găsită, și se garantează că aceasta este calea cea mai scurtă. Există trei faze în cadrul execuției algoritmului.

Prima fază constă în etichetarea grilei, fiind numită faza de umplere sau de propagare a undelor. Perechea de celule care trebuie conectate este etichetată cu S și T . În această fază, în timpul pasului i , celulele libere aflate la distanța Manhattan i de la celula S sunt etichetate cu i . Etichetarea continuă până când celula destinație T este marcată în pasul L , unde L este lungimea căii celei mai scurte, iar fiecare celulă de pe calea respectivă contribuie cu o unitate de lungime. Procesul de etichetare continuă până când în pasul i :

1. Se ajunge la celula T ; sau
2. Nu se ajunge la celula T și în pasul i nu există celule libere adiacente cu celulele etichetate $i - 1$; sau
3. Nu se ajunge la celula T și i devine egal cu M , unde M este limita superioară a lungimii unei căi.

Dacă se ajunge la celula T în pasul i , atunci există o cale de lungime i între punctele S și T . Pe de altă parte, dacă în pasul i nu există celule libere adiacente cu celulele etichetate cu $i - 1$, atunci calea cerută nu este găsită. Se poate fixa o limită su-

perioară asupra lungimii unei căi. Dacă $i = M$, unde M este această limită superioară a lungimii căii, și nu se ajunge la celula T , atunci calea cu cerința $L \leq M$ nu este găsită.

Faza de umplere începe prin etichetarea cu 1 a tuturor celulelor libere adiacente cu celula sursă S . Apoi, se etichetează cu 2 toate celulele libere adiacente cu cele etichetate cu 1. Acest proces continuă și se termină când apare una din cele trei condiții amintite. Procesul de umplere este ilustrat în Figura 5.20(a).

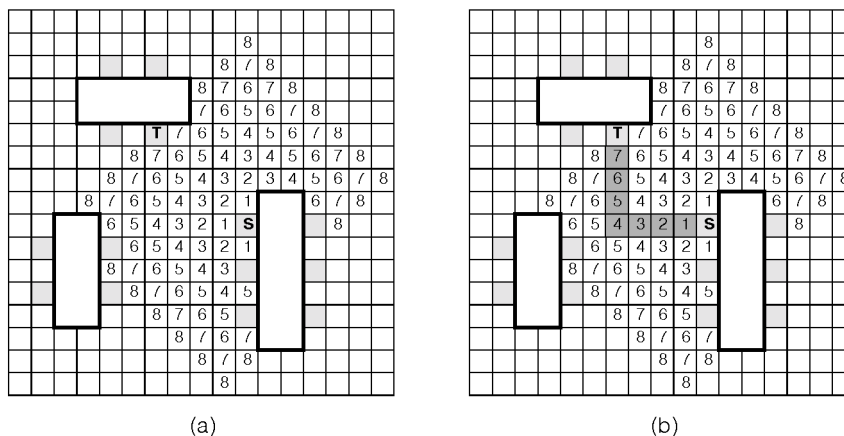


Figura 5.20. Algoritmul Lee. (a) Faza de umplere. (b) Faza de căutare a sursei.

A doua fază a algoritmului este numită faza de căutare a sursei. Această procedură este inversa procedurii de umplere. În această fază este găsită calea cea mai scurtă, după cum urmează. Dacă în pasul i s-a ajuns la celula T , va exista cel puțin o celulă adiacentă cu aceasta care conține eticheta $i - 1$. De asemenea, o celulă cu eticheta $i - 2$ va fi adiacentă cu una etichetată cu $i - 1$. În exemplul din Figura 5.20(a), deoarece la celula T s-a ajuns în pasul 8, va exista o celulă adiacentă etichetată cu 7. De asemenea, va exista cel puțin o celulă cu eticheta 6 adiacentă cu 7. Prin trăsarea celulelor numerotate în ordine descrescătoare de la T la S , se poate găsi calea cea mai scurtă dorită. Celulele hașurate din Figura 5.20(b) indică această cale pentru exemplul prezentat. În această fază, pot exista două sau mai multe celule cu eticheta $i - 1$ adiacente cu celula cu eticheta i . În mod teoretic, oricare din acestea poate fi selectată. În practică, regula recomandată este de a nu se schimba direcția numai dacă această schimbare este necesară. După găsirea căii dorite, celulele utilizate pentru conectarea celulelor S și T sunt considerate ocupate pentru interconexiunile următoare.

A treia fază este numită ștergerea etichetelor. În această fază etichetele tuturor celulelor, cu excepția celor utilizate pentru calea găsită, sunt șterse pentru interconexiunile următoare. Căutarea celulelor etichetate se realizează în modul în care are loc propagarea undelor.

În algoritmul Lee, dacă L este lungimea căii care trebuie găsită, timpul de procesare pentru faza de umplere este proporțional cu L^2 , în timp ce timpul de procesare pentru faza de căutare a sursei este proporțional cu L [146]. Astfel, complexitatea în timp a algoritmului este de $O(L^2)$ pentru fiecare cale. În plus, pentru un număr de $N \times N$ celule, algoritmul necesită o memorie de $O(N^2)$. De asemenea, este necesară o memorie temporară suplimentară pentru memorarea poziției celulelor în faza de propagare a undelor.

Există diferite extensii ale algoritmului Lee pentru reducerea cerințelor de memorie și a timpului de execuție. Unele dintre acestea sunt prezentate în continuare.

Pentru reducerea cerințelor de memorie, se observă în Figura 5.21 că pentru fiecare celulă etichetată cu k , toate celulele adiacente sunt etichetate fie cu $k - 1$, fie cu

$k + 1$. Astfel, în timpul fazei a doua este suficient dacă se pot distinge celulele predecesoare de celulele succesoare. Se utilizează diferite variante de etichetare bazate pe această idee. Două dintre ele sunt prezentate în continuare.

1. În prima variantă etichetarea începe, ca și la algoritmul obișnuit, cu celulele adiacente cu S etichetate cu 1, apoi cele adiacente cu 1 etichetate cu 2, și cele adiacente cu 2 etichetate cu 3. Apoi celulele adiacente cu 3 sunt etichetate din nou cu 1, și procesul continuă. Pentru etichetare se utilizează deci secvența 1,2,3, 1,2,3 Sunt necesari numai trei biți pentru fiecare celulă, deoarece există cinci stări în care se poate afla o celulă, și anume etichetată cu 1, 2 sau 3, liberă, sau blocată.
2. A doua variantă a fost propusă de Akers și constă din utilizarea secvenței 1,1, 2,2, 1,1, 2,2 Această variantă este cea mai economică, deoarece fiecare celulă se poate afla într-una din patru stări: etichetată cu 1, etichetată cu 2, liberă, sau blocată.

Timpul de execuție al algoritmului Lee este proporțional cu numărul de celule căutate în faza de umplere. Astfel, pentru a reduce numărul de celule care sunt etichetate, se pot utiliza următoarele tehnici.

1. *Selectarea punctului de început:* În cazul algoritmului Lee standard, oricare din cele două puncte care trebuie conectate se poate alege ca punct de început. Numărul de celule etichetate este mai redus dacă punctul ales ca punct de început este cel care se află cel mai departe de centrul grilei. Deoarece punctul de început este mai apropiat de marginea grilei, suprafața de propagare a undelor este mai redusă.
2. *Fan-out dublu:* În cazul acestei tehnici, în timpul fazei de umplere, undele sunt propagate atât de la celula sursă, cât și de la cea destinație. Etichetarea continuă până când se ajunge la un punct de contact între cele două unde. Cu această tehnică numărul de celule etichetate se reduce aproximativ la jumătate.
3. *Încadrare:* În această tehnică în jurul perechii de terminale care trebuie conectate se trasează o margine imaginară. Dacă nu se găsește nici o cale în interiorul zonei încadrate, marginea este extinsă și căutarea continuă. Această metodă crește viteza de căutare în mod considerabil.

Algoritmul Lee prezentat anterior conectează doi pini terminali utilizând calea cea mai scurtă de pe grilă. În cazul conexiunilor multipin, conectarea optimă a pinilor care aparțin aceleiași conexiuni se realizează cu ajutorul unui *arbore Steiner*. De multe ori obiectivul nu este de a găsi soluția minimă, ci o soluție care satisface anumite restricții ale lungimii conexiunilor. O soluție sub-optimă pentru cazul conexiunilor multipin poate fi obținută utilizând algoritmul Lee. Această metodă este prezentată în continuare.

În cazul algoritmului Lee clasic cele două puncte care trebuie interconectate au fost etichetate cu S (sursa) și T (destinația). Pentru cazul conexiunilor multipin, unul din terminale este considerat sursă, iar restul ca și destinații. O undă este propagată de la sursă până când se ajunge la oricare din destinații. Apoi este găsită calea care conectează sursa cu această destinație. În continuare, toate celulele din calea găsită sunt etichetate ca celule sursă, iar terminalele rămase neconectate sunt etichetate ca destinații. Procesul este repetat până când se ajunge la unul din destinațiile rămase. Se determină apoi calea cea mai scurtă de la destinația găsită la una din surse. Procesul este continuat până când sunt conectate toate terminalele.

Nu se garantează că interconexiunea obținută prin acest proces este de lungime minimă. O interconexiune mai scurtă între două puncte poate fi determinată utilizând următoarea tehnică simplă. Prin eliminarea oricărei muchii dintr-un arbore se obțin doi sub-arbori. Calea cea mai scurtă între sub-arbori poate fi determinată aplicând din nou algoritmul Lee, toate celulele dintr-un sub-arbore având rol de celule

sursă, iar cele din al doilea sub-arbore având rol de celule destinație. În cazul în care calea cea mai scurtă obținută are lungime mai mică decât lungimea segmentului eliminat, prin inserarea acestei noi căi se obține o interconexiune de lungime mai redusă. Aplicând această tehnică pentru segmentul dintre sub-arborele $A-E$ și sub-arborele $B-C-D$, se obține o interconexiune mai scurtă.

Rutarea labirint prezentată este foarte generală și poate fi modificată pentru rutarea circuitelor complexe cu obstacole. Această tehnică a fost utilizată cu succes în două programe de rutare, *Mighty* și *Beaver*. Programul *Mighty* este bazat pe o strategie de rutare incrementală, fiind elaborat de Shen și Sangiovanni-Vincentelli. Programul are posibilitatea de a modifica conexiunile deja rutate. Funcția de cost penalizează conexiunile lungi și cele care necesită orificii de trecere. Un alt program care utilizează rutarea labirint este *Beaver*, elaborat de Cohoon și Patrick. Se utilizează o coadă de priorități pentru a determina ordonarea conexiunilor. În plus, se utilizează controlul pistelor pentru a se preveni conflictele de rutare [146].

5.6.1.2 Rutarea prin metoda căutării liniilor

Unul din principalele dezavantaje ale algoritmului Lee și a variantelor sale este dimensiunea ridicată a memoriei necesare pentru reprezentarea suprafeței de rutare sub formă de grilă. Algoritmii de căutare a liniilor elimină acest dezavantaj.

Ideea principală a acestor algoritmi este următoarea. Presupunem două puncte S și T care trebuie conectate. Inițial presupunem că nu există obstacole pe suprafața de rutare. Dacă se trasează o linie verticală care trece prin S și o linie orizontală care trece prin T , cele două linii se vor intersecta și vor indica o cale Manhattan între S și T . Dacă există obstacole, trebuie efectuate operații suplimentare pentru a găsi o cale între S și T .

Spre deosebire de algoritmul Lee, care efectuează o căutare în lățime, algoritmi de căutare a liniilor efectuează o căutare în adâncime. De aceea, acești algoritmi nu garantează găsirea căii celei mai scurte, și pot necesita mai multe reveniri. În practică algoritmi de căutare a liniilor au o rată de completare a rutării similară cu algoritmul Lee, cu deosebirea că atât necesarul de memorie, cât și timpul de execuție este considerabil mai redus. Aceasta deoarece spațiul de rutare nu este memorat sub forma unei matrici, ci sub forma unor segmente de linii.

Primul algoritm de căutare a liniilor a fost propus de Mikami și Tabuchi. Acest algoritm este descris pe scurt în continuare. Fie S și T o pereche de terminale ale unei conexiuni, terminale aflate la o intersecție a unei grile imaginare. Primul pas constă în generarea a patru linii (două orizontale și două verticale) care trec prin S și T . Aceste linii sunt extinse până când întâlnesc anumite obstacole (de exemplu, o celulă plasată) sau marginea suprafeței. Dacă o linie generată de la terminalul S intersectează o linie generată de la terminalul T , atunci s-a găsit o cale fără nici o schimbare de direcție sau cu o schimbare de direcție. Dacă cele patru linii generate nu se intersectează, atunci ele sunt identificate ca și *linii de încercare* de nivel zero și sunt păstrate într-o memorie temporară. În fiecare pas i se execută următoarele operații.

1. Liniile de încercare de nivel i sunt selectate una câte una. De-a lungul fiecărei linii de încercare se trasează toate punctele de intersecție ale grilei (numite *puncte de bază*). Pornind de la aceste puncte de bază se generează noi linii de încercare perpendiculare pe linia de încercare i . Liniile generate sunt identificate ca și linii de încercare de nivel $i + 1$.
2. Dacă o linie de încercare de nivel $i + 1$ intersectează o linie de încercare (de orice nivel) care pornește de la celălalt terminal, calea cerută este găsită prin revenire de la punctul de intersecție la ambele puncte S și T . În caz contrar toate liniile de încercare de nivel $i + 1$ sunt memorate și procedura se repetă de la pasul 1.

Algoritmul garantează găsirea unei căi dacă aceasta există, cu condiția să se examineze toate liniile de încercare până la nivelul maxim de adâncime.

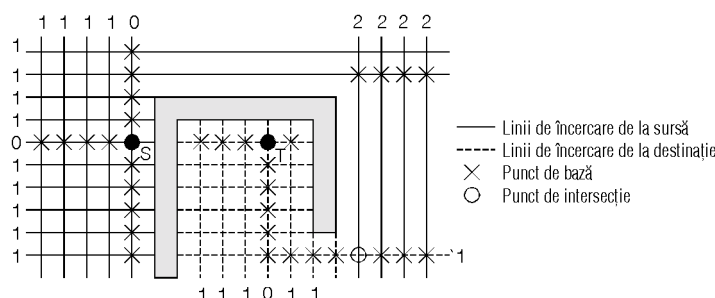


Figura 5.21. Rutarea prin algoritmul de căutare a liniilor Mikami-Tabuchi.

Figura 5.21 ilustrează un exemplu de determinare a unei căi prin aplicarea acestui algoritmului. În acest exemplu linia de încercare de nivel 1 care pornește de la punctul T intersectează o linie de încercare de nivel 2 care pornește de la punctul S .

Un alt algoritm de căutare a liniilor a fost propus de Hightower. Acest algoritm este similar cu algoritmul Mikami-Tabuchi. Diferența constă în faptul că în loc să se genereze toate segmentele de linii perpendiculare pe o linie de încercare, algoritmul Hightower consideră numai acele linii care se pot extinde dincolo de obstacolul care a blocat liniile de încercare precedente [146].

Atunci când suprafața de rutare nu este congestionată, este de așteptat ca timpul de execuție al acestor algoritmi să fie redus. În particular, este de așteptat ca timpul de execuție al algoritmului Hightower să fie proporțional cu numărul schimbărilor de direcție. O estimare a timpului de execuție într-un labirint complex este de $O(N^4)$, unde N este numărul de celule ale grilei imaginare. Astfel, necesarul de memorie al algoritmilor de căutare a liniilor este redus considerabil, dar timpul de execuție nu se îmbunătățește prea mult. De asemenea, pot fi necesare și reveniri (în urma aplicării unor secvențe necorespunzătoare de linii de încercare).

5.6.2 Rutarea prin canale

Rutarea prin canale este un caz special al problemei de rutare în care interconexiunile sunt realizate într-o regiune dreptunghiulară fără obstrucții. Acest tip de rutare se utilizează pentru rețele de porți și celule standard. Rutarea prin canale este eficientă și simplă, garantând rutarea completă dacă dimensiunea canalelor este ajustabilă.

5.6.2.1 Definirea problemei de rutare prin canale

Un canal de rutare este definit printr-o regiune dreptunghiulară cu două rânduri de terminale de-a lungul marginilor de sus și de jos. Fiecărui terminal i se asociază un număr între 0 și M . Aceste numere reprezintă etichetele punctelor unei grile verticale, puncte aflate pe marginile de sus și de jos ale regiunii dreptunghiulare, după cum se indică în Figura 5.22. Terminalele având aceeași etichetă i ($1 \leq i \leq M$) trebuie conectate prin interconexiunea i . Zerourile indică faptul că punctul corespunzător nu trebuie conectat. Lista de conexiuni este reprezentată de obicei prin doi vectori TOP și BOT. $TOP(k)$ și $BOT(k)$ reprezintă punctele grilei de pe marginile de sus, respectiv de jos ale canalului în coloana k .

În general sunt disponibile două sau trei straturi pentru rutare. În continuare se va presupune cazul rutării cu două straturi (numită și rutare H-V). Segmentele de con-

exiuni horizontale numite *trunchiuri* sunt dispuse de-a lungul pistelor, iar segmentele de conexiuni verticale numite *ramuri* conectează trunchiurile la terminale, după cum se indică în Figura 5.22.

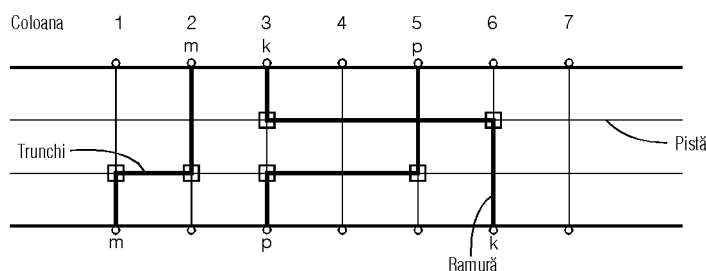


Figura 5.22. Canale, terminale, trunchiuri și ramuri.

Sarcina programului de rutare prin canale este de a specifica pentru fiecare conexiune un set de segmente de interconectare orizontale și verticale, ale căror puncte de sfârșit se află pe terminale sau pe pistele canalului. În cazul celulelor standard, obiectivul este de a se utiliza un număr minim de piste pentru efectuarea rutării complete. De aceea, numărul de piste necesare trebuie determinat de programul de rutare. În cazul rețelelor de porți obiectivul este de a se finaliza rutarea utilizând un număr specificat de piste.

Dacă două segmente orizontale aparținând unor conexiuni diferite nu se suprapun, ele pot fi asignate aceleiași piste. În cazul în care acestea se suprapun, ele trebuie asignate unor piste diferite. În Figura 5.22, segmentul orizontal al conexiunii m nu se suprapune cu segmentul conexiunii p , dar segmentele orizontale ale conexiunilor k și p se suprapun. Există deci constrângeri orizontale asupra conexiunilor.

De asemenea, două conexiuni nu trebuie să se suprapună la o coloană verticală. În Figura 5.22, terminalul corespunzător conexiunii k apare în partea de sus a coloanei 3, iar terminalul corespunzător conexiunii p apare în partea de jos. Trunchiul conexiunii k trebuie plasat deasupra trunchiului conexiunii p . Astfel, există și constrângeri verticale asupra conexiunilor.

5.6.2.2 Grafuri de constrângeri

Fiecărei probleme de rutare prin canale i se pot asocia două grafuri de constrângeri, dintre care una modelează constrângerile orizontale, iar cea de-a doua modelează constrângerile verticale. În cazul ambelor grafuri, fiecare conexiune este reprezentată printr-un vârf.

Graful constrângerilor orizontale $GCH(V, E)$ este un graf nedirecționat în care un vârf $i \in V$ reprezintă conexiunea i și muchia $(i, j) \in E$ dacă segmentele orizontale ale conexiunii i și conexiunii j se suprapun.

Graful constrângerilor verticale $GCV(V, E)$ este un graf direcționat în care fiecare nod $i \in V$ corespunde conexiunii i , și fiecare coloană verticală introduce o muchie $(i, j) \in E$ dacă și numai dacă conexiunea i are un pin în partea de sus a canalului și conexiunea j are un pin în partea de jos a canalului, în aceeași coloană. Astfel, dacă există un ciclu în graful GCV , cerințele de rutare nu pot fi realizate fără divizarea unor conexiuni.

Considerăm lista de conexiuni din Figura 5.23, pentru care vom construi grafurile GCH și GCV . Lista de conexiuni poate fi reprezentată prin doi vectori TOP și BOT definiți prin $TOP = [0, 1, 6, 1, 2, 3, 5]$ și $BOT = [6, 3, 5, 4, 0, 2, 4]$. Pentru a determina dacă două segmente orizontale ale conexiunilor se suprapun se definește setul $S(i)$ al co-

nexiunilor ale căror segmente orizontale intersectează coloana i . Numărul de elemente din fiecare set se numește densitate locală. Deoarece segmentele orizontale ale conexiunilor distincte nu trebuie să se suprapună, segmentele orizontale a două conexiuni din orice set $S(i)$ nu trebuie plasate în aceeași pistă orizontală.

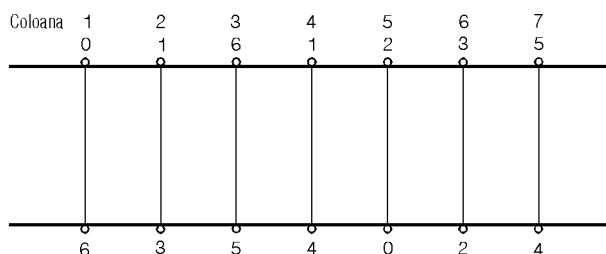


Figura 5.23. Listă de conexiuni.

Pentru exemplul considerat, valorile $S(i)$ sunt:

$$\begin{aligned} S(1) &= \{6\} & S(2) &= \{1, 3, 6\} & S(3) &= \{1, 3, 5, 6\} \\ S(4) &= \{1, 3, 4, 5\} & S(5) &= \{2, 3, 4, 5\} & S(6) &= \{2, 3, 4, 5\} \\ S(7) &= \{4, 5\} \end{aligned}$$

Deoarece elementele din $S(i)$ reprezintă trunchiuri ale acelor conexiuni care nu trebuie să se afle pe aceeași pistă orizontală, se pot elimina acele seturi care sunt deja subseturi ale altor seturi. De exemplu, $S(1) = \{6\}$ și $S(2) = \{1, 3, 6\}$ sunt subseturi ale $S(3) = \{1, 3, 5, 6\}$. Seturile rămase după eliminare se numesc *seturi maximale*. Pentru exemplul considerat, seturile maximale sunt:

$$S(3) = \{1, 3, 5, 6\} \quad S(4) = \{1, 3, 4, 5\} \quad S(5) = \{2, 3, 4, 5\}$$

Graful GCH este construit prin plasarea unei muchii între vârfurile i și j dacă ambele aparțin aceluiași set $S(k)$, pentru un anumit k . De exemplu, pentru $S(3) = \{1, 3, 5, 6\}$ se plasează muchii între vârfurile $(1,3)$, $(1,5)$, $(1,6)$, $(3,5)$, $(3,6)$ și $(5,6)$. Graful GCH este prezentat în Figura 5.24(a).

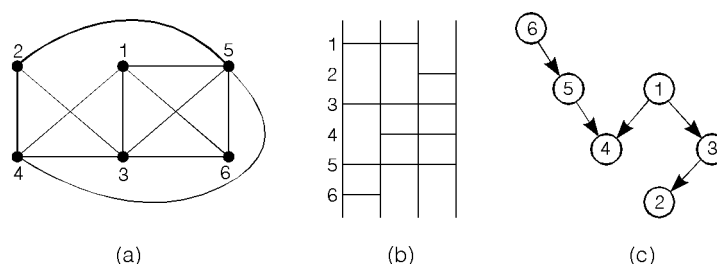


Figura 5.24. (a) Graf al constrângerilor orizontale. (b) Reprezentarea zonelor. (c) Graf al constrângerilor verticale.

O reprezentare alternativă pentru GCH este reprezentarea prin zone, care este o reprezentare grafică a seturilor maximale $S(i)$. Fiecare set $S(i)$ este reprezentat printr-o coloană și elementele seturilor maximale $S(i)$ sunt reprezentate prin segmente de linii după cum se arată în Figura 5.24(b). În Figura 5.24(b) există trei coloane corespunzătoare celor trei seturi maximale $S(3)$, $S(4)$ și $S(5)$. Prima coloană are patru segmente de linii orizontale la 1, 3, 5 și 6, corespunzătoare elementelor setului maximal $S(3)$.

Construirea grafului *GCV* este mai simplă. Pentru fiecare coloană k a canalului care nu conține un zero în $TOP(k)$ și nici în $BOT(k)$ se trasează o muchie direcționată de la vârful $TOP(k)$ la vârful $BOT(k)$. De exemplu, în lista de conexiuni dată, $TOP(2) = 1$ și $BOT(2) = 3$. De aceea, *GCV* va avea o muchie de la vârful 1 la vârful 3. Similar, va exista o muchie de la vârful 6 la vârful 5. Întregul graf este arătat în Figura 5.24(c).

5.6.2.3 Algoritmul marginii din stânga

Cele mai multe soluții ale problemei de rutare prin canale se bazează pe algoritmul marginii din stânga, existând diferite extensii și variații ale acestei tehnici. În această secțiune se va prezenta algoritmul de bază. Acest algoritm de rutare a fost propus de Hashimoto și Stevens. Algoritmul încearcă să maximizeze plasarea segmentelor orizontale în fiecare pistă. Segmentele conexiunilor sunt sortate în ordine crescătoare a distanței marginii din stânga a acestora față de marginea din stânga a canalului. Algoritmul de bază impune restricția ca fiecare conexiune să fie formată dintr-un singur trunchi, și ca trunchiurile (segmentele orizontale) să fie rutate pe un strat, iar ramurile (segmentele verticale) să fie rutate pe celălalt strat. În absența constrângerilor verticale, algoritmul generează o soluție cu un număr minim de piste dat de $\max_i |S(i)|$, care este de asemenea limita inferioară a numărului de piste.

Procedura de asignare a trunchiurilor la segmente este următoarea. După sortarea conexiunilor în modul descris mai sus, algoritmul selectează trunchiul corespunzător primei conexiuni și îl plasează în prima pistă de jos, eliminând apoi conexiunea din listă. Algoritmul parcurge apoi lista rămasă pentru a găsi prima conexiune care nu se suprapune cu conexiunea plasată. Dacă o asemenea conexiune este găsită, ea este plasată în aceeași pistă. Procesul este repetat până când nu se mai pot plasa conexiuni în prima pistă. Algoritmul continuă apoi cu plasarea conexiunilor în pista 2 și apoi în celelalte piste, până când vor fi plasate toate conexiunile din listă. Algoritmul este cunoscut și cu denumirea de *algoritmul marginii din stânga fără restricții*, fiind descris în Figura 5.25.

Algorithm Rutare prin canale fără restricții;

begin

Pas 1. Se sortează conexiunile după pozițiile lor din stânga;

Pas 2. Se selectează conexiunea cu poziția cea mai din stânga;
Se plasează această conexiune pe pista cea mai de jos disponibilă;
Se elimină conexiunea din listă;

Pas 3. Se continuă parcurgerea listei și se selectează din listă conexiuni care nu se suprapun cu conexiunile asignate acestei piste;
Se plasează conexiunile în pista curentă și se elimină din listă;

Pas 4. **if** ($lista \neq \phi$) **then goto** Pas 2;

Pas 5. **exit**;

end.

Figura 5.25. Algoritmul marginii din stânga fără restricții.

În absența constrângerilor verticale soluția descrisă anterior este acceptabilă. De obicei există însă constrângeri verticale, și ignorarea lor ar crea scurtcircuite între conexiuni.

Un algoritm care ține cont de restricțiile verticale este *algoritmul marginii din stânga cu restricții* elaborat de Perskey, Deutch și Schweikert. Ca și în cazul precedent, segmentele orizontale sunt plasate în piste începând din colul din stânga jos al regiunii de rutare. Algoritmul va plasa un segment orizontal al unei conexiuni numai dacă această conexiune nu are descendenți în graful constrângerilor verticale. Algoritmul este ilustrat în Figura 5.26.

```

Algorithm Rutare_prin_canale_cu_restricții;
begin
Pas 1. Se sortează conexiunile după pozițiile lor din stânga;
Pas 2. Se selectează următoarea conexiune  $n$  cu poziția cea mai din stânga;
      if ( $n$  nu are descendenți în  $GCV$ ) then
          Se plasează  $n$  pe pista cea mai de jos disponibilă;
          Se elimină  $n$  din lista sortată;
          Se elimină  $n$  din  $GCV$ ;
      else goto Pas 2;
      endif;
Pas 3. Se continuă parcurgerea listei și se selectează din listă conexiuni care nu se
      suprapun cu conexiunile asignate acestei piste și nu au descendenți în  $GCV$ ;
      Se plasează conexiunile în pista curentă și se elimină din listă;
Pas 4. if ( $lista \neq \emptyset$ ) then goto Pas 2;
Pas 5. exit;
end.

```

Figura 5.26. Algoritmul marginii din stânga cu restricții.

5.6.2.4 Algoritmii Yoshimura și Kuh

Dacă există o cale $n_1-n_2-n_3-\dots-n_k$ în graful constrângerilor verticale, atunci nu pot fi plasate două conexiuni dintre $\{n_1, n_2, n_3, \dots, n_k\}$ în aceeași pistă. Astfel, dacă cea mai lungă cale din punctul de vedere al numărului de noduri este k , sunt necesare cel puțin k piste orizontale pentru realizarea interconexiunilor.

În această secțiune se prezintă doi algoritmi propuși de Yoshimura și Kuh. Primul algoritm utilizează graful GCV și reprezentarea prin zone a grafului GCH , încercând să minimizeze calea cea mai lungă din GCV . Aceasta se realizează prin fuzionarea nodurilor din GCV (care corespund conexiunilor), astfel încât după fuzionare lungimea căii celei mai lungi este minimizată. Această fuzionare este realizată cu scopul de a minimiza densitatea canalelor. Al doilea algoritm propus de Yoshimura și Kuh realizează minimizarea căii celei mai lungi prin tehnici de combinare într-un graf bipartit.

Fie i și j două conexiuni pentru care

1. nu există suprapunere orizontală în reprezentarea prin zone a grafului GCV , și
2. nu există o cale direcționată între nodul i și nodul j în graful GCV .

Aceasta înseamnă că cele două conexiuni i și j pot fi plasate în aceeași pistă orizontală. Operația de fuzionare a conexiunii i și a conexiunii j are ca rezultat următoarele:

1. Se modifică graful GCV prin fuzionarea nodului i și a nodului j într-un singur nod $i \cdot j$.
2. Se actualizează reprezentarea prin zone prin înlocuirea conexiunii i și a conexiunii j prin conexiunea $i \cdot j$ care ocupă zonele consecutive inclusiv cele ale conexiunii i și ale conexiunii j .

Dacă graful GCV original nu are cicluri, atunci nici graful GCV actualizat cu nodurile unite nu va avea cicluri [146]. Deoarece se presupune că nu există cicluri în graful GCV inițial, se poate repeta operația de fuzionare a conexiunilor fără a genera nici un ciclu în graf. Algoritmul descris în Figura 5.27 realizează fuzionarea sistematică a conexiunilor conform reprezentării prin zone.

```

Algorithm Fuzionare1( $z_s, z_t$ );
begin
Pas 1.  $L = \{\}$ ;  $z_s =$  zona cea mai din stânga;  $z_t =$  zona cea mai din dreapta;
Pas 2. for  $z = z_s$  to  $z_t$  do
Pas 3.  $L = L + \{\text{conexiuni care se termină în zona } z\}$ ;
Pas 4.  $R = \{\text{conexiuni care încep în zona } z + 1\}$ ;
Pas 5. Se fuzionează  $L$  și  $R$  astfel încât să se minimizeze creșterea
căii celei mai lungi în graful constrângerilor verticale;
Pas 6.  $L = L - \{n_1, n_2, \dots, n_j\}$ , unde  $\{n_1, n_2, \dots, n_j\}$  sunt
conexiunile fuzionate în pasul 5;
endfor;
end.

```

Figura 5.27. Primul algoritm pentru fuzionarea conexiunilor

Pasul principal al algoritmului din Figura 5.27 este Pasul 5, în care sunt selectate și fuzionate două seturi de conexiuni. Procesul de fuzionare se execută astfel. Se modifică mai întâi graful GCV prin adăugarea a două noduri artificiale s (sursă) și t (destinație), și a unor arce de la s la noduri fără predecesori și de la noduri fără succesori la t .

Fie $P = \{n_1, n_2, \dots, n_p\}$ și $Q = \{m_1, m_2, \dots, m_q\}$ ($p > q$) cele două seturi de conexiuni candidate pentru fuzionare, unde elementele din P se află pe o cale verticală separată de cea a elementelor din Q . Fie $u(n)$, $n \in P \cup Q$, lungimea căii celei mai lungi de la s la n , și $d(n)$, $n \in P \cup Q$, lungimea căii celei mai lungi de la n la t .

Atunci când sunt fuzionate două noduri $n \in P$ și $m \in Q$, care se află pe două căi separate de la s la t , lungimea căii celei mai lungi va crește sau va rămâne aceeași. Creșterea exactă, notată cu $h(n, m)$, este dată de:

$$h(n, m) = h^{\max}(n, m) - \max \{u(n) + d(n), u(m) + d(m)\} \quad (5.11)$$

unde $h^{\max}(n, m) = \max \{u(n), u(m)\} + \max \{d(n), d(m)\}$ [146].

Scopul principal este minimizarea lungimii căii celei mai lungi după fuzionare. Timpul necesar pentru găsirea unei fuzionări cu o creștere minimă este însă ridicat. Yoshimura și Kuh au propus un algoritm euristic pentru fuzionare. În acest algoritm, se alege mai întâi un nod $m \in Q$ aflat pe calea cea mai lungă. În plus, acest nod se află cel mai departe de s , cât și de t . Apoi, se alege un nod $n \in P$ astfel încât creșterea căii celei mai lungi după fuzionare să fie minimă. Dacă există mai multe asemenea noduri, este selectat nodul n astfel încât $u(n) + d(n)$ să fie aproape maxim și condiția $\frac{u(m)}{d(m)} = \frac{u(n)}{d(n)}$ să fie aproape satisfăcută. Această euristică este implementată prin introducerea următoarelor funcții:

1. Pentru fiecare $m \in Q$,

$$f(m) = C_{\infty} \times \{u(m) + d(m)\} + \max \{u(m), d(m)\}, \quad C_{\infty} \gg 1$$

2. Pentru fiecare $n \in P$, și fiecare $m \in Q$,

$$g(n, m) = C_{\infty} \times h(n, m) - \{\sqrt{u(m) \times u(n)} + \sqrt{d(m) \times d(n)}\}$$

O descriere formală a algoritmului de fuzionare corespunzător pasului 5 din Figura 5.27 este prezentată în Figura 5.28.

În cadrul algoritmului din Figura 5.28 este posibil ca fuzionarea conexiunilor să blocheze fuzionări ulterioare. Pentru a se evita pe cât posibil această situație și pentru ca algoritmul să fie mai flexibil, Yoshimura și Kuh au introdus un alt algoritm. În acest algoritm este construit un graf bipartit G_h , în care un nod reprezintă o conexiune și o muchie între nodul a și nodul b indică faptul că cele două conexiuni a și b pot fi fuzi-

onate. O fuzionare este exprimată printr-o combinație în graf, care este actualizat în mod dinamic.

```

Algorithm Fuzionare2( $P, Q$ );
begin
  while  $Q \neq 0$  do
    Se determină  $m^*$  din  $Q$  care maximizează  $f(m)$ ;
    Se determină  $n^*$  din  $P$  care minimizează  $g(n, m^*)$ , și care
    nu este nici predecesor nici succesor al  $m^*$ ;
    Se fuzionează  $n^*$  și  $m^*$ ;
    Se elimină  $n^*$  și  $m^*$  din  $P$ , respectiv din  $Q$ ;
  endwhile;
end.

```

Figura 5.28. Al doilea algoritm pentru fuzionarea conexiunilor.

5.6.2.5 Alte metode de rutare prin canale

Algoritmul marginii din stânga nu poate fi aplicat în cazul în care există cicluri în graful GCV . Deutch a propus un algoritm pentru evitarea buclilor constrângerilor verticale și pentru reducerea densității canalului. Aceasta se realizează prin divizarea segmentelor orizontale ale unei conexiuni, cu efectul minimizării numărului de piste orizontale. Divizarea orizontală a unei conexiuni poate fi realizată numai în pozițiile terminalelor, nefiind permise piste verticale adiționale. Algoritmul Deutch divizează fiecare conexiune multipin în segmente orizontale individuale. Utilizând noul graf GCV creat, în continuare algoritmul se execută similar cu algoritmul marginii din stânga cu restricții [146].

O euristică de tip *greedy* pentru rutarea prin canale a fost propusă de Rivest și Fiduccia. Acest algoritm rutează canalul coloană cu coloană începând din stânga. În fiecare coloană algoritmul aplică o secvență de euristici inteligente pentru maximizarea numărului de piste disponibile în următoarea coloană. Nu se utilizează constrângeri orizontale sau verticale, deciziile fiind luate local, la nivelul coloanei. Algoritmul poate rezolva problema de rutare chiar în cazul existenței ciclurilor în graful GCV . Rutarea este terminată întotdeauna, uneori fiind necesare coloane adiționale la sfârșitul canalului. Spre deosebire de alți algoritmi de rutare prin canale, în cazul acestei tehnici o conexiune poate ocupa două piste diferite până când algoritmul va decide unirea acestora.

Considerând un exemplu al problemei de rutare prin canale, cu $TOP = [5,4,3,2,1,6]$ și $BOT = [1,2,4,3,5,6]$, această problemă poate fi specificată de asemenea ca $TOP = [1,2,3,4,5,6]$ și $BOT = [5,4,2,3,1,6]$, unde etichetele terminalelor din TOP au fost reordonate pentru a fi în ordine crescătoare, fiind efectuate modificările corespunzătoare etichetelor din BOT . Conexiunile din BOT sunt o permutare a secvenței din TOP . Două permutări p_i și p_{i+1} se numesc adiacente dacă problema de rutare obținută prin asignarea permutării p_i părții de jos a canalului și a permutării p_{i+1} părții de sus a canalului, poate fi rutată într-o pistă. Exemple de permutări adiacente sunt ilustrate în Figura 5.29.

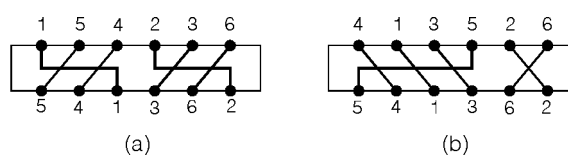


Figura 5.29. Exemple de permutări adiacente.

Soluția problemei de rutare prin canale poate fi reprezentată ca o serie de permutări $\{p_i\}$, $i = 1, 2, \dots, w$, astfel încât p_1 este permutarea dată (BOT) și $p_w = (1, 2, \dots, n)$ (TOP), iar p_i este adiacent cu p_{i+1} pentru $0 \leq i \leq w$. Problema de rutare se reduce atunci la găsirea unei serii de permutări adiacente intermediare $\{p_i\}$ astfel încât numărul de permutări w este minimizat.

O metodă de rutare bazată pe permutări este *rutarea prin interschimbare*, în care două conexiuni care au terminale adiacente într-o ordine necorespunzătoare sunt interschimbate. Pentru aceste conexiuni se poate utiliza rutarea X, după cum se indică în Figura 5.30. O serie de permutări adiacente pot fi realizate utilizând doar rutarea X. Aceasta corespunde factorizării permutării ca un produs de transpoziții. Rutarea se execută din partea de jos în cea de sus. Dacă (a_1, a_2, \dots, a_n) este permutarea de jos, se compară a_i și a_{i+1} pentru $i = 1, 3, 5, \dots, n$, și terminalele sunt interschimbate dacă $a_i > a_{i+1}$. În pasul următor procesul este repetat pentru $i = 2, 4, 6, \dots, n$. Acești pași sunt repetați până când toate terminalele sunt în ordinea corectă. Deoarece două conexiuni se încrucișează o singură dată dacă terminalele lor nu sunt în ordinea corectă, rutarea obținută prin această metodă este o soluție cu încrucișare minimă.

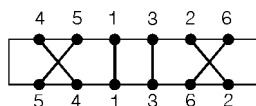


Figura 5.30. Rutarea X utilizată în cadrul metodei de rutare prin interschimbare.

Un algoritm de rutare prin canale bazat pe *sortare* a fost propus de Chaudry și Robinson [47]. Această metodă presupune că interconexiunile pot fi rutate nu numai orizontal și vertical, ci și la 45° și 135° . Algoritmul utilizează sortarea bubble. Într-un pas al acestei metode de sortare se interschimbă o pereche de numere o singură dată, în cazul în care acestea nu sunt în ordinea corectă. Astfel, ca și în cazul rutării prin interschimbare, rutarea obținută prin această metodă este o soluție cu încrucișare minimă. Deoarece într-un pas al sortării bubble cel puțin unul din numere își ocupă poziția finală, sunt necesari cel mult n pași pentru sortarea a n numere. Numărul de piste va fi deci maxim n , unde n este numărul de conexiuni.

Pentru rutarea prin canale cu straturi multiple au fost propuse diferite tehnici. Asemenea tehnici au fost propuse de Braun *et al.* [24], și acestea au fost implementate într-un program de rutare numit Chameleon. Aceste tehnici țin cont de diferite constrângeri tehnologice, de exemplu lățimea pistelor și spațierea dintre ele pot fi specificate independent pentru fiecare strat. Chameleon constă din două etape, un program de partiționare și unul de rutare detaliată. Rolul programului de partiționare este de a diviza problema în subprobleme pentru două și trei straturi astfel încât suprafața globală a canalului să fie minimizată.

O altă abordare a problemei de rutare prin canale cu trei straturi, bazată pe ideea transformării unei soluții cu două straturi într-una cu trei straturi a fost descrisă de Cong *et al.* [61]. Această transformare constă din mai multe etape care pot fi formulate ca probleme de planificare, rutare labirint, respectiv problema căii celei mai scurte. Deoarece aceste probleme au o complexitate polinomială, rutarea cu trei straturi poate fi rezolvată într-un mod optim. Cele mai multe din aceste tehnici pot fi extinse și pentru patru straturi.

O euristică pentru rutarea prin canale care asignează interconexiunile pistă cu pistă într-un mod greedy a fost propusă de Ho *et al.* [92]. Structura de date și strategia utilizată sunt simple și pot fi generalizate pentru obținerea unei clase de euristici pen-

tru rutarea prin canale. Acest algoritm are posibilitatea de revenire prin care cresc șansele de efectuare a rutării complete cu un număr minim de piste.

5.7 Rutarea circuitelor FPGA

Rutarea circuitelor FPGA este mai dificilă decât rutarea clasică, deoarece poziția segmentelor utilizate pentru interconexiuni este fixă, iar interconectarea segmentelor este posibilă numai în locuri predeterminate. La anumite arhitecturi FPGA cantitatea resurselor de rutare este redusă, ceea ce impune limitări asupra numărului alternativelor de rutare pentru o conexiune. Atunci când două sau mai multe conexiuni trec printr-un canal de rutare comun, există o competiție pentru resursele de rutare din acel canal. În cazul circuitelor FPGA cu o conectivitate limitată, rezolvarea conflictelor de rutare este esențială pentru obținerea unei rutări complete. De asemenea, s-a observat că performanțele circuitelor FPGA sunt limitate adesea de întârzierile de rutare, mai mult decât de întârzierile blocurilor și ale porților logice.

În secțiunile următoare se prezintă unele metode de rutare dezvoltate în mod special pentru circuitele FPGA. În secțiunea 5.7.1 se prezintă problema de rutare a circuitelor FPGA. În secțiunea 5.7.2 se descrie rutarea prin expandarea grafului grosier. În secțiunea 5.7.3 se descrie rutarea pe baza grafulor cu ponderi multiple. Se prezintă modelarea circuitului FPGA printr-un graf și se trece în revistă metoda 1-Steiner iterată și metoda Kou, Markowsky și Berman. Se descrie apoi metoda care permite optimizarea simultană a obiectivelor multiple.

5.7.1 Problema de rutare a circuitelor FPGA

Metodele obișnuite de rutare globală sau detaliată nu sunt adecvate pentru circuitele FPGA. Rutarea labirint este inefficientă, deoarece această metodă este secvențială și astfel, atunci când se rutează o conexiune, nu poate lua în considerare efectele pe care le are această rutare asupra altor conexiuni. Rutarea prin canale nu este adecvată, deoarece problema de rutare detaliată a circuitelor FPGA nu poate fi divizată în general în canale independente. Din aceste motive, sunt necesare metode specifice pentru rutarea circuitelor FPGA.

Algoritmii de rutare pentru circuitele FPGA trebuie să ia în considerare nu numai rutarea cu succes a tuturor conexiunilor, dar trebuie să țină cont și de numărul segmentelor de interconectare alocate pentru fiecare conexiune. Prima din aceste cerințe se referă la *rutabilitate*, iar a doua se referă la *performanțele de viteză* ale circuitelor implementate.

Problema de rutare a circuitelor FPGA poate fi definită astfel: Fiind dată o arhitectură FPGA împreună cu o configurație de asignare a pinilor blocurilor logice și o colecție de conexiuni între pini, să se ruteze toate conexiunile fără a se depăși resursele de rutare disponibile ale circuitului.

În cazul circuitelor VLSI, interconexiunile pot fi plasate în orice poziție disponibilă din cadrul regiunilor de rutare. De aceea, considerațiile principale în acest caz sunt de natură *geometrică* (minimizarea lungimii conexiunilor, evitarea coliziunilor cu alte conexiuni etc). În cazul circuitelor FPGA, arhitectura de rutare a acestora oferă un set limitat și fix de canale de rutare, și utilizarea unei piste dintr-un canal pentru o conexiune exclude utilizarea acesteia pentru rutarea altor conexiuni. De aceea, problema de rutare a circuitelor FPGA este de natură *combinatorială* (satisfacerea conectivității disponibile, menținerea fezabilității etc).

5.7.2 Rutarea prin expansiunea grafului

Această metodă de rutare detaliată a fost elaborată la Universitatea din Toronto, fiind implementată în cadrul programului de rutare *CGE* (*Coarse Graph Expansion*) [27]. Metoda poate lua în considerare efectele pe care le are rutarea unei conexiuni asupra celorlalte, având și posibilitatea de optimizare a întârzierilor de rutare pentru conexiunile critice. *CGE* presupune că în prealabil a fost efectuată rutarea globală cu scopul de a echilibra densitatea canalelor de rutare. Rezultatele arată că programul *CGE* poate ruta circuite de dimensiuni relativ mari utilizând un număr de piste apropiat de numărul minim determinat de programul de rutare globală.

În scopul aplicării unor tehnici bazate pe grafuri pentru rutare, circuitul FPGA trebuie modelat în prealabil printr-un graf, topologia acestui graf reflectând arhitectura completă a circuitului. Programul de rutare *CGE* poate fi utilizat pentru diferite arhitecturi de circuite constând dintr-o rețea bidimensională de celule logice interconectate prin canale de rutare verticale și orizontale. Modelul este prezentat în Figura 5.31, fiind format din trei tipuri de componente: celule logice (L), blocuri de conectare (C) și blocuri de comutare (S). O celulă logică are un număr de pini care se pot conecta la cele patru blocuri C adiacente. Celulele de I/E apar ca celule logice care se află la periferia circuitului.

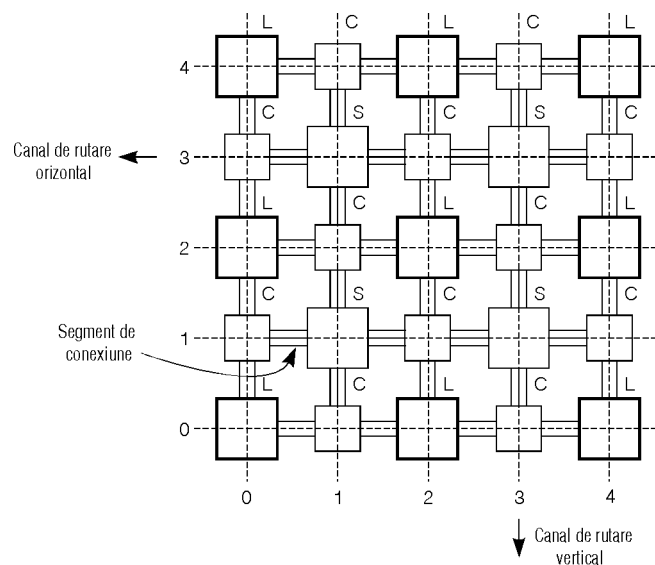


Figura 5.31. Modelul circuitului FPGA.

Blocurile S sunt utilizate pentru conectarea segmentelor de rutare dintr-un canal la cele dintr-un alt canal. În funcție de topologie, un segment dintr-o latură a unui bloc S poate fi conectat la toate sau o parte a segmentelor din celelalte laturi ale blocului S. O conexiune poate trece printr-un bloc S prin intermediul unui comutator, sau printr-o legătură directă. Structura generală a unui bloc S este ilustrată în Figura 5.32(a). Există două reprezentări pentru comutatoare, fie printr-o linie punctată pentru cele care conectează capetele a două segmente, fie printr-un \times pentru cele care trec direct prin blocul S. Pentru exemplul din Figura 5.32(a), comutatoarele blocului S permit conectarea pistelor orizontale notate cu 1, 2 și 3 la piste verticale cu aceleași numere. Deși exemplul din figură este specific, modelul circuitului tratează blocul S ca un bloc de comutare general care poate fi configurat într-un mod oarecare.

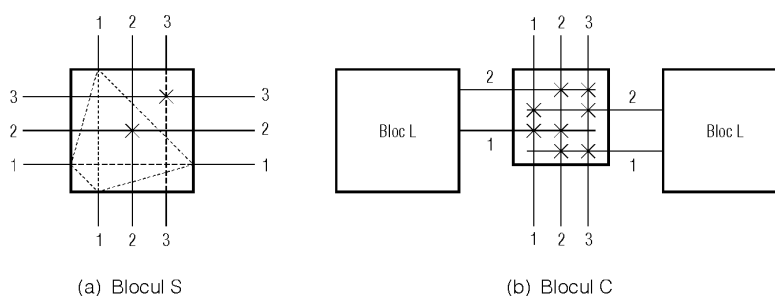


Figura 5.32. (a) Exemplu de bloc S. (b) Exemplu de bloc C.

Există doi parametri ai arhitecturii FPGA care determină configurația comutatoarelor dintr-un bloc S. Primul este segmentarea canalelor. Această segmentare poate fi specificată prin orice număr de grupuri de piste care au o anumită lungime de segmentare sau o distribuție probabilistică a lungimilor. Al doilea parametru, F_s , reprezintă flexibilitatea blocului și definește numărul celorlalte segmente de interconectare la care se poate conecta un segment care se termină la un bloc S. Pentru exemplul din Figura 5.32(a), segmentul din stânga sus a blocului S se poate conecta la alte trei segmente, astfel că F_s este 3.

Figura 5.32(b) ilustrează un bloc C. Blocurile C sunt utilizate pentru conectarea pinilor celulelor logice la canalele de rutare, prin comutatoare programabile. În funcție de topologia blocului C, pinii celulelor logice pot fi conectați la toate sau o parte din segmentele de interconectare care trec prin acest bloc. Flexibilitatea unui bloc C, F_c , este definită ca numărul segmentelor de interconectare la care se poate conecta fiecare pin al blocurilor logice. Pentru exemplul din figură, fiecare pin se poate conecta la 2 piste verticale, astfel încât F_c este 2. Conexiunile de-a lungul unui canal de rutare pot trece de asemenea direct printr-un bloc C, dar într-o arhitectură tipică nu va fi implicat nici un comutator programabil pentru asemenea conexiuni.

Rutarea globală utilizată este o adaptare a algoritmului de rutare *LocusRoute* pentru celule standard. Algoritmul împarte conexiunile multi-punct în conexiuni cu două puncte, pe care le rutează utilizând căi cu distanță minimă. Scopul principal al algoritmului este distribuirea conexiunilor între canale astfel încât densitățile canalelor să fie echilibrate.

În cadrul rutării globale se definește o cale de rutare grosieră pentru fiecare conexiune prin asignarea unei secvențe de segmente de canale conexiunii respective. Figura 5.33(a) ilustrează o reprezentare a unei căi de rutare tipice. Se indică o secvență de segmente care pot fi alese pentru conectarea unui pin din locația 2,2 a grilei cu un alt pin din locația 4,4. Calea globală reprezintă un graf grosier $G(V, A)$, unde celula logică din locația 2,2 este numită rădăcină a grafului, iar celula din locația 4,4 este numită frunză. Vârfulurile V și muchiile A ale grafului sunt identificate prin grila din Figura 5.31.

După rutarea globală, pentru fiecare conexiune cu două puncte programul de rutare detaliată trebuie să aleagă segmente de interconectare specifice pentru implementarea segmentelor de canale asignate în timpul rutării globale. Aceasta necesită informații complete despre arhitectura de rutare a circuitului FPGA, astfel încât CGE utilizează detalii despre blocurile logice, blocurile C și blocurile S.

Algoritmul de rutare CGE constă din două faze. În prima fază se memorează un număr de alternative pentru fiecare cale detaliată a grafurilor grosiere, iar apoi în faza a doua se efectuează alegeri specifice pentru fiecare conexiune. Se utilizează iterații multiple ale celor două faze în scopul reducerii necesarului de memorie și a timpului de execuție.

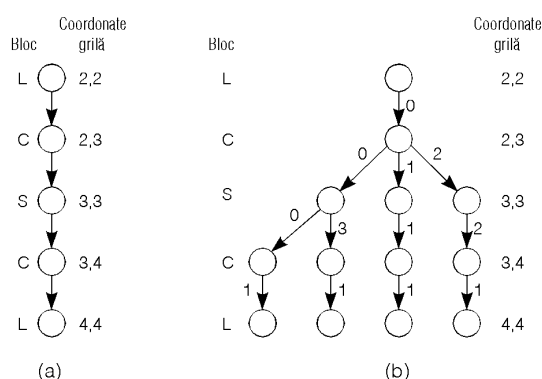


Figura 5.33. (a) Un graf grosier tipic. (b) Graful său expandat.

În *faza 1*, *CGE* expandează fiecare graf grosier și memorează un subset al modurilor posibile în care conexiunea poate fi implementată. Pentru fiecare graf $G(V, A)$, faza de expandare produce un graf expandat, numit $D(N, E)$. Muchiile acestui graf sunt etichetate cu un număr care se referă la un segment specific de interconectare din circuitul FPGA.

În cadrul algoritmului de expandare, procedurile care definesc topologia de conectare a blocurilor C și S sunt tratate ca funcții de tip cutie neagră. Funcția pentru un bloc C este notată cu $f_c([d_1, d_2, l], d_3)$, iar funcția pentru un bloc S este notată cu $f_s([d_1, d_2, l], d_3)$. Parametrii din parantezele drepte definesc o muchie care conectează vârful d_1 cu vârful d_2 printr-un segment de interconectare etichetat cu l . O asemenea muchie este notată cu e , $e = (d_1, d_2, l)$. Parametrul d_3 este vârful succesori al lui d_2 în grafurile G . Dacă pentru conectarea vârfului d_1 cu d_2 se utilizează segmentul etichetat cu l , prin apelul unei asemenea funcții se va returna un set de muchii reprezentând segmentele care pot fi utilizate pentru conectarea d_2 cu d_3 . Această metodă asigură independența față de o anumită arhitectură de rutare. Rezultatul unei expansiuni este ilustrat în Figura 5.33(b), care indică un posibil graf expandat pentru grafurile din Figura 5.33(a).

Într-o formă algoritmică, procesul de expandare a fiecărui graf grosier se execută în modul descris în Figura 5.34.

```

Se creează grafurile  $D$  și  $i$  se atribuie aceeași rădăcină ca și cea a grafurilor  $G$ . Succesorul
imediat al rădăcinii grafurilor  $D$  va fi același ca și cel al rădăcinii grafurilor  $G$ .
while se traversează  $D$  în lățime, enumerând căile pornind de la fiecare vârf adăugat:
    Se expandează un vârf C din  $D$  prin apelul funcției  $Z = f_c(e_C, n)$ .  $e_C$  este muchia
    din  $D$  care se conectează la C de la predecesorul acestuia.  $n$  este
    vârful succesori dorit al C din  $G$ , iar  $Z$  este setul de muchii returnat
    de  $f_c()$ . Apelul  $f_c()$  adaugă  $Z$  la  $D$ .
    Se expandează un vârf S din  $D$  prin apelul funcției  $Z = f_s(e_S, n)$ .  $e_S$  este muchia
    din  $D$  care se conectează la S de la predecesorul acestuia.  $n$  este
    vârful succesori dorit al S din  $G$ , iar  $Z$  este setul de muchii returnat
    de  $f_s()$ . Apelul  $f_s()$  adaugă  $Z$  la  $D$ .
endwhile

```

Figura 5.34. Faza 1 a algoritmului de rutare *CGE*.

După expandare, fiecare graf $D(N, E)$ poate conține un număr de căi alternative. În *faza 2*, *CGE* plasează toate căile de la toate grafurile expandate într-o singură listă de căi. Pe baza unei funcții de cost, algoritmul selectează apoi căi din această listă. Fiecare din acestea definește calea detaliată a conexiunii corespunzătoare. Operațiile efectuate în această fază sunt descrise în Figura 5.35.

```

Se depun toate căile din grafurile expandate în lista de căi
while lista de căi nu este vidă
    if (există căi în lista căilor care sunt esențiale)
        Se selectează calea esențială cu costul  $c_f$  cel mai redus
    else if (există căi în lista căilor care corespund conexiunilor critice)
        Se selectează calea critică cu costul  $c_t$  cel mai redus
    else
        Se selectează calea cu costul  $c_f$  cel mai redus
    Se marchează graful corespunzător căii selectate ca fiind rutat
    Se caută toate căile care sunt în conflict cu calea selectată și se elimină
    din lista de căi. Dacă o conexiune își pierde toate căile sale
    alternative, se re-expandază graful acesteia. Dacă astfel nu
    rezultă noi căi, conexiunea este considerată ca fiind nerutabilă.
    Se actualizează costurile tuturor căilor afectate
endwhile

```

Figura 5.35. Faza 2 a algoritmului de rutare *CGE*.

Fiecare muchie a grafurilor expandate are un cost format din două părți: $c_f(e)$ reflectă competiția între diferitele conexiuni pentru aceleași segmente de interconectare, iar $c_t(e)$ indică întârzierea de rutare asociată cu segmentul de interconectare. *CGE* selectează căile pe baza costului c_t numai dacă o cale corespunde unei conexiuni critice. În caz contrar, căile sunt selectate pe baza costului c_f .

Costul c_f are un rol dublu. În primul rând, acest cost are rolul de a selecta o cale care va avea un efect negativ redus asupra conexiunilor rămase, din punct de vedere al rutabilității. În al doilea rând, acest cost este utilizat pentru identificarea unei căi *esențiale* pentru o conexiune. O cale este numită *esențială* dacă ea reprezintă singura opțiune rămasă pentru o conexiune, deoarece selecțiile precedente au consumat toate celelalte alternative.

Algoritmul de rutare *CGE* a fost extins pentru arhitecturile care conțin canale de rutare segmentate, cu lungimi diferite. Noul algoritm, *SEGA* (*Segment Allocator*) [28], ține cont de lungimea segmentelor de interconectare în timpul rutării, obținând rezultate semnificativ mai bune față de algoritmul *CGE* din punct de vedere al vitezei circuitelor implementate. În principiu, *SEGA* utilizează aceeași strategie ca și *CGE*, diferența principală constând în funcția de cost. Această funcție are ca scop minimizarea pierderilor datorate alocării unor segmente lungi pentru conexiunile scurte și minimizarea numărului de segmente utilizate în timpul selecției unei căi exacte pentru o conexiune.

5.7.3 Rutarea pe baza grafurilor cu ponderi multiple

Alexander și Robins [2] au propus o abordare unitară pentru rutarea circuitelor FPGA, care permite optimizarea simultană a unor obiective multiple. Această abordare se bazează pe utilizarea unor grafuri multi-ponderate, având următoarele avantaje principale:

- este independentă de arhitectură;
- este eficientă din punct de vedere computațional și relativ ușor de codificat;
- permite optimizarea simultană a unor obiective multiple (de exemplu, lungimea interconexiunilor, congestia etc.), sub controlul proiectantului;
- are un fundament teoretic solid;
- este foarte generală și poate fi aplicată pentru alte probleme CAD, ca și pentru probleme de optimizare combinatorială.

Această metodă combină tehnici de rutare atât geometrice, cât și combinatoriale, utilizând avantajele ambelor. În cazul tehnicilor geometrice, restricțiile sunt în principal geometrice, obiectivul tipic fiind minimizarea lungimii totale a conexiunilor. În cazul tehnicilor bazate pe grafuri, restricțiile sunt în principal topologice sau combinatoriale, obiectivul tipic fiind găsirea unei soluții fezabile pe baza restricțiilor de rutare date.

Pentru cele două categorii se pot alege diferite metode existente, rezultând o metodă hibridă. Pentru rutarea geometrică, în [2] s-a ales metoda de rutare 1-Steiner iterată a lui Kahng și Robins [99], iar pentru rutarea bazată pe grafuri s-a ales metoda Kou, Markowsky și Berman de aproximare a arborilor Steiner.

Pentru aplicarea unor tehnici bazate pe grafuri problemei de rutare a circuitelor FPGA, circuitul trebuie modelat mai întâi ca un graf, astfel încât topologia grafului să reflecte arhitectura circuitului. Căile din acest graf corespund unor căi de rutare fezabile din circuit. Fiecărei muchii din graf i se asociază un număr de ponderi distincte, care reprezintă diferitele criterii de optimizare. Această tehnică este foarte flexibilă prin faptul că se pot adăuga cu ușurință noi criterii în cadrul modelului prin introducerea unor seturi adiționale de ponderi.

Atunci când se rutează o conexiune, nodurile și muchiile reprezentând pinii și segmentele conexiunii sunt adăugate la graf. Atunci când rutarea unei conexiuni este terminată, aceleași noduri și muchii sunt eliminate din graf, indicând faptul că ele nu mai sunt utilizabile.

În secțiunile următoare se descriu pe scurt cele două metode care sunt combinate în cadrul algoritmului hibrid prezentat.

5.7.3.1 Metoda 1-Steiner iterată

Pentru un set P de n puncte în plan, o muchie (conexiune) între două puncte $x \in P$ și $y \in P$ este notată cu (x, y) . Costul unei muchii este distanța rectiliniară (Manhattan) dintre capetele acesteia. Un *arbore de acoperire* peste P este un set T de $n - 1$ muchii cu capetele în P astfel încât graful indus este conectat. Costul unui arbore T , notat cu \bar{T} , este suma costurilor muchiilor sale. Un *arbore de acoperire minim* (*minimum spanning tree - MST*) este un arbore de acoperire cu costul minim. Un *arbore Steiner* este un arbore de acoperire peste setul de puncte original P și un set adițional (posibil vid) de puncte S (puncte *Steiner*). Problema arborelui Steiner rectiliniar minim poate fi definită astfel:

Problema arborelui Steiner rectiliniar minim (MRST): Fiind dat un set P de n puncte din planul Manhattan, să se găsească un set S de *puncte Steiner* astfel încât arborele de acoperire minim peste $P \cup S$ să aibă un cost minim.

Figura 5.36 ilustrează un arbore de acoperire minim și un arbore Steiner rectiliniar minim pentru un set de puncte fix.

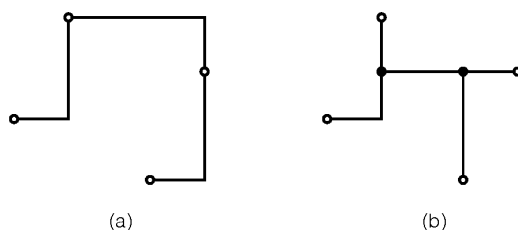


Figura 5.36. Un arbore de acoperire minim (a) și un arbore Steiner rectiliniar minim (b) pentru o conexiune fixă.

În cadrul cercetărilor legate de problema *MRST* au fost obținute câteva rezultate fundamentale. Hanan a arătat că există întotdeauna un arbore Steiner rectiliniar minim cu punctele Steiner alese dintre punctele de intersecție ale tuturor liniilor orizontale și verticale trecând prin toate punctele din P (Figura 5.37). Un alt rezultat major obținut de Garey și Johnson a arătat că în ciuda acestei restricții asupra spațiului soluțiilor, problema *MRST* este NP-completă [2].

Un al treilea rezultat important stabilește că arborele de acoperire minim rectiliniar reprezintă o aproximare corespunzătoare a arborelui Steiner rectiliniar minim, cu un raport de performanță cel mai defavorabil $\overline{MST} / \overline{MRST} \leq \frac{3}{2}$. Aceasta implică faptul că orice strategie bazată pe arborele *MST* care îmbunătățește o topologie inițială *MST* va avea de asemenea un raport de performanță de cel mult $\frac{3}{2}$, ceea ce a determinat elaborarea unui număr mare de euristici bazate pe metode clasice de construire a unui arbore *MST*.

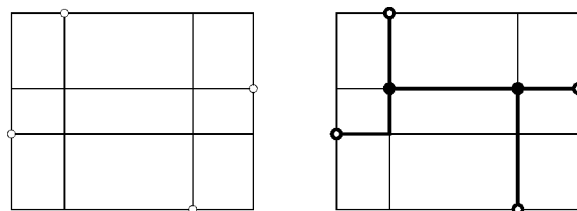


Figura 5.37. Teorema lui Hanan: există întotdeauna un arbore Steiner rectiliniar minim cu punctele Steiner alese dintre punctele de intersecție ale tuturor liniilor orizontale și verticale care trec prin toate punctele.

În literatură s-a arătat că toate construcțiile *MRST* bazate pe un arbore *MST* au un raport de performanță cel mai defavorabil de $\frac{3}{2}$. Acest rezultat a determinat căutarea unor metode alternative pentru aproximarea *MRST*, rezultatul cel mai bun obținându-se prin algoritmul 1-Steiner iterat [99]. Performanțele acestui algoritm sunt strict mai bune decât raportul de $\frac{3}{2}$ față de cazul optim, obținându-se o îmbunătățire de aproximativ 11% față de costul arborelui *MST*.

Pentru două seturi de puncte P și S , se definește reducerea costului *MST* al setului S față de setul P ca fiind:

$$\Delta \overline{MST}(P, S) = \overline{MST}(P) - \overline{MST}(P \cup S) \quad (5.12)$$

Se notează cu $H(P)$ setul punctelor Steiner candidate aflate la intersecția tuturor liniilor verticale și orizontale care trec prin punctele P . Pentru un set de puncte P , un punct 1-Steiner $x \in H(P)$ maximizează $\Delta \overline{MST}(P, \{x\}) > 0$. Metoda 1-Steiner iterată găsește în mod repetat puncte 1-Steiner și le include în S . Costul *MST* peste $P \cup S$ se va reduce cu fiecare punct adăugat, și construcția se termină când nu există x cu $\Delta \overline{MST}(P, \{x\}) > 0$. Deși un arbore Steiner poate conține cel mult $n - 2$ puncte Steiner, algoritmul poate adăuga mai mult de $n - 2$ puncte Steiner; de aceea, în fiecare pas se elimină punctele Steiner suplimentare având gradul 2 sau mai mic în *MST*. Figura 5.38 ilustrează execuția algoritmului pentru un exemplu cu 4 puncte.

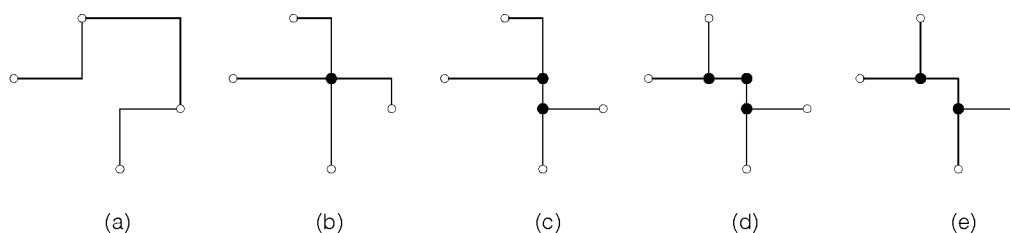


Figura 5.38. Execuția algoritmului 1-Steiner iterat pentru un exemplu cu 4 puncte. În pasul (d) se formează un arbore Steiner de gradul 2 și este deci eliminat din topologie (e).

Algoritmul 1-Steiner iterat este descris în Figura 5.39.

```

Algorithm I-Steiner;
/* Intrare: Un set  $P$  de  $n$  puncte */
/* Ieșire: Un arbore Steiner rectiliniar peste  $P$  */
begin
   $S = \phi$ ;
  while ( $T = \{x \in H(P) \mid \overline{\Delta MST(P \cup S, \{x\})} > 0\} \neq \phi$ ) do
    Se caută  $x \in T$  cu  $\overline{\Delta MST(P \cup S, \{x\})}$  maxim;
     $S = S \cup \{x\}$ ;
    Se elimină din  $S$  punctele cu grad  $\leq 2$  în  $MST(P \cup S)$ ;
  endwhile;
  return ( $MST(P \cup S)$ );
end.

```

Figura 5.39. Algoritmul 1-Steiner iterat.

5.7.3.2 Metoda Kou, Markowsky și Berman

Problema arborelui Steiner are și o versiune pentru grafuri. Fiind dat un graf $G = (V, E)$, unde V este setul de noduri, iar $E \subseteq V \times V$ este un set de muchii ponderate, trebuie acoperit un subset al nodurilor, utilizând nodurile rămase ca puncte Steiner. Fiecare muchie e_{ij} din graf are o pondere w_{ij} , iar muchiile lipsă din graf se presupun că au o pondere infinită. Scopul este minimizarea costului total al arborelui de acoperire. Figura 5.40 prezintă un graf și un arbore Steiner minim care acoperă subsetul de noduri care sunt puse în evidență. Problema arborelui Steiner minim pentru grafuri (*Graph Steiner Minimum Tree - GSMT*) poate fi definită astfel:

Problema arborelui Steiner minim pentru grafuri (GSMT): Fiind dat un graf ponderat $G = (V, E)$ și un set de terminale $N \subseteq V$ care trebuie conectate, să se găsească un arbore $T = (V', E')$ cu $N \subseteq V' \subseteq V$ și $E' \subseteq E$ astfel încât $\sum_{e_{ij} \in E'} w_{ij}$ să fie minimizat.

Problema *GSMT* nu este mai ușor de soluționat decât problema geometrică *MRST* corespunzătoare, deoarece ultima este un caz special al primei probleme. Rezultă că problema *GSMT* este NP-completă. Algoritmul Kou, Markowsky și Berman (KMB) soluționează problema *GSMT* într-un timp polinomial, având o limită de maxim $2 \cdot (1 - \frac{1}{L})$ față de soluția optimă, unde L este numărul minim de frunze din oricare soluție optimă.

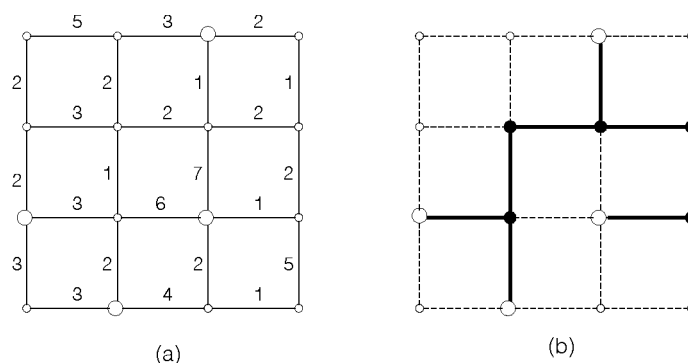


Figura 5.40. (a) Un exemplu de graf. (b) Un arbore Steiner minim care acoperă nodurile evidențiate.

Algoritmul *KMB* poate fi descris astfel. În primul rând, se construiește graful complet G' peste N , ponderea fiecărei muchii e_{ij} fiind egală cu $dist_G(N_i, N_j)$, deci costul căii celei mai scurte din G între N_i și N_j . În al doilea rând, se determină $MST(G')$, arborele de acoperire minim al G' , și se expandează fiecare muchie e_{ij} din $MST(G')$ în calea cea mai scurtă corespunzătoare, notată cu $cale(N_i, N_j)$, obținându-se un subgraf G'' care acoperă N . În sfârșit, se determină arborele de acoperire minim $MST(G'')$, și se elimină muchii din $MST(G'')$ până când toate frunzele aparțin lui N . Arborele rezultat este o aproximare a *GMST*, fiind notat cu *KMB*, costul acestui arbore fiind \overline{KMB} . O descriere formală a algoritmului *KMB* este prezentată în Figura 5.41.

Algorithm *KMB*;

/* Intrare: Un graf $G = (V, E)$ cu ponderile muchiilor w_{ij} , și o conexiune $N \subseteq V$ */

/* Ieșire: Un arbore cu cost redus $T' = (V', E')$ care acoperă N */

begin

$G' = (N, N \times N)$, cu ponderile muchiilor $w'_{ij} = dist_G(N_i, N_j)$;

Se determină $T = (N, E'') = MST(G')$;

Fie graful $G'' = \bigcup_{e_{ij} \in E''} cale_G(N_i, N_j)$;

Se determină $T' = MST(G'')$;

Se elimină din T' toate nodurile frunză care nu fac parte din N ;

return T' ;

end.

Figura 5.41. Algoritmul *KMB* pentru problema *GSMT*.

De notat că există algoritmi de construire a arborelui Steiner pentru grafuri care au limite de performanță mai bune decât cele ale metodei *KMB*. De exemplu, euristica Steiner a lui Zelikovsky are un raport de performanță pentru cazul cel mai defavorabil de $\frac{11}{6}$. Complexitatea acestei metode este însă excesivă pentru cazurile practice.

5.7.3.3 Algoritm de rutare hibrid

Combinarea euristicii geometrice 1-Steiner cu algoritmul *KMB* bazat pe grafuri permite modelarea arhitecturii circuitului FPGA într-un mod natural (ca un graf), și utilizarea în același timp a informațiilor geometrice despre circuit în scopul obținerii unor soluții îmbunătățite de rutare. Metoda hibridă rezultată este numită algoritm 1-Steiner iterat pentru grafuri (*Graph Iterated 1-Steiner - GIIS*). Se prezintă varianta

algoritmului pentru cazul în care muchiile grafului au câte o singură pondere. În secțiunea 5.7.3.4 se prezintă modul în care metodologia de rutare poate fi extinsă pentru grafuri cu ponderi multiple.

Metoda *G/IS* este în principiu o adaptare a metodei 1-Steiner iterate pentru grafuri. Însă, atunci când trebuie acoperit un subset N al nodurilor dintr-un graf, noțiunea arborelui de acoperire minim nu mai este bine definită. În esență, un arbore de acoperire pentru N este acum un arbore Steiner, care nu mai poate fi construit într-un mod eficient, deoarece problema este NP-completă. Această dilemă poate fi rezolvată prin înlocuirea construcției *MST* cu construcția *KMB*. Deci, în locul utilizării unei subrutine *MST* pentru a determina reducerea costului datorată unui punct Steiner candidat, se utilizează algoritmul *KMB* în acest scop. Astfel, fiind dat un graf $G = (V, E)$, conexiunea $N \subseteq V$, și un set de puncte Steiner candidate, se poate defini reducerea costului ca fiind:

$$\Delta \overline{KMB}_G(N, S) = \overline{KMB}_G(N) - \overline{KMB}_G(N \cup S) \quad (5.13)$$

Algoritmul *G/IS* începe prin construirea arborelui *KMB*. Apoi, în fiecare iterație se determină noduri Steiner candidate care reduc costul total *KMB*, noduri care sunt incluse în setul de noduri Steiner S . Costul arborelui *KMB* peste $N \cup S$ se va reduce cu fiecare nod adăugat, construcția fiind terminată atunci când nu mai există $x \in V$ cu $\Delta \overline{KMB}(N \cup S, \{x\}) > 0$. Metoda este descrisă în Figura 5.42.

```

Algorithm G/IS;
  /* Intrare: Un graf ponderat  $G = (V, E)$  și o conexiune  $N \subseteq V$  */
  /* Ieșire: Un arbore cu cost redus  $T' = (V', E')$  care acoperă  $N$  */
begin
   $S = \emptyset$ ;
  while ( $T = \{x \in V - N \mid \Delta \overline{KMB}_G(N \cup S, \{x\}) > 0\} \neq \emptyset$ ) do
    Se caută  $x \in T$  cu  $|\Delta \overline{KMB}_G(N \cup S, \{x\})|$  maxim;
     $S = S \cup \{x\}$ ;
    Se elimină din  $S$  punctele Steiner cu grad  $\leq 2$  în  $KMB(N \cup S)$ ;
  endwhile;
  return ( $KMB_G(N \cup S)$ );
end.

```

Figura 5.42. Algoritmul 1-Steiner iterat pentru grafuri care utilizează euristica *KMB*.

Deoarece un arbore Steiner optimal pentru o conexiune cu 3 pini poate avea cel mult un punct Steiner, algoritmul *G/IS*, care selectează cel mai bun candidat dintre punctele Steiner, garantează găsirea soluției optime pentru orice conexiune cu 3 pini. Complexitatea în timp a algoritmului pentru rutarea unei singure conexiuni cu n pini este limitată superior de $O(n \cdot |G| \cdot [n^2 \log n + |G|])$. $|G|$ este numărul de muchii ale grafului de rutare, $|G| = O(B \cdot S)$, unde B este numărul total al blocurilor de comutare ale circuitului, iar S este numărul de piste din fiecare canal [2].

5.7.3.4 Optimizarea simultană a obiectivelor multiple

Euristica *G/IS* se poate generaliza pentru grafuri cu ponderi multiple, unde fiecare criteriu de optimizare are un set separat de ponderi ale muchiilor grafului. Optimizarea simultană se realizează prin transformarea acestor ponderi multiple într-o singură medie ponderată, care se utilizează apoi pentru executarea *G/IS* în modul normal. Ponderile constau din k numere reale d_1, d_2, \dots, d_k , unde $\sum_{i=1}^k d_i = 1$. Această

metodă permite un control de către proiectant al diferitelor obiective. În continuare se prezintă bazele teoretice ale grafurilor cu ponderi multiple.

Fie $V = \{v_1, v_2, \dots, v_n\}$ un set de $|V| = n$ vârfuri, și $E \subseteq V \times V$ un set de $|E| = m$ muchii. Un graf k -ponderat $G = (V, E)$ este definit ca un graf ponderat cu o funcție pondere $w: E \rightarrow \mathfrak{R}^k$. Deci, fiecărei muchii $e_{ij} \in E$ i se asociază un vector de k ponderi cu valori reale $\vec{w}_{ij} = (w_{ij1}, w_{ij2}, \dots, w_{ijk})$.

Fie $\vec{d} = (d_1, d_2, \dots, d_k)$ un vector de k parametri de compromis, unde $0 \leq d_i \leq 1$ pentru $0 \leq i \leq k$, și $\sum_{i=1}^k d_i = 1$. Pornind de la graful k -ponderat $G = (V, E)$ și de la parametrii de compromis \vec{d} se construiește un nou graf ponderat de compromis $\hat{G}(\vec{d}) = (V, E)$ cu funcția pondere $w'_{ij} = \vec{d} \cdot \vec{w}_{ij} = \sum_{m=1}^k d_m \cdot w_{ijm}$. Graful \hat{G} este un graf ponderat obișnuit având aceeași topologie ca și G , dar ale căror ponderi reprezintă mediile ponderate ale multi-ponderilor lui G , față de parametrii de compromis \vec{d} .

Fie $\vec{u} = (1, 1, \dots, 1)$ vectorul unitar, și fie $\vec{v}_i = (0, 0, \dots, 0, v_i, 0, 0, \dots, 0)$ vectorul obținut din vectorul \vec{v} prin utilizarea v_i în poziția i , restul pozițiilor fiind setate la zero. Deci, \vec{u}_i indică vectorul constând din zerouri în toate pozițiile cu excepția poziției i , care va conține 1. Un graf k -ponderat poate induce k grafuri distincte, fiecare cu aceeași topologie, dar cu ponderile muchiiilor restrânse la una singură din cele k componente ale funcției pondere \vec{w} ; aceste k grafuri induse sunt notate cu $G_i = \hat{G}(\vec{u}_i)$.

Se definește arborele minim de acoperire (*MST*) pentru un graf G multi-ponderat în raport cu parametrii de compromis \vec{d} ca arborele *MST* normal peste graful de compromis $\hat{G}(\vec{d})$, și se notează cu $MST(\hat{G}(\vec{d}))$. Similar, se poate construi arborele *MST* pentru fiecare din cele k grafuri induse G_i , acestea fiind notate cu $MST(G_i)$.

Fiind dat un graf G k -ponderat și un vector de parametri \vec{d} , $\overline{MST}(\hat{G}(\vec{d}))$ (costul grafului de compromis) satisface următoarea inegalitate pentru grafurile metrice [2]:

$$\sum_{i=1}^k d_i \cdot \overline{MST}(G_i) \leq \overline{MST}(G(\vec{d})) \leq (n-1) \cdot \sum_{i=1}^k d_i \cdot \overline{MST}(G_i) \quad (5.14)$$

5.8 Algoritm propus pentru rutarea circuitelor FPGA Atmel 6000

În această secțiune se descrie un algoritm de rutare elaborat pentru circuitele FPGA *Atmel* din seria 6000, care a fost implementat pentru circuitul *Atmel* 6002. Algoritmul de rutare propus execută simultan rutarea globală și cea detaliată. Avantajul acestei abordări este că estimarea preliminară a rutării globale poate fi corectată în mod corespunzător și imediat. Algoritmul poate considera efectele deciziilor de rutare luate pentru o conexiune asupra celorlalte conexiuni, rezolvând astfel conflictele de rutare. Se pot efectua două tipuri de optimizări: o optimizare din punct de vedere al numărului de celule utilizate (al *suprafeței* ocupate de acestea), sau o optimizare din punct de vedere al *vitezei*.

5.8.1 Arhitectura de rutare a circuitelor FPGA Atmel 6000

Arhitectura *Atmel* este formată dintr-o rețea simetrică de celule identice. Rețeaua este continuă de la o margine a circuitului la alta, cu excepția repetoarelor de magistrală care sunt amplasate la o distanță de opt celule [7]. Figura 5.43 prezintă rețeaua de magistrale.

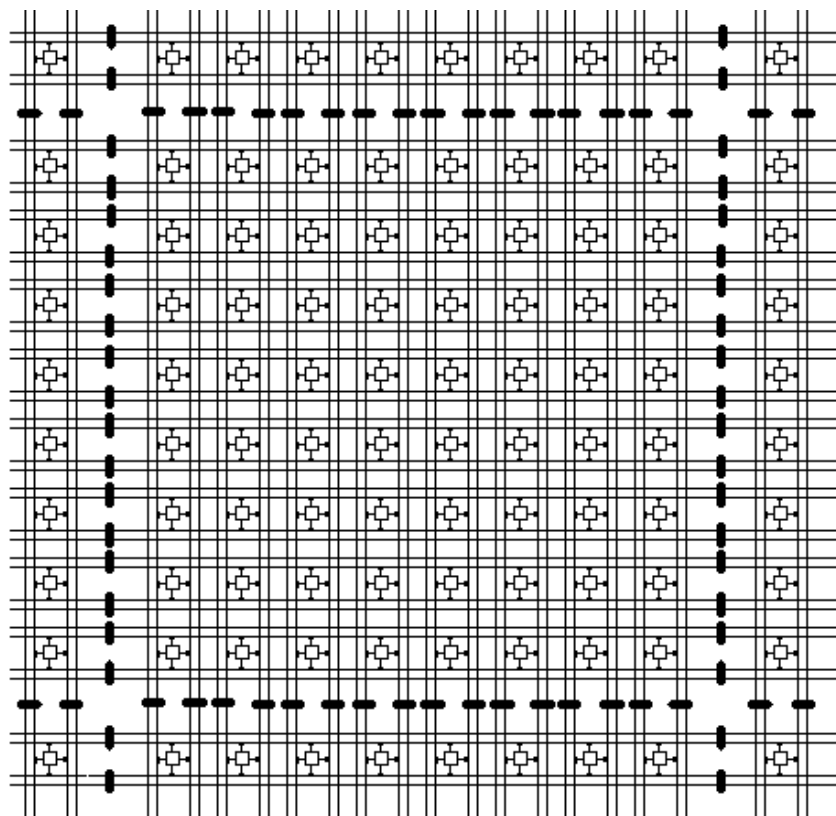


Figura 5.43. Rețeaua de magistrale a circuitelor FPGA *Atmel* 6000.

În plus față de implementarea funcțiilor logice combinate și secvențiale, celulele pot fi utilizate și pentru interconectarea blocurilor logice pe distanțe scurte, o caracteristică importantă care este utilizată atât de algoritmi de plasare descriși în capitolul 4, cât și de algoritmul de rutare. Magistralele permit o comunicare rapidă și eficientă pe distanțe medii și lungi. Există două tipuri de magistrale: magistrale locale și magistrale expres (Figura 5.44).

Magistralele locale reprezintă legătura dintre celule și rețeaua de interconexiuni. Există două magistrale locale pentru fiecare coloană de celule, nord-sud 1 și 2 (NS1, NS2), și două magistrale locale pentru fiecare linie de celule, est-vest 1 și 2 (EW1, EW2). Într-un sector de opt celule fiecare magistrală locală este conectată la fiecare celulă din coloana sau linia respectivă, asigurând astfel accesul fiecărei celule la două magistrale nord-sud și două magistrale est-vest. În plus, fiecare celulă are posibilitatea de a ruta un semnal între magistralele NS1 și EW1, sau între magistralele NS2 și EW2 (întoarcere de 90°).

Magistralele expres nu sunt conectate direct la celule, asigurând astfel o viteză mai ridicată. Fiecărei magistrale locale îi corespunde o magistrală expres, astfel încât există două magistrale expres pentru fiecare coloană și două magistrale expres pentru fiecare linie de celule.

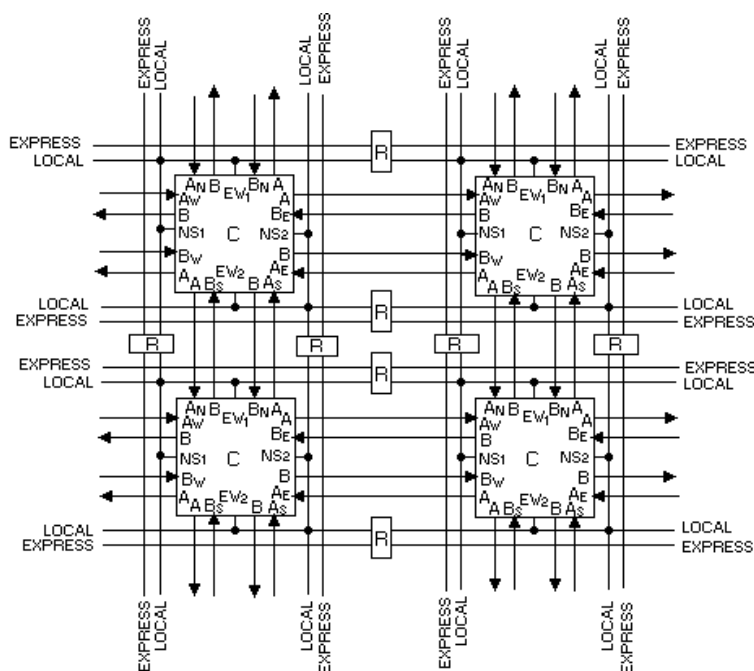


Figura 5.44. Magistrale locale și magistrale expres.

Fiecare magistrală locală și expres este divizată în segmente de către unități de conectare, numite *repetoare*, care sunt spațiate la un interval de opt celule. Repetoarele sunt aliniate în linii și coloane, partiționând astfel rețeaua în sectoare de 8×8 celule. Fiecare repetor este asociat cu o pereche de magistrale locală/expres, și de fiecare parte a repetorului există conexiuni la un segment de magistrală locală și la un segment de magistrală expres. Fiecare repetor poate fi programat pentru a realiza una din cele 21 de funcții de interconectare. Aceste funcții sunt simetrice atât față de cele două laturi ale repetorului, cât și față de cele două tipuri de magistrale. Dintre funcțiile pe care le pot realiza repetoarele se pot aminti următoarele:

- Izolarea segmentelor de magistrală între ele
- Conectarea a două segmente ale unei magistrale locale
- Conectarea a două segmente ale unei magistrale expres
- Implementarea unui transfer între o magistrală locală și una expres

În toate aceste cazuri, fiecare conexiune asigură regenerarea semnalelor, și deci este unidirecțională. Pentru conexiuni bidirecționale, funcția de bază a repetoarelor NS2 și EW2 este extinsă cu o conexiune programabilă specială, care permite comunicarea bidirecțională între segmentele magistralelor locale. Această opțiune este utilizată în mod special pentru a implementa magistrale lungi cu trei stări.

5.8.2 Modelarea circuitului printr-un graf

Pentru utilizarea unor tehnici bazate pe grafuri pentru problema de rutare a circuitelor FPGA, circuitul trebuie modelat mai întâi ca un graf, astfel încât topologia grafului să reflecte întreaga arhitectură a circuitului. Căile din acest graf corespund unor căi de rutare fezabile din circuit, și invers. Figura 5.45(a) prezintă o porțiune a arhitecturii circuitelor FPGA *Atmel*, iar Figura 5.45(b) ilustrează graful de rutare corespunzător.

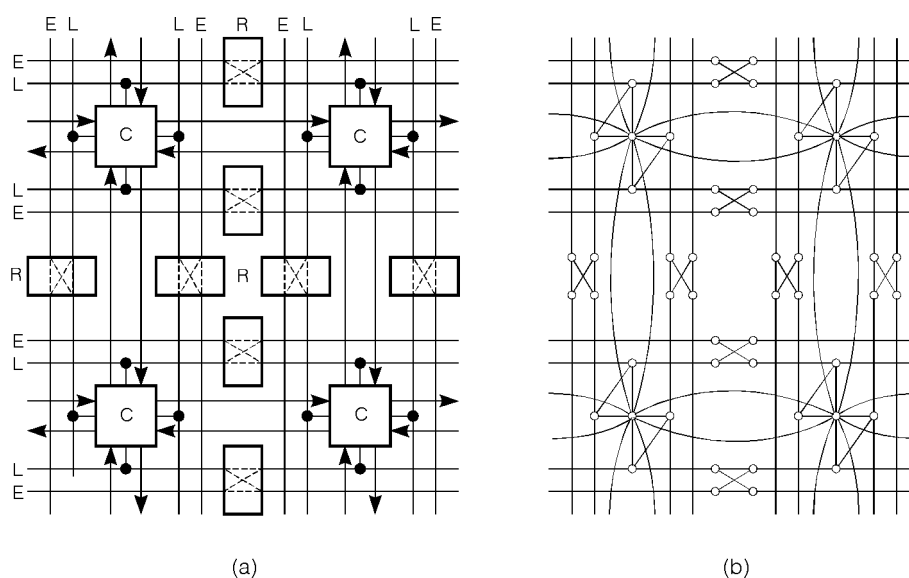


Figura 5.45. (a) Arhitectura circuitelor FPGA *Atmel*. (b) Graful de rutare corespunzător.

Fie $G = (V, E)$ graful de rutare al circuitului, unde fiecare muchie $e_{ij} \in E$ are o pondere w_{ij} , care corespunde lungimii segmentului de rutare al circuitului FPGA. O conexiune $N = \{n_0, n_1, \dots, n_k\} \subseteq V$ este un set de pini care trebuie conectați împreună din punct de vedere electric, n_0 fiind sursa semnalului, iar ceilalți pini reprezintă destinații. O soluție de rutare pentru o conexiune este un arbore $T \subseteq G$ care acoperă N , iar costul arborelui T este suma ponderilor muchiilor sale.

5.8.3 Descrierea algoritmului de rutare [15]

Problema de rutare este soluționată de obicei în două etape. În prima etapă se execută *rutarea globală*, prin care se asignează fiecare conexiune unui subset al regiunilor de rutare, creându-se astfel un nou set de probleme restricționate de rutare. În a doua etapă, cea de *rutare detaliată*, sunt selectate segmente de rutare și comutatoare programabile specifice pentru fiecare conexiune, în cadrul restricțiilor setate în cadrul rutării globale.

Această abordare are avantajul că în fiecare etapă se poate soluționa în mod eficient o parte a problemei de rutare. Cu toate acestea, împărțirea problemei de rutare în două subprobleme conduce la rezultate globale care nu sunt optime, chiar dacă ambele probleme sunt soluționate în mod optim. De aceea, ori de câte ori este posibil, o asemenea împărțire trebuie evitată.

Algoritmul de rutare implementat execută simultan rutarea globală și cea detaliată. Un avantaj al acestei metode este că estimarea preliminară a rutării globale poate fi imediat corectată. De asemenea, algoritmul poate lua în considerare efectele secundare pe care le au deciziile de rutare luate pentru o conexiune asupra celorlalte conexiuni, rezolvând astfel conflictele de rutare. Această problemă este descrisă în continuare.

În cazul rutării circuitelor FPGA, o problemă importantă este că alegerea unei resurse de rutare pentru o conexiune poate bloca o altă conexiune. Figura 5.46 ilustrează trei vederi ale unei secțiuni dintr-un canal de rutare a unui circuit FPGA (canalele verticale nu sunt prezentate în figură). Pentru fiecare din acestea, figura indică opțiunile de rutare disponibile pentru trei conexiuni diferite, A, B și C. Un segment de

interconectare este indicat printr-o linie întreruptă, o rutare posibilă printr-o linie continuă, iar o conexiune programabilă printr-un ×.

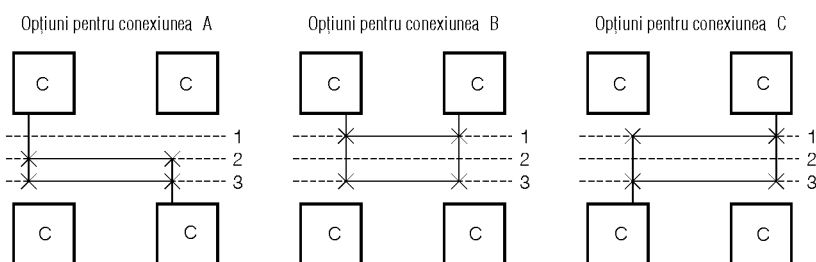


Figura 5.46. Conflicte de rutare.

Presupunem că programul de rutare efectuează mai întâi conexiunea A. Dacă se alege segmentul de interconectare 3, una din conexiunile B sau C nu se va putea ruta, deoarece ambele depind de singura opțiune rămasă, și anume segmentul 1. Alegerea corectă pentru conexiunea A este segmentul 2, caz în care atât B cât și C vor putea fi rutate. Acest exemplu simplu ilustrează faptul că deciziile de rutare luate pentru o conexiune pot bloca o altă conexiune. Asemenea conflicte pentru resursele de rutare reprezintă motivul principal pentru care rutarea circuitelor FPGA poate fi mai dificilă decât rutarea clasică.

Algoritmul de rutare ține cont de următoarele aspecte, care sunt specifice pentru arhitectura FPGA *Atmel*:

1. Pentru rutarea semnalelor pe distanțe scurte, algoritmul utilizează celule libere în locul magistralelor. Magistralele sunt rezervate pentru rutarea semnalelor pe distanțe mai mari (mai mult de cinci celule), pentru semnale cu trei stări, sau pentru semnale cu un fan-out ridicat.
2. Algoritmul utilizează magistrale expres ori de câte ori este posibil. Aceste magistrale nu sunt conectate direct la celule, de aceea ele au o încărcare capacitivă mai redusă și sunt mai rapide decât magistralele locale. De asemenea, prin utilizarea unei magistrale expres în locul uneia locale, magistrala locală este eliberată pentru alte conexiuni. Totuși, înlocuirea unei magistrale locale printr-o magistrală expres nu este posibilă în anumite cazuri:
 - la conectarea directă la o celulă
 - la utilizarea unui semnal bidirecțional
 - la efectuarea unei întoarceri cu 90°
3. Pentru creșterea performanțelor, algoritmul limitează numărul segmentelor magistralelor locale prin care trece un semnal și utilizează repetoarele numai dacă este necesar. Se efectuează ramificarea semnalului de pe o magistrală expres la magistrala locală la fiecare repetor, ceea ce are un efect benefic atunci când valoarea fanout-ului este mai mare decât opt, sau dacă semnalul trece prin mai mult de un repetor. Figura 5.47 ilustrează un exemplu de ramificație.

Semnalul X este rutat printr-o magistrală expres și se ramifică în dreptul repetoarelor la segmentele magistralelor locale care sunt conectate la celulele A și B. Dacă semnalul X ar fi fost rutat prin magistrala locală la celulele A1, A2 și A3, și printr-un repetor la celulele B1, B2 și B3, încărcarea celulelor A ar influența viteza semnalului care ajunge la celulele B.

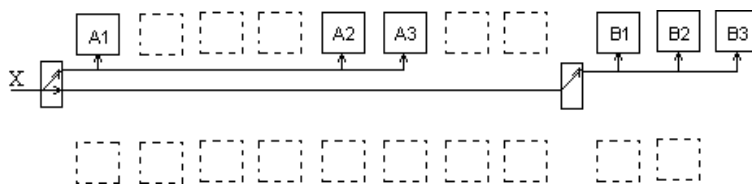


Figura 5.47. Un exemplu de ramificație.

Fiecărui segment de interconectare al circuitului i se asociază două costuri:

- Costul distanței (C_d), care reflectă întârzierile de rutare asociate cu segmentul de interconectare;
- Costul competiției (C_c), care contorizează legăturile care se află în competiție pentru același segment.

Fiecărei căi din lista de conexiuni i se asociază de asemenea două costuri:

- Suma costului distanțelor (S_d) pentru segmentele căii;
- Suma costului competiției (S_c) pentru segmentele căii.

Algoritmul nu poate considera toate posibilitățile de interconectare din cadrul circuitului într-o singură etapă, în scopul reducerii necesarului de memorie și al timpului de execuție. Acesta este motivul pentru care se utilizează o metodă iterativă. În prima etapă se consideră numai acele căi posibile pentru o conexiune care corespund costului C_d minim. Dacă aceste căi sunt în conflict cu conexiunile deja rutate, algoritmul continuă căutarea pornind de la costul căii eșuate.

Algoritmul de rutare este descris în Figura 5.48 [15].

```

Algorithm Rutare_Atmel;
begin
    Se construiește graful de conectivitate pe baza arhitecturii circuitului Atmel;
    Se divid conexiunile multi-punct în conexiuni cu două puncte, construind
        graful de rutare;
    Se determină distanța minimă a căii de rutare pentru fiecare conexiune
        care nu poate fi împărțită în legături directe;
    Se depun toate alternativele de rutare într-o listă a conexiunilor;
    while (lista conexiunilor nu este vidă) do
        Se sortează lista conexiunilor după numărul alternativelor de rutare;
        Se selectează conexiunea din capul listei;
        Se sortează căile posibile după  $S_c$ ;
        if (lista căilor nu este vidă) do
            Se rutează conexiunea selectată utilizând calea cu cost minim;
            Se marchează conexiunea în graful de conectivitate;
            Se determină toate căile care sunt în conflict cu calea
                selectată și se elimină din listă;
        else do
            Se rerutează conexiunea selectată;
            if (conexiunea nu poate fi rutată)
                Se marchează circuitul ca fiind nerutabil;
            endif;
        endif;
    endwhile;
end.

```

Figura 5.48. Algoritmul de rutare pentru circuitele FPGA *Atmel* 6000.

În prima etapă, se construiește graful de conectivitate pe baza structurii circuitului FPGA, iar apoi se construiește graful de rutare pe baza rezultatelor obținute după maparea tehnologică și plasare. Prin legături directe se desemnează acele legături care nu implică utilizarea unei magistrale.

În următoarea etapă, algoritmul încearcă divizarea conexiunilor în legături directe în cazul în care acestea nu trebuie să treacă prin mai mult de cinci celule. Pentru fiecare conexiune, algoritmul determină distanța minimă a căii de rutare, și memorează toate alternativele de rutare într-o listă a conexiunilor.

Algoritmul poate efectua două tipuri de optimizări:

1. din punct de vedere al spațiului ocupat
2. din punct de vedere al vitezei

Pentru optimizarea din punctul de vedere al *spațiului*, algoritmul sortează mai întâi conexiunile după numărul alternativelor posibile de rutare (numărul căilor din graf, utilizând costul S_c), astfel încât conexiunile care au un număr mai redus de alternative vor fi mai prioritare. După selectarea unei conexiuni prin această procedură de sortare, algoritmul utilizează o funcție de cost pentru evaluarea costului fiecărei căi disponibile, și alege calea cu costul S_d minim.

Pentru optimizarea din punctul de vedere al *vitezei*, algoritmul sortează mai întâi conexiunile după lungimea lor (utilizând costul S_d). Astfel, va determina ca liniile lungi să aleagă magistralele expres, care sunt mai rapide. Dintre toate conexiunile posibile, se alege cea cu costul S_c minim.

În etapa de rutare, algoritmul selectează alternativele de rutare cu costul S_c sau S_d minim. În etapa de rerutare, se încearcă găsirea altor căi posibile, pe baza grafului de conectivitate actualizat. În această etapă, în graful de conectivitate se marchează punctele de conectivitate utilizate de conexiunile deja rutate. Celula care generează semnalul conexiunii este de asemenea marcat în graful de conectivitate. Astfel, în etapa de rerutare alternativele de rutare care pornesc de la un punct de conectivitate care este utilizat pentru alte conexiuni vor fi luate în considerare.

Funcția de cost utilizată în cazul optimizării pentru rutabilitate are rolul de a selecta o cale de rutare care va avea un efect negativ redus asupra conexiunilor rămase, din punct de vedere al rutabilității. Această funcție împiedică selectarea căilor care conțin segmente de interconectare pentru care există un număr mare de cereri. Acest aspect a fost ilustrat în Figura 5.46, unde conexiunea A trebuie rutată utilizând segmentul de interconectare numărul 2, deoarece există o cerere mai mare pentru segmentul numărul 3.

Pentru a determina dacă există o cerere mare la o muchie e din graful de rutare al unei conexiuni, se pot contoriza aparițiile muchiei e în grafurile altor conexiuni. Însă, probabilitatea de utilizare a unei muchii depinde de numărul alternativelor posibile la utilizarea acestei muchii. Deci, costul unei muchii e pentru care există alte j alternative (muchii în paralel cu e) va fi definit astfel:

$$cost_r(e) = \sum_j \frac{1}{alt(e_j)} \quad (5.15)$$

unde $alt(e_j)$ este numărul muchiilor paralele cu e_j . Astfel, cu cât e apare în mai multe grafuri, cu atât costul său va fi mai ridicat. Aceasta indică faptul că cererea la e este ridicată și previne utilizarea acestei muchii atunci când există alte posibilități. O muchie care apare numai în propriul său graf va avea un cost egal cu 0.

Acest algoritm se poate utiliza și pentru rutarea altor arhitecturi, dacă se izolează etapa de construire a grafului de conectivitate, care este dependentă de structura circuitului. Algoritmul a fost implementat în limbajul C, fiind inclus în cadrul sistemului CAD realizat pentru proiectarea cu circuitele FPGA *Atmel*.

5.9 Concluzii

În acest capitol a fost prezentată problema de rutare a circuitelor VLSI și FPGA, și a fost propus un algoritm de rutare pentru circuitele FPGA cu resurse limitate de rutare, în particular pentru circuitul FPGA *Atmel*.

Rutarea se descompune de obicei în două etape: *rutarea globală* și *rutarea detaliată*. În cadrul rutării globale se elaborează un plan de rutare astfel încât fiecare conexiune să fie asignată unor regiuni particulare de rutare. Rutarea detaliată se aplică apoi pentru fiecare regiune de rutare, și fiecărei conexiuni i se asignează piste particulare de rutare. Au fost prezentate funcțiile de cost și restricțiile pentru rutarea globală și cea detaliată, pentru diferite tipuri de circuite.

Problema de *rutare globală* este formulată în mod diferit pentru diferite tipuri de circuite. În cazul rețelelor de porți, regiunile de rutare constau din canale orizontale și verticale cu capacitate fixă. Deoarece rețeaua de porți are o dimensiune fixă și un spațiu de rutare fix, obiectivul rutării globale este nu numai elaborarea unui plan de rutare, ci și testarea fezabilității rutării detaliate.

În cazul celulelor standard, regiunile de rutare sunt canale orizontale a căror capacitate nu este fixată dinainte. Numărul pistelor de rutare poate fi deci extins pentru a se asigura rutabilitatea. Rutarea globală constă în asignarea conexiunilor pentru aceste canale astfel încât să se minimizeze congestia acestora și lungimea totală a conexiunilor.

Pentru circuitele cu macro-celule, celulele au forme și dimensiuni diferite, ceea ce conduce la regiuni de rutare neregulate. Identificarea acestor regiuni este o etapă importantă a rutării globale. Ca și în cazul celulelor standard, regiunile de rutare nu au capacități predefinite.

Există diferite metode de rutare globală: metode secvențiale, metode aleatoare, metoda programării liniare și metoda descompunerii ierarhice. Dintre acestea, metoda programării liniare combinată cu cea a descompunerii ierarhice a fost raportată ca având rezultatele cele mai bune. Au fost prezentate diferite metode de rutare globală: metoda parcurgerii labirintului, o metodă de rutare globală orientată pe performanțe bazată arbori de rutare cu rază limitată, metoda de călire simulată, metoda programării întregi. Dintre metodele prezentate, cea bazată pe arbori de rutare cu rază limitată permite obținerea celor mai bune rezultate.

Au fost prezentate două metode de *rutare detaliată* generală: metoda parcurgerii labirintului și metoda căutării liniilor. Algoritmii de parcurgere a labirintului garantează găsirea căii celei mai scurte dacă o asemenea cale există. Din această categorie a fost descris algoritmul Lee, care necesită însă un timp de execuție ridicat și un necesar ridicat de memorie. Algoritmii de căutare a liniilor elimină aceste dezavantaje ale algoritmului Lee. Acești algoritmi garantează găsirea unei căi dacă o asemenea cale există, nu neapărat cea mai scurtă.

Dintre metodele de rutare prin canale, a fost descris algoritmul marginii din stânga și doi algoritmi elaborați de Yoshimura și Kuh. Primul algoritm utilizează fuzionarea nodurilor astfel încât după fuzionare lungimea căii celei mai lungi este minimizată. Al doilea algoritm minimizează lungimea căii celei mai lungi prin tehnici de potrivire într-un graf bipartit. Au fost prezentate de asemenea alte metode de rutare prin canale: o euristică de tip greedy, o metodă de rutare bazată pe permutări și o metodă bazată pe sortare.

A fost definită problema de rutare pentru circuitele FPGA, punându-se în evidență modul în care această problemă este diferită de problema de rutare a circuitelor VLSI. Conflictele pentru resursele de rutare fixe reprezintă motivul principal pentru care rutarea circuitelor FPGA poate fi mai dificilă decât rutarea clasică. Metodele obișnuite de rutare globală sau detaliată nu sunt adecvate pentru circuitele FPGA. De aceea, sunt necesare metode specifice pentru rutarea acestor circuite. În literatură a

fost publicat un număr redus de programe de rutare pentru circuitele FPGA. Au fost prezentate două din acestea: rutarea prin expandarea grafului și rutarea bazată pe grafuri cu ponderi multiple.

Algoritmul de rutare prin expandarea grafului constă din două faze. În prima fază se memorează un număr de alternative pentru fiecare cale detaliată a grafurilor grosiere, iar apoi în faza a doua se efectuează alegeri specifice pentru fiecare conexiune. În cazul rutării pe baza grafurilor cu ponderi multiple, fiecărei muchii din graf i se asociază un număr de ponderi distincte, care reprezintă diferitele criterii de optimizare. Algoritmul descris care utilizează această metodă este un algoritm hibrid, care combină euristica geometrică 1-Steiner cu algoritmul Kou, Markowsky, Berman de aproximare a arborilor Steiner. Astfel se permite modelarea arhitecturii circuitului FPGA ca un graf și utilizarea în același timp a informațiilor geometrice despre circuit în scopul obținerii unor soluții îmbunătățite de rutare.

În acest capitol s-a descris un algoritm de rutare care a fost conceput și implementat pentru circuitele FPGA *Atmel*. Algoritmul execută simultan rutarea globală și cea detaliată. Un avantaj al acestei metode este că estimarea preliminară a rutării globale poate fi imediat corectată. De asemenea, algoritmul poate lua în considerare efectele secundare pe care le au deciziile de rutare luate pentru o conexiune asupra celorlalte conexiuni, rezolvând astfel conflictele de rutare. Algoritmul poate efectua două tipuri de optimizări: din punct de vedere al spațiului ocupat și din punct de vedere al vitezei. Pentru optimizarea din punctul de vedere al spațiului, algoritmul sortează conexiunile după numărul alternativelor posibile de rutare. Pentru optimizarea din punctul de vedere al vitezei, conexiunile sunt sortate după lungimea lor.

Contribuția principală a acestui capitol este elaborarea și implementarea unui algoritm de rutare pentru circuitele FPGA *Atmel*. Algoritmul are următoarele avantaje:

- Execută simultan rutarea globală și cea detaliată, nefiind necesară împărțirea problemei de rutare în două subprobleme, împărțire care conduce de obicei la rezultate globale care nu sunt optime. De asemenea, prin această abordare estimarea preliminară a rutării globale poate fi corectată imediat.
- Algoritmul poate lua în considerare efectele secundare pe care le au deciziile de rutare luate pentru o conexiune asupra celorlalte conexiuni, rezolvând astfel conflictele de rutare.
- Algoritmul poate efectua două tipuri de optimizări: din punct de vedere al spațiului ocupat și din punct de vedere al vitezei.
- Algoritmul ține cont de aspectele specifice ale arhitecturii circuitelor FPGA *Atmel*, în scopul creșterii eficienței.